

FIG. 1a

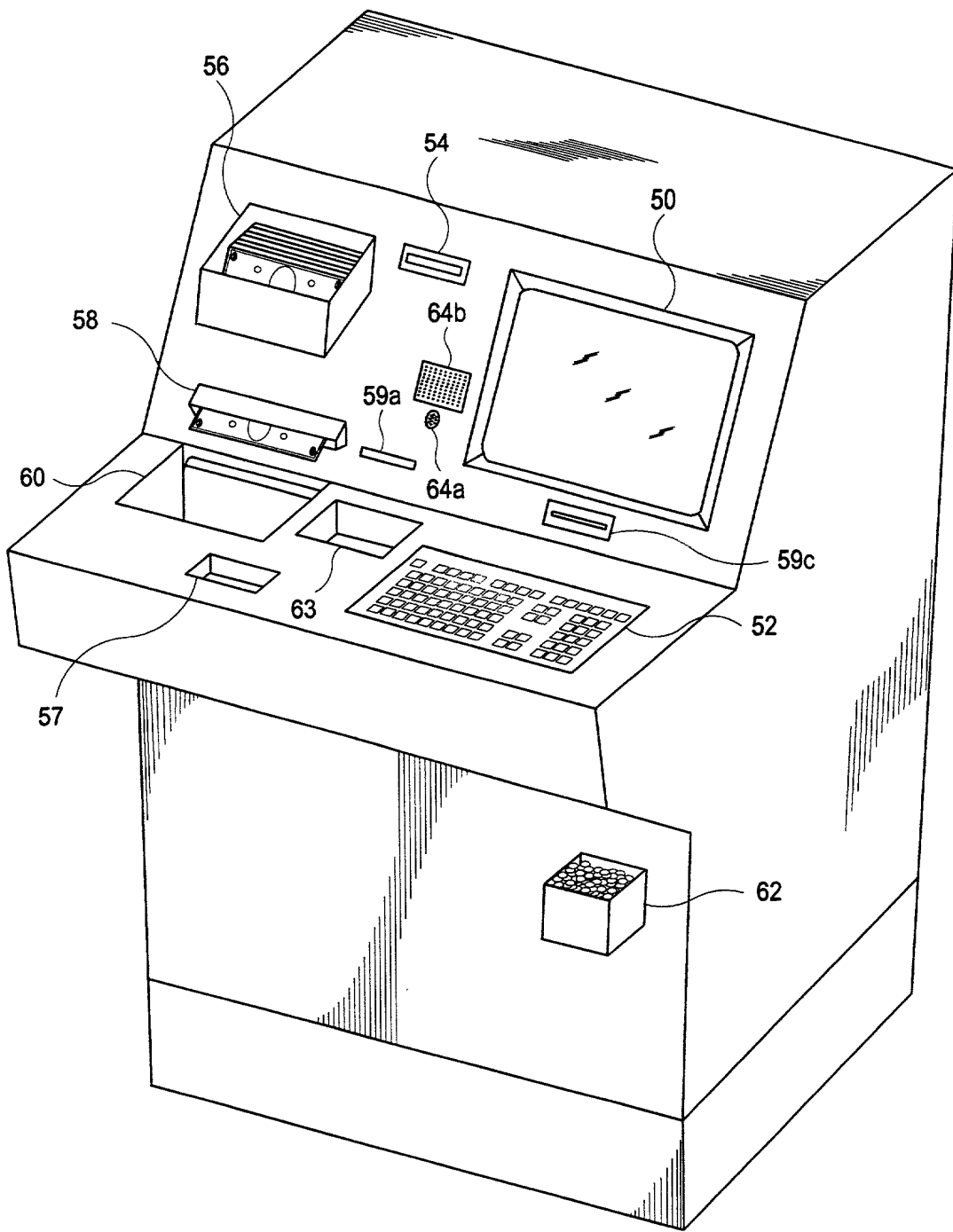


FIG. 1b

31.0 DEGREES IN THE EQUATORIAL ZONE

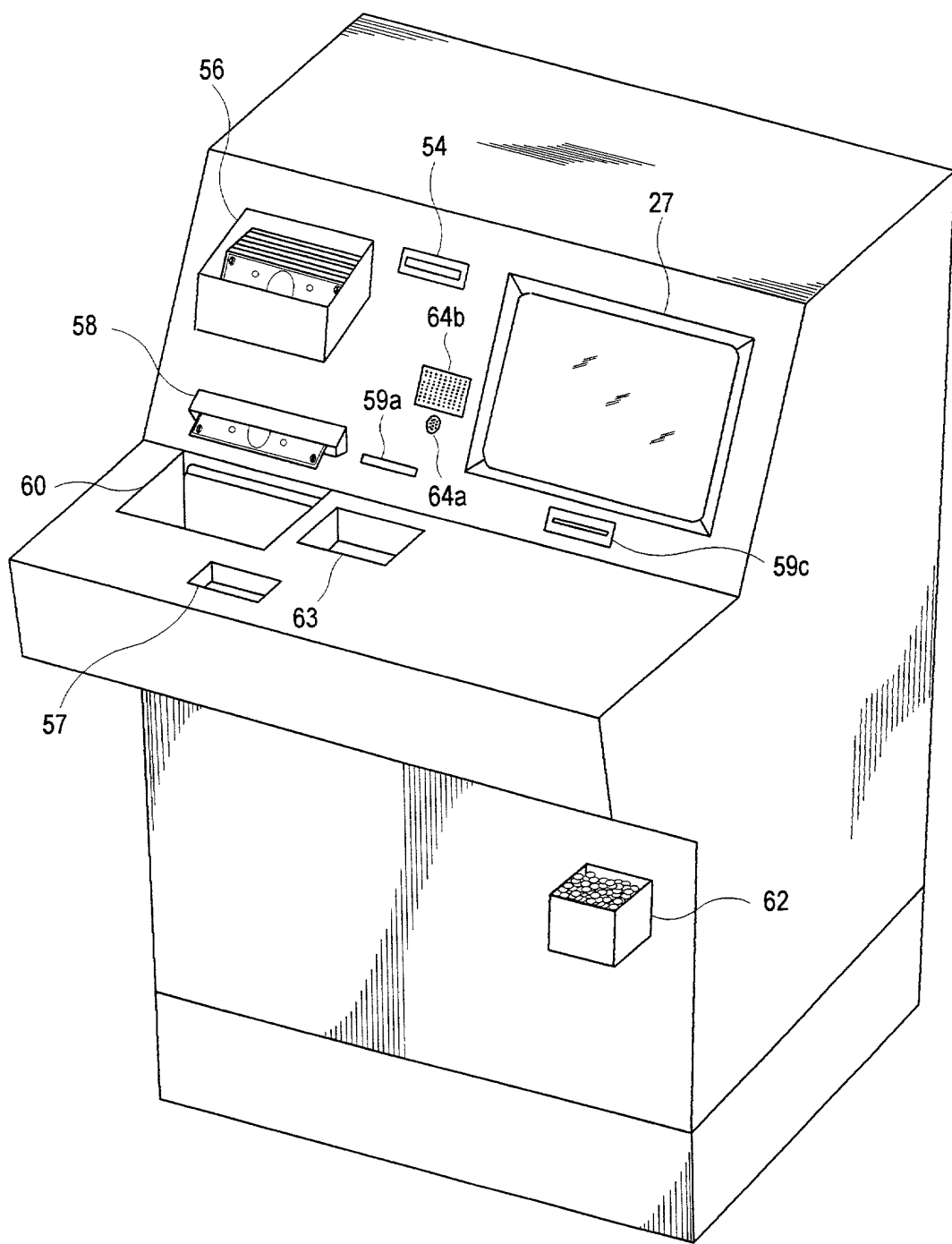


FIG. 1c

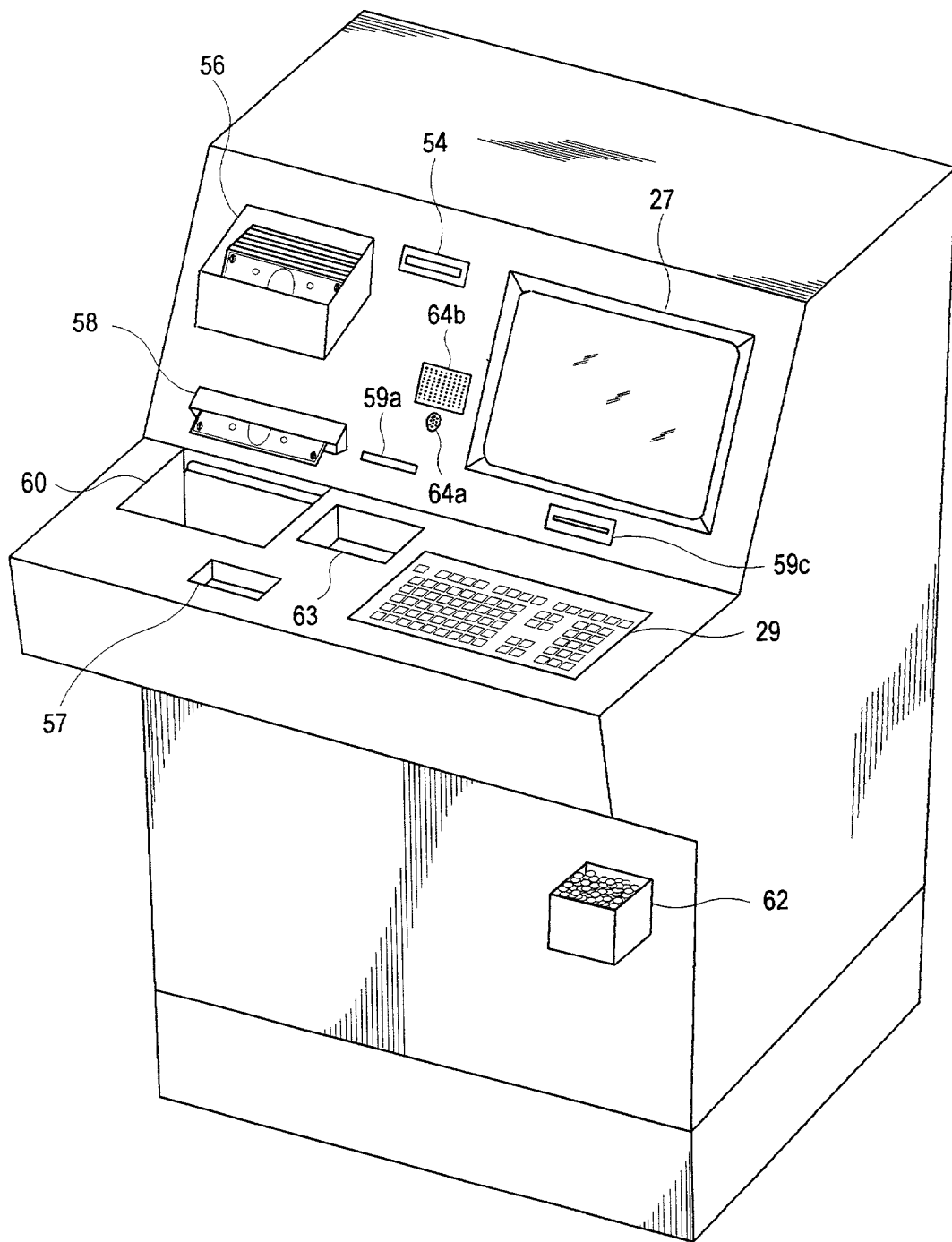


FIG. 1d

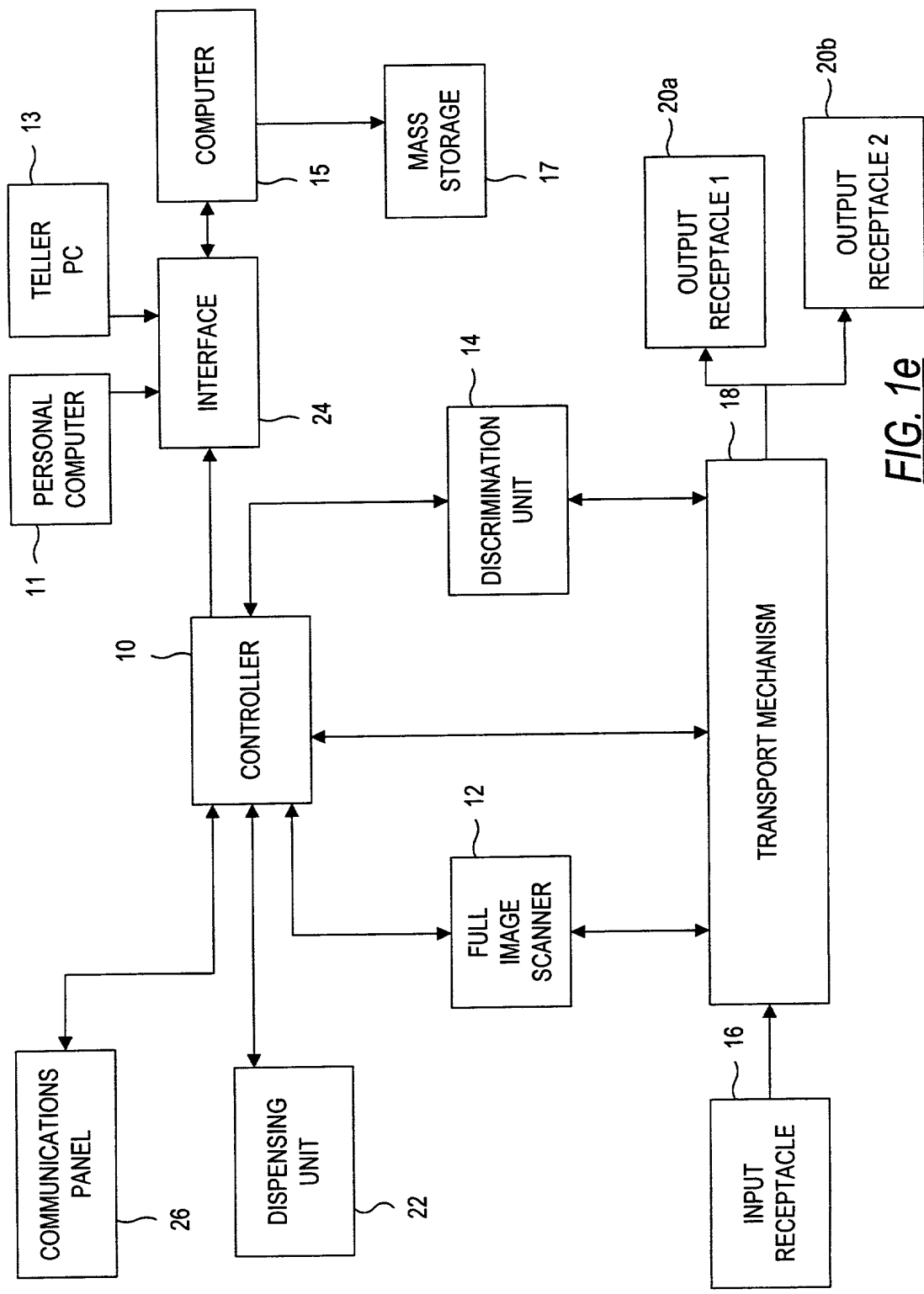


FIG. 1e

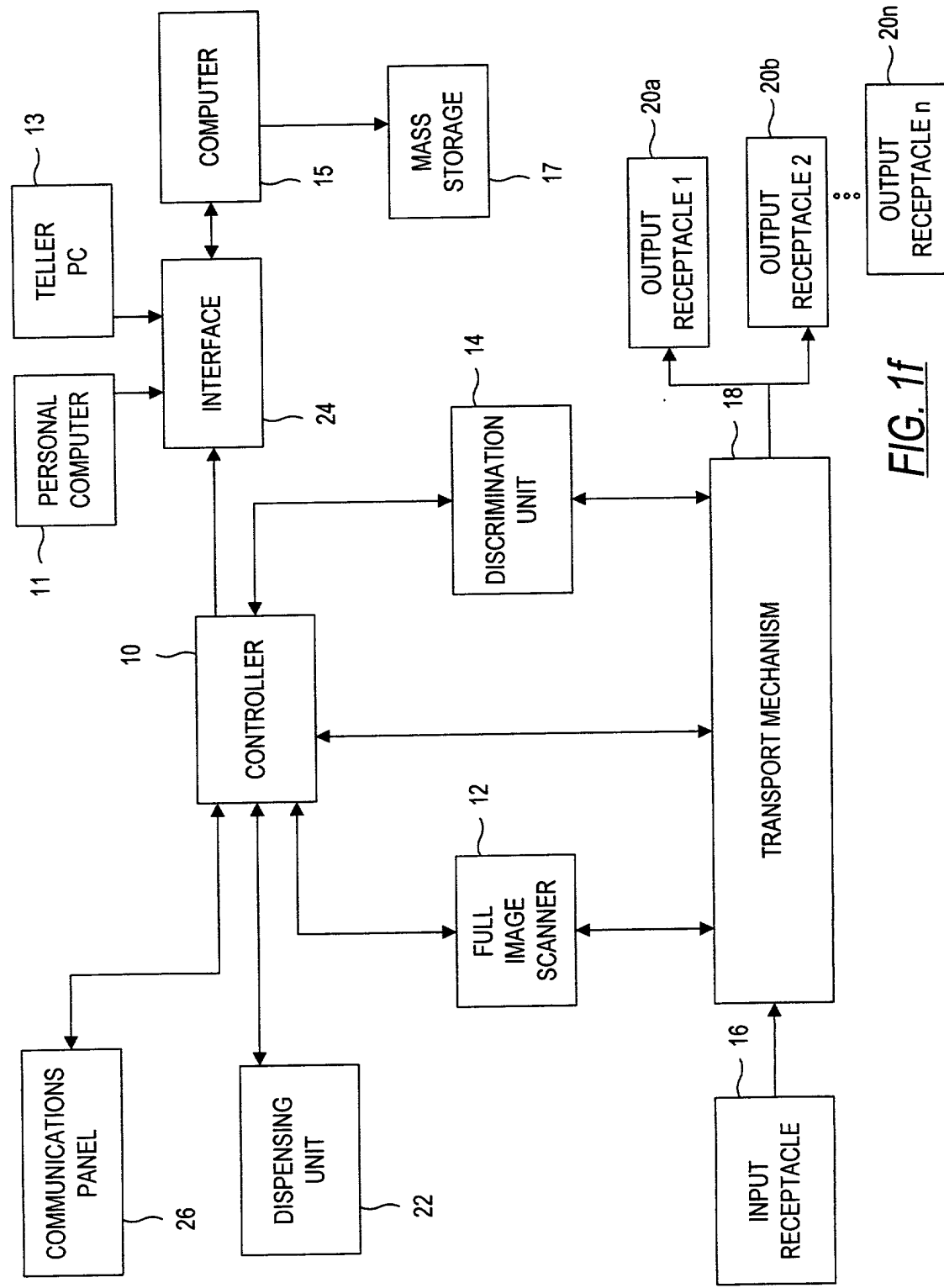


FIG. 1f

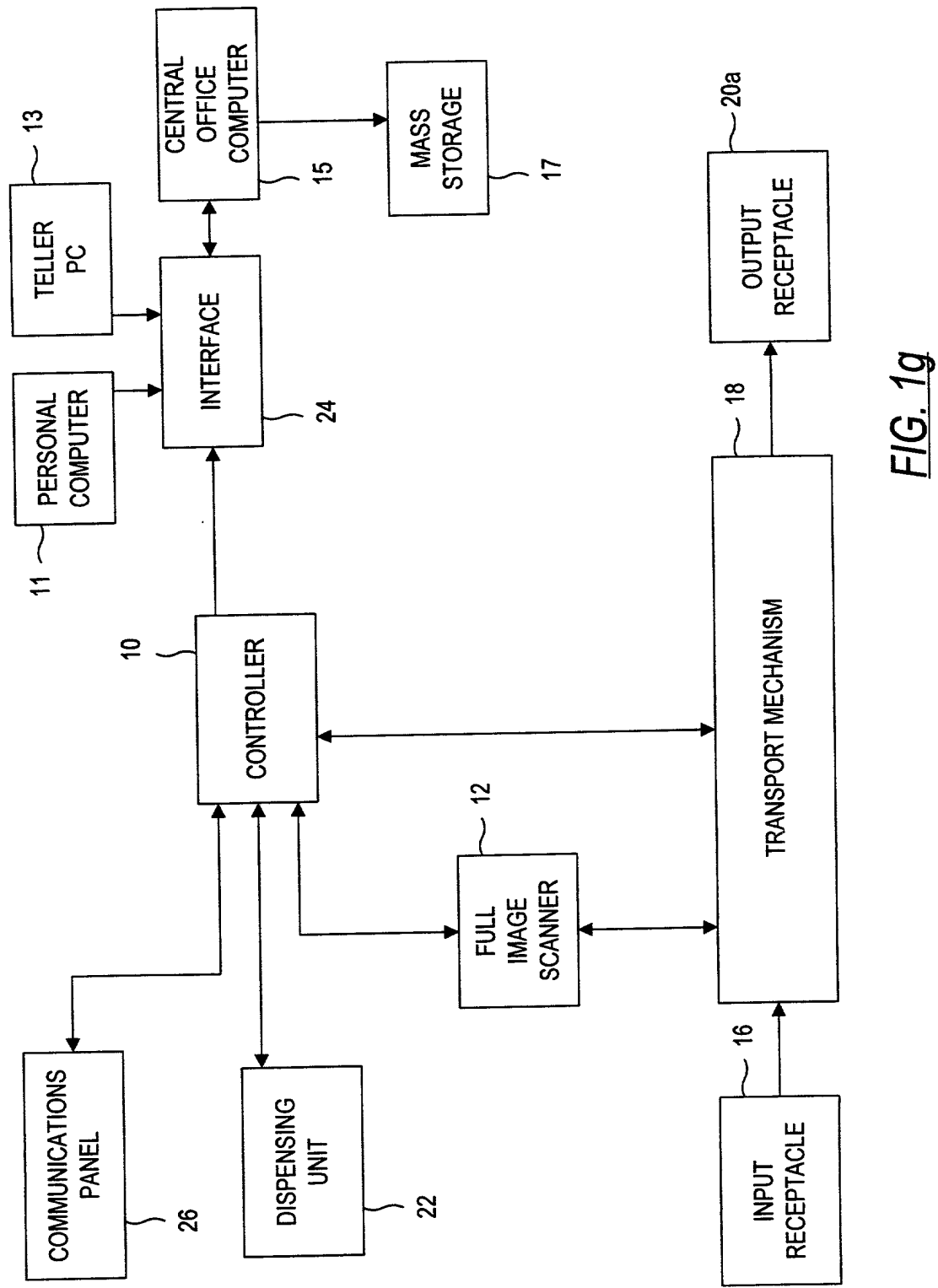
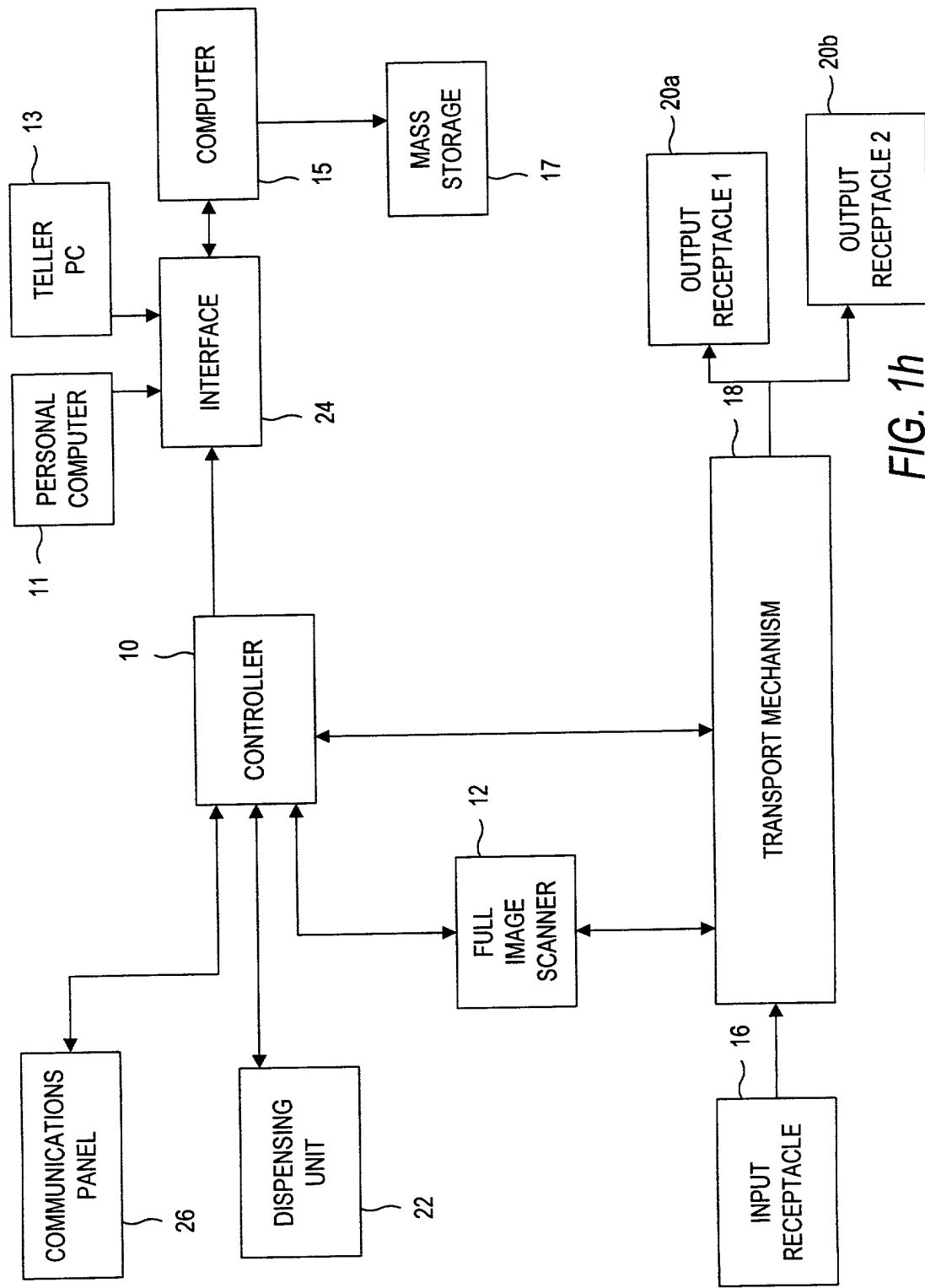


FIG. 1g



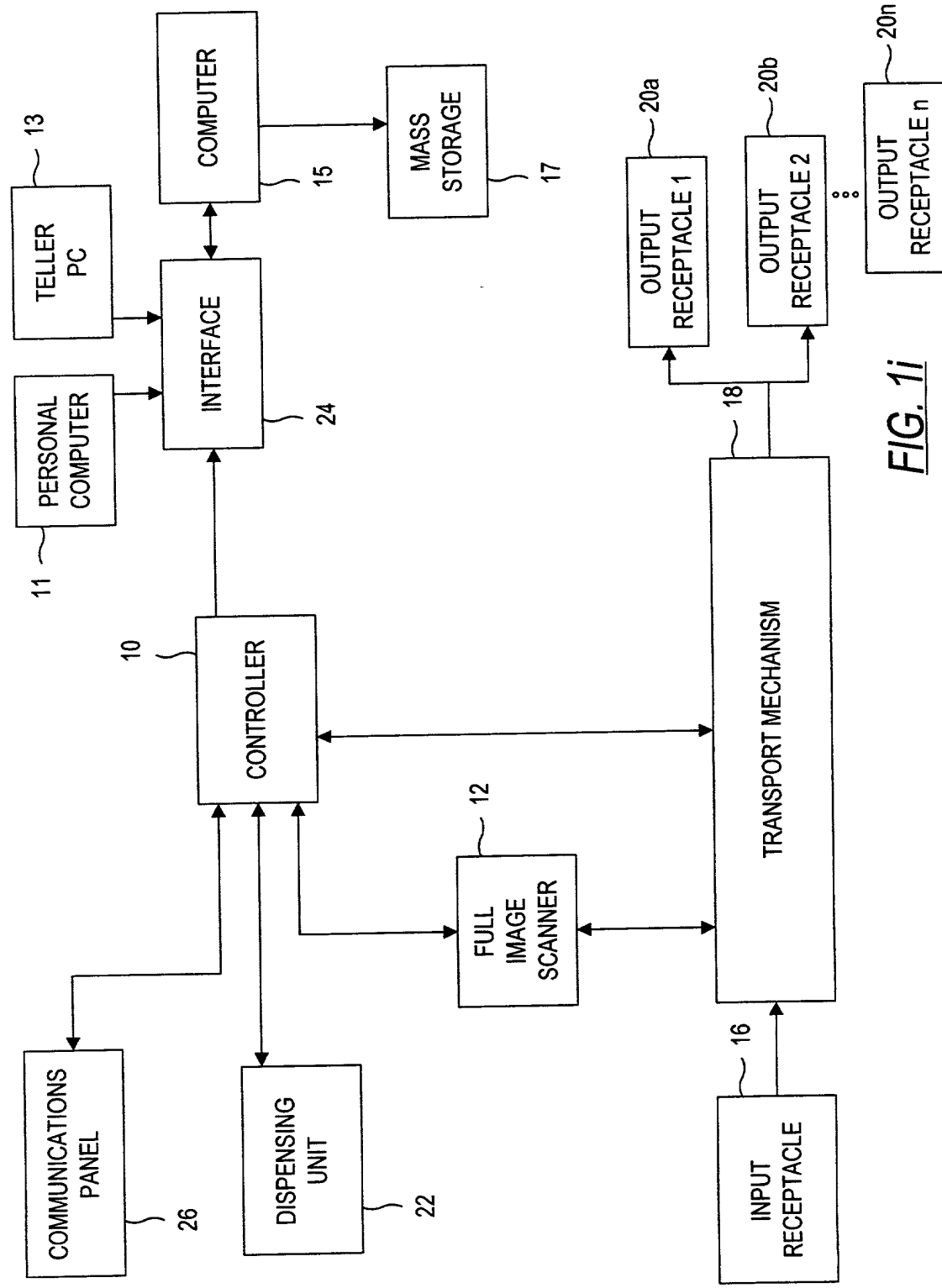
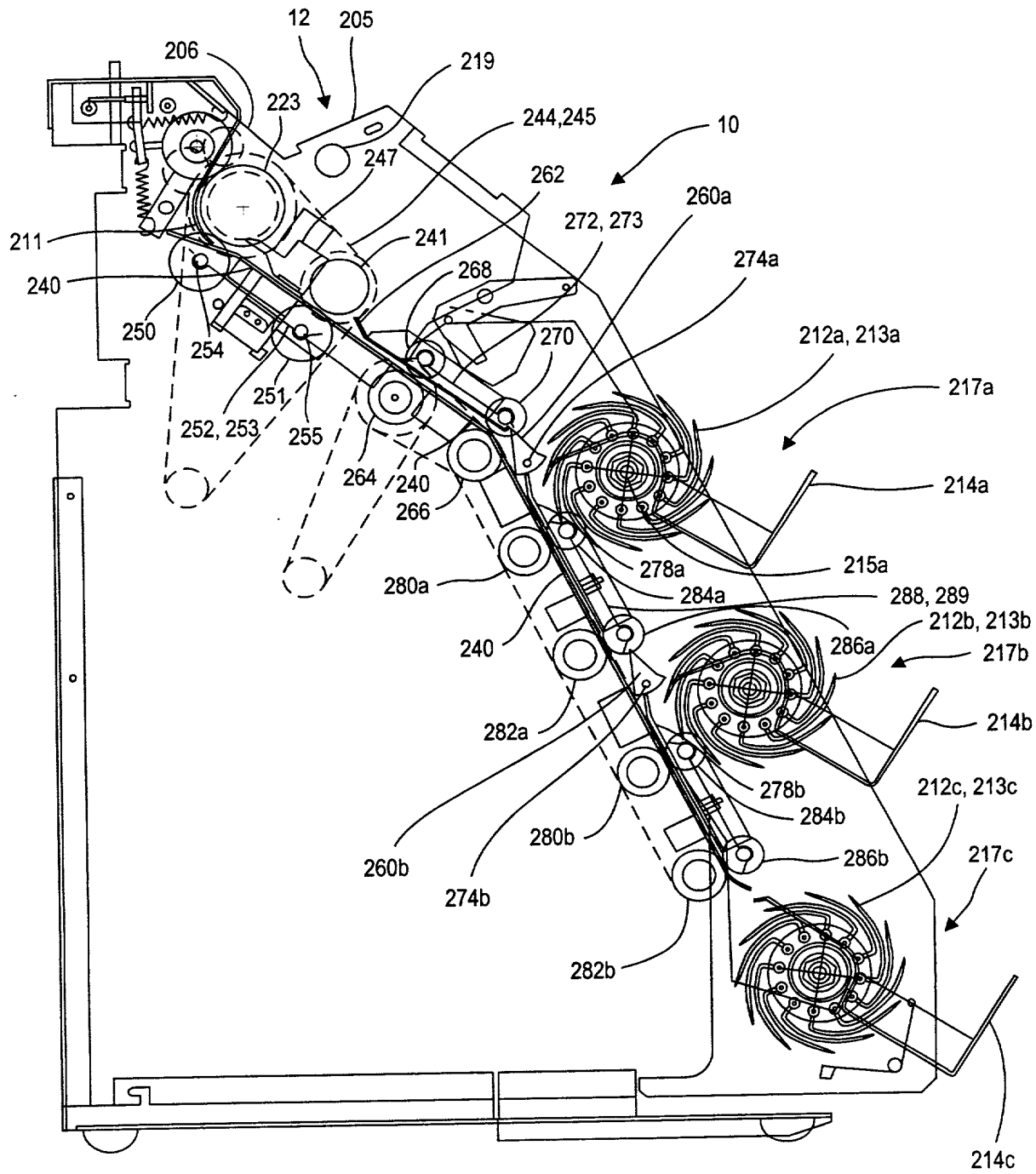


FIG. 1i



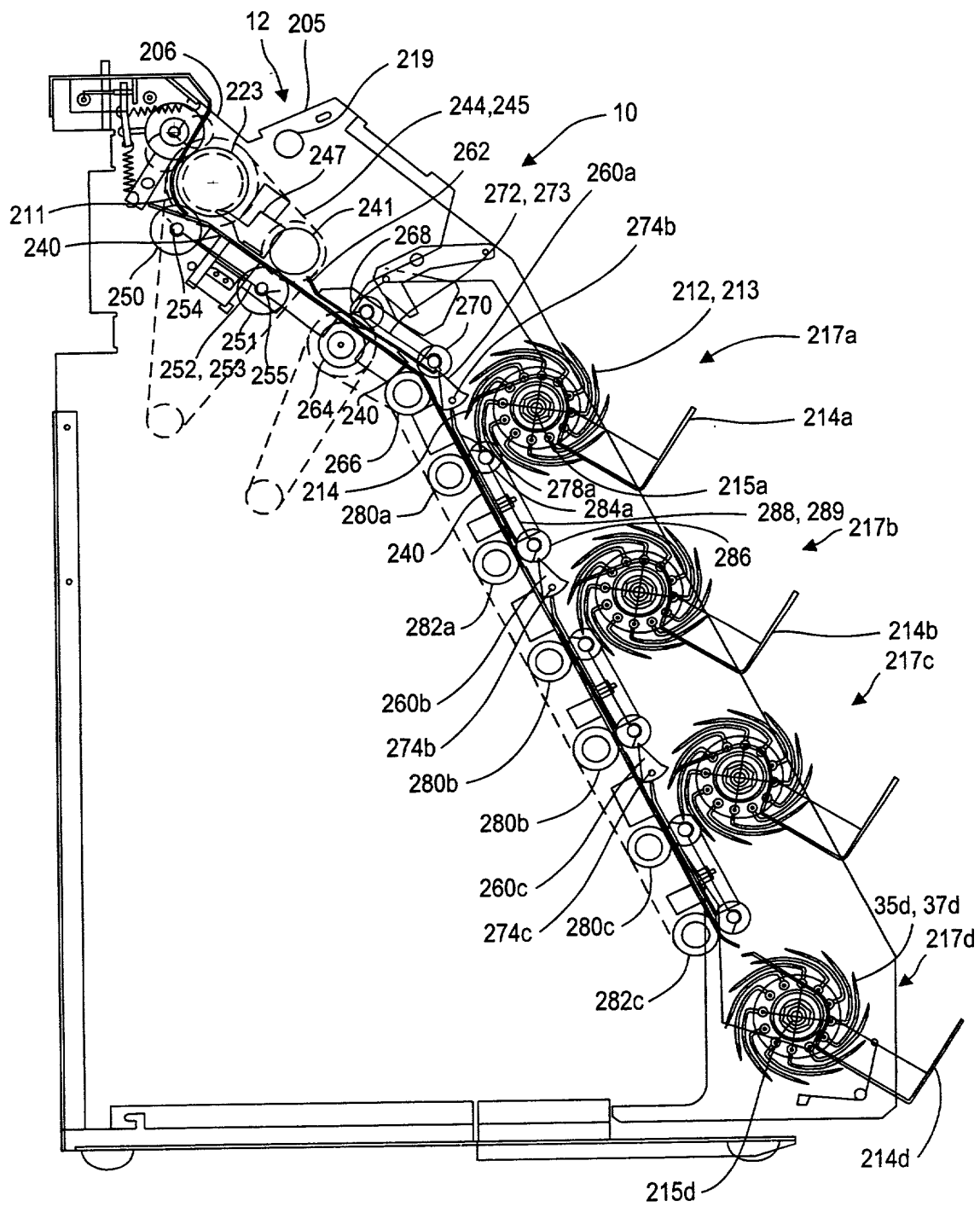


FIG. 1k

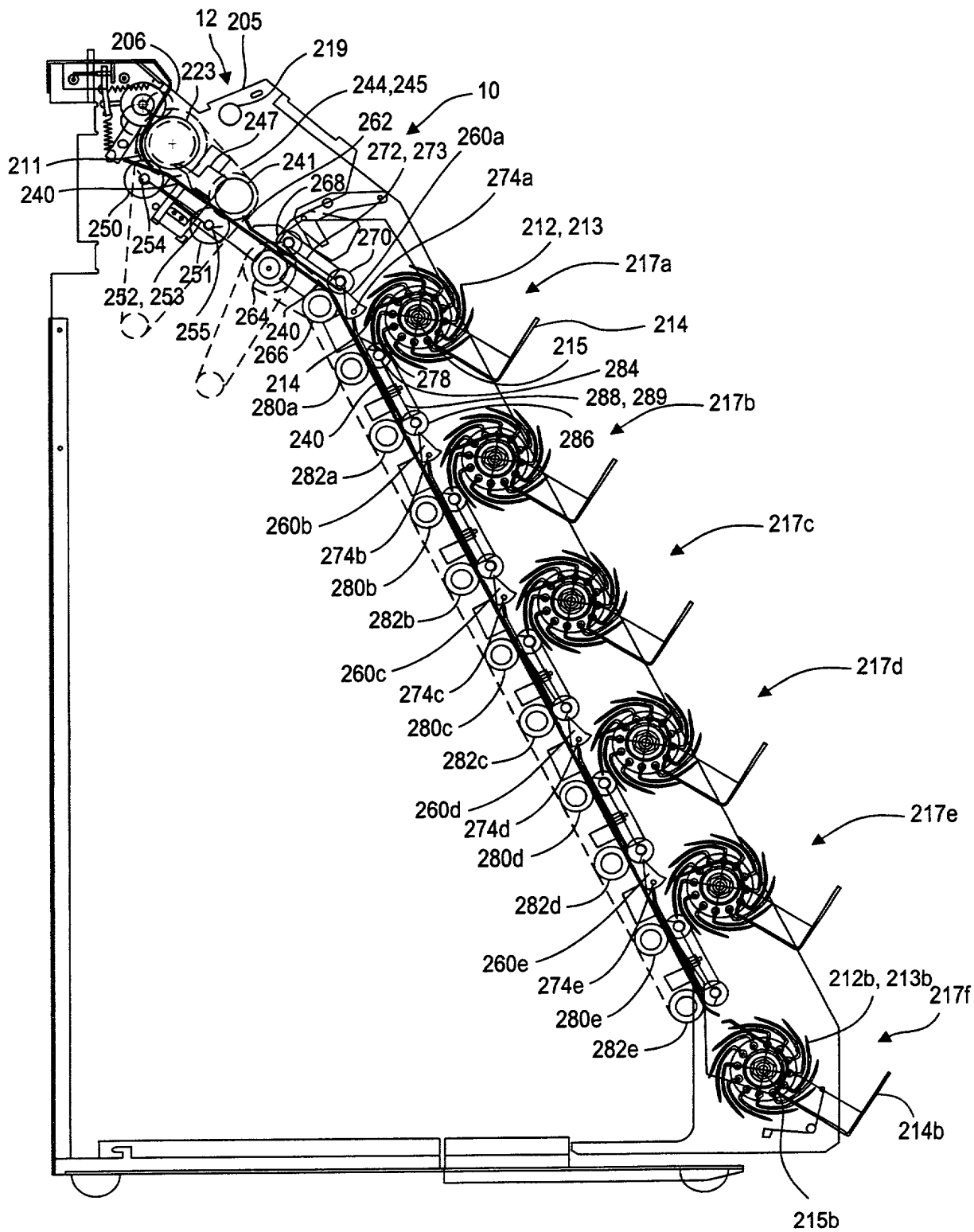


FIG. 11

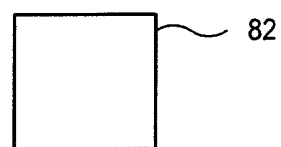
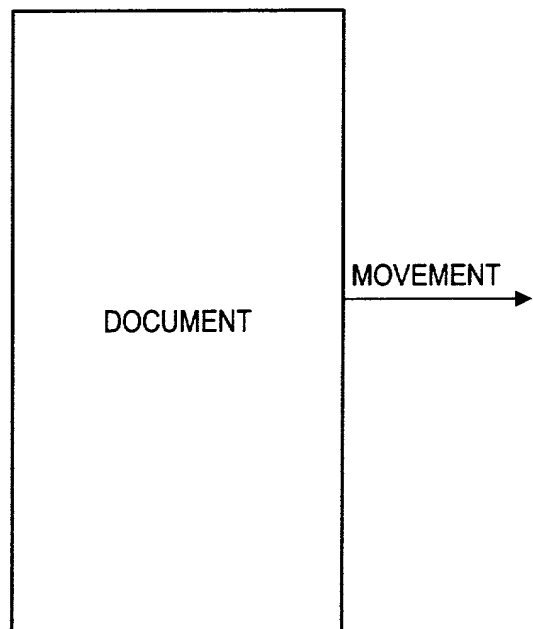
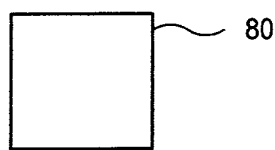


FIG. 1m

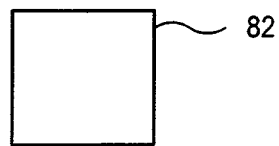
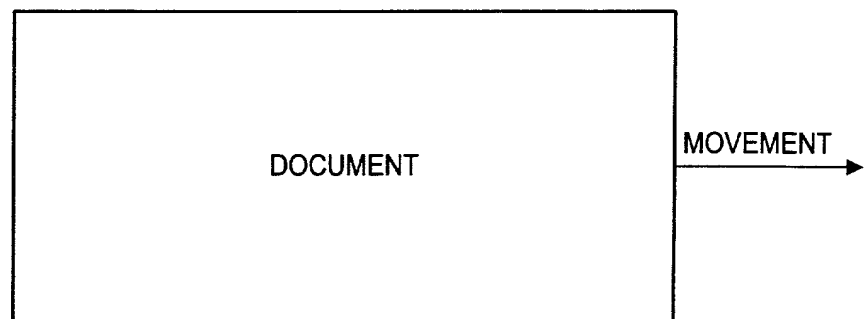
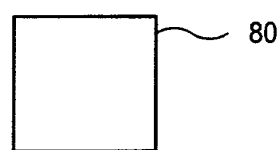


FIG. 1n

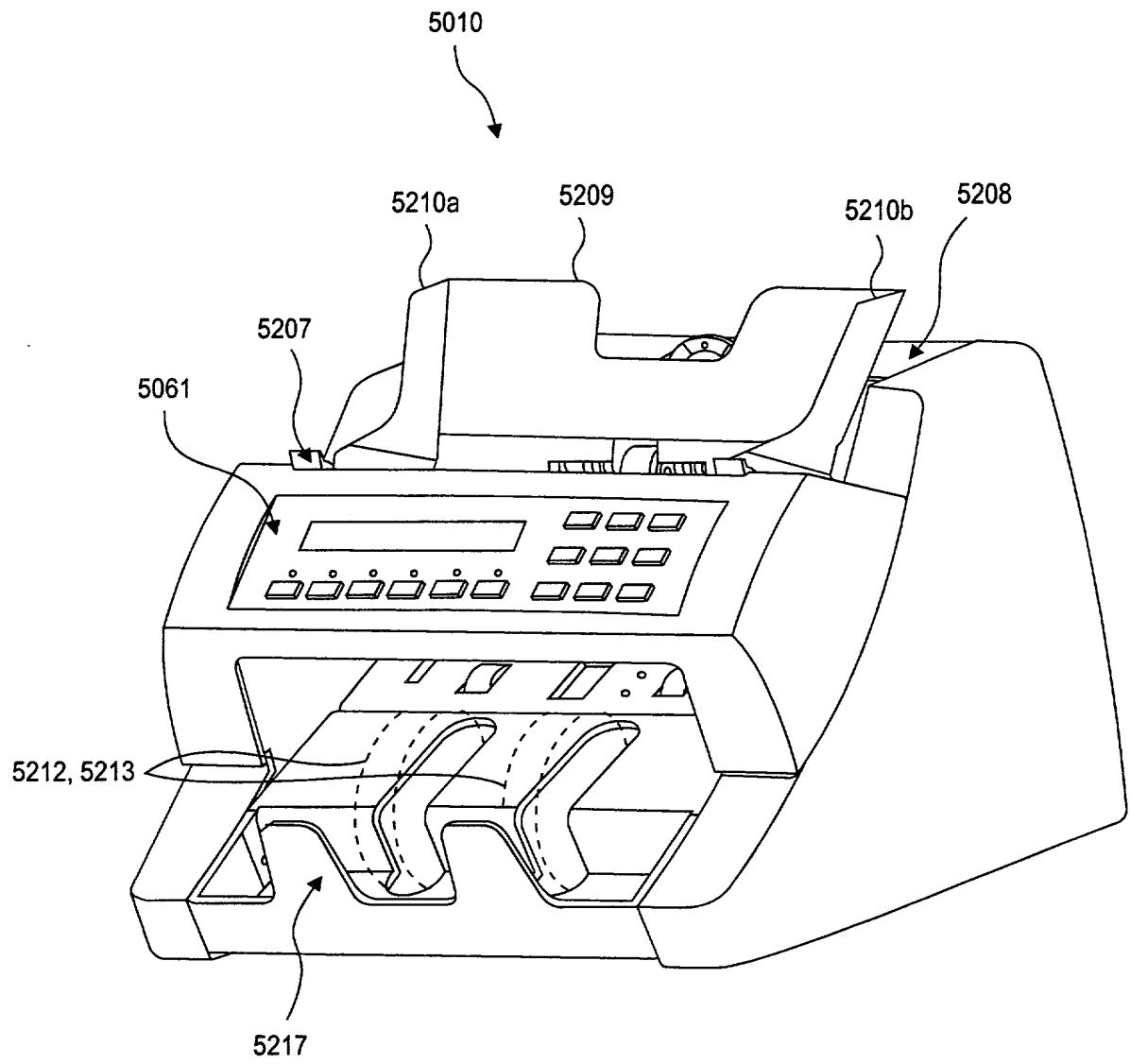


FIG. 10

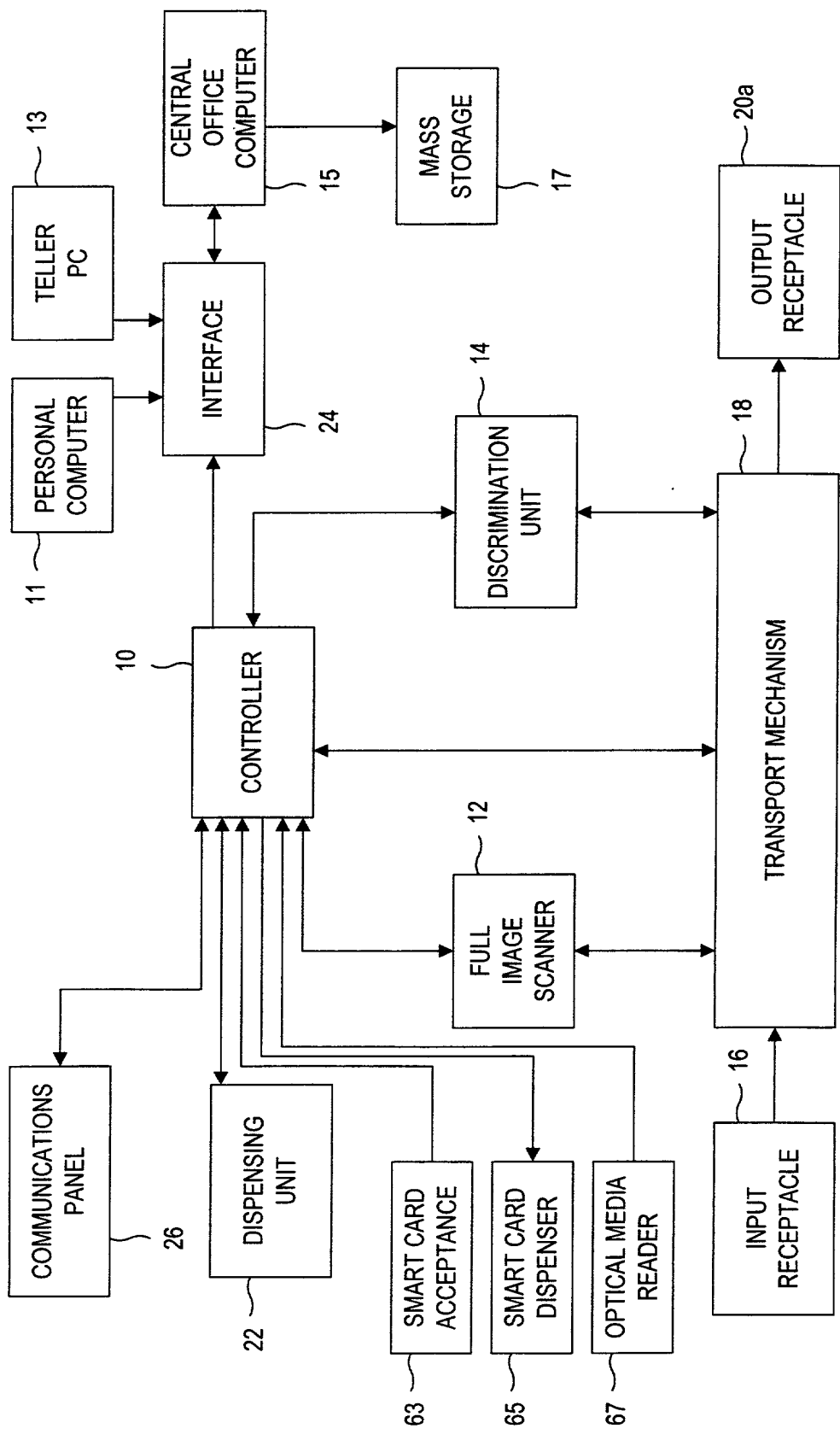


FIG. 10

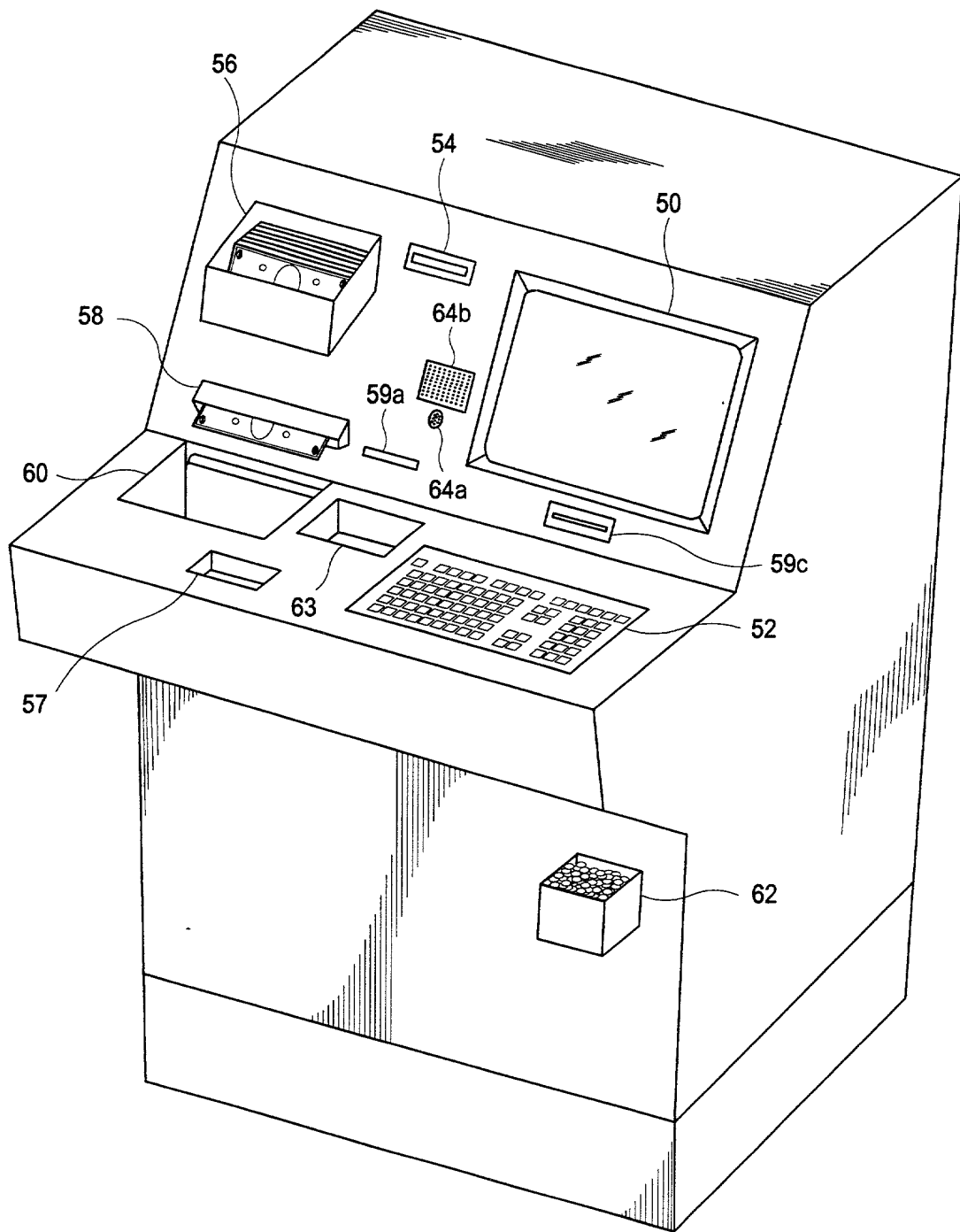


FIG. 1q

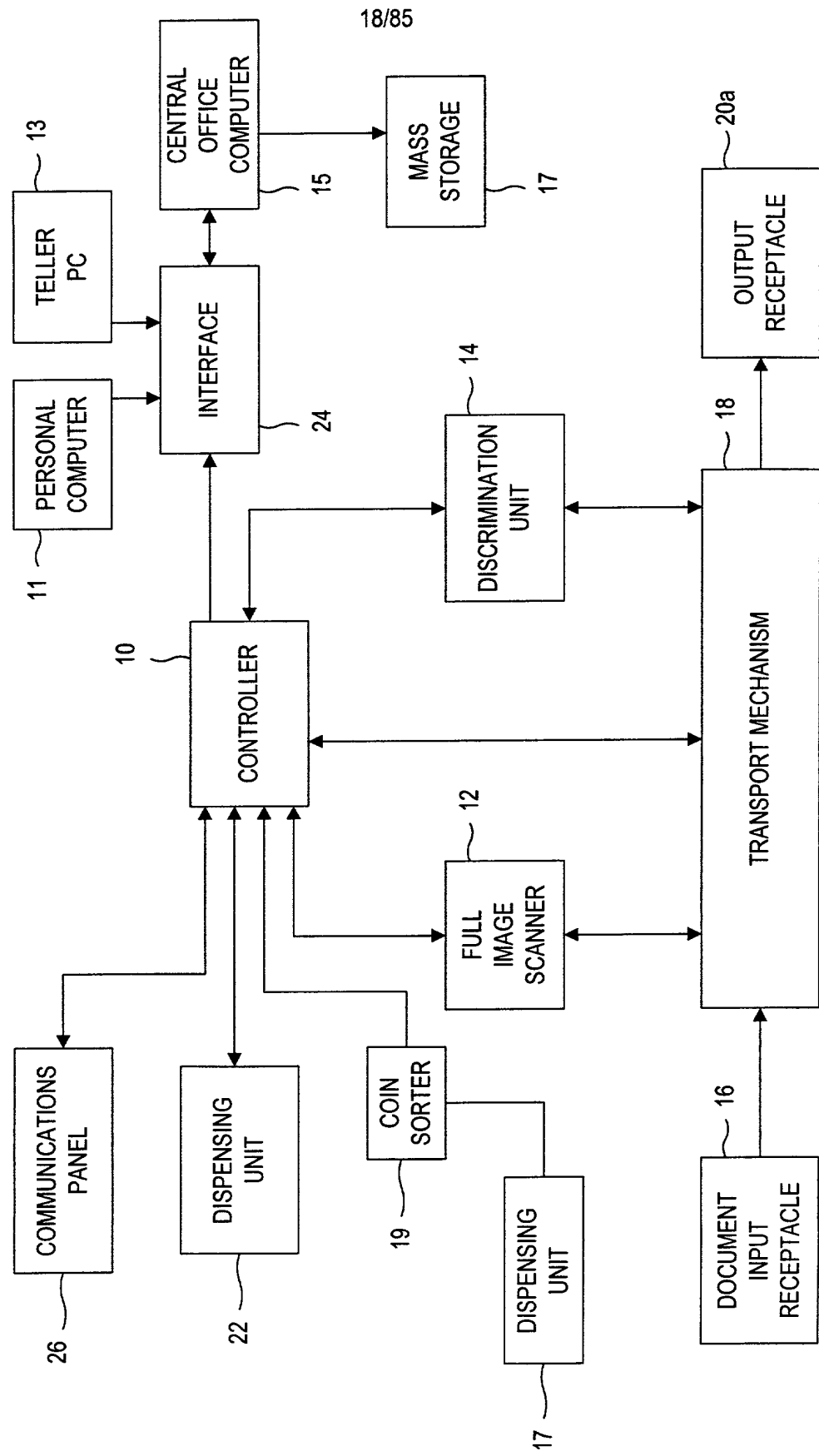


FIG. 1r

40004655 022706

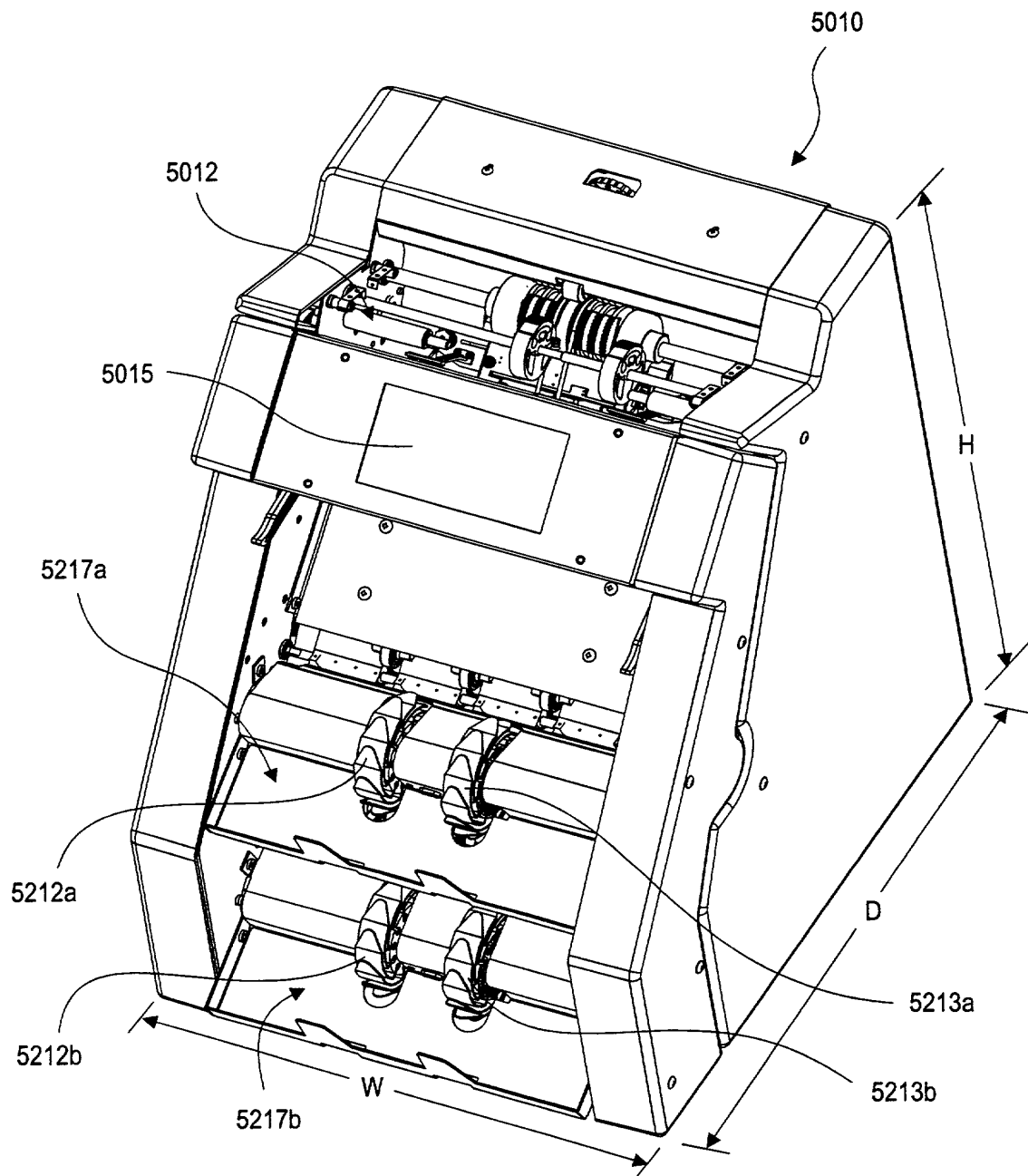
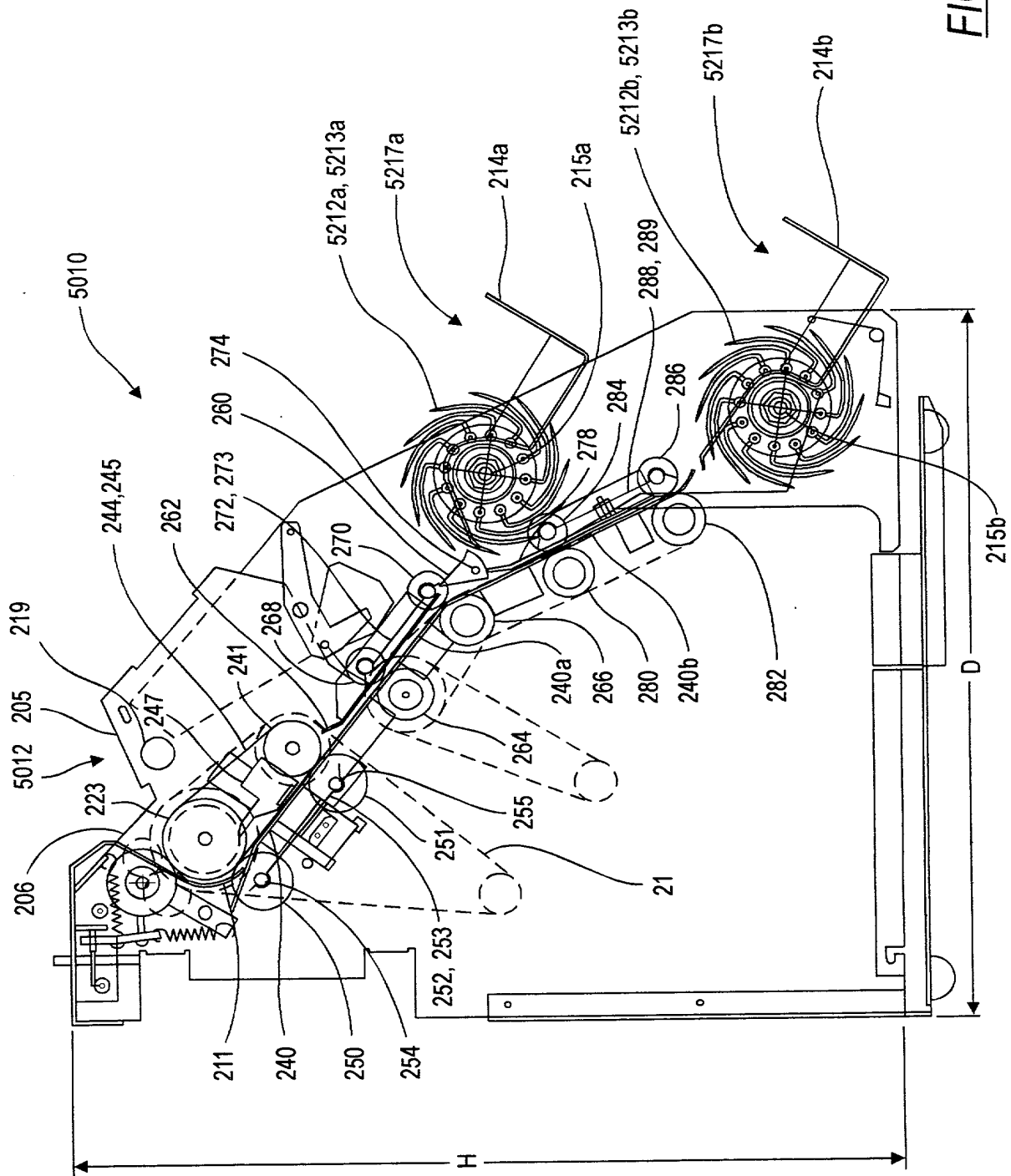
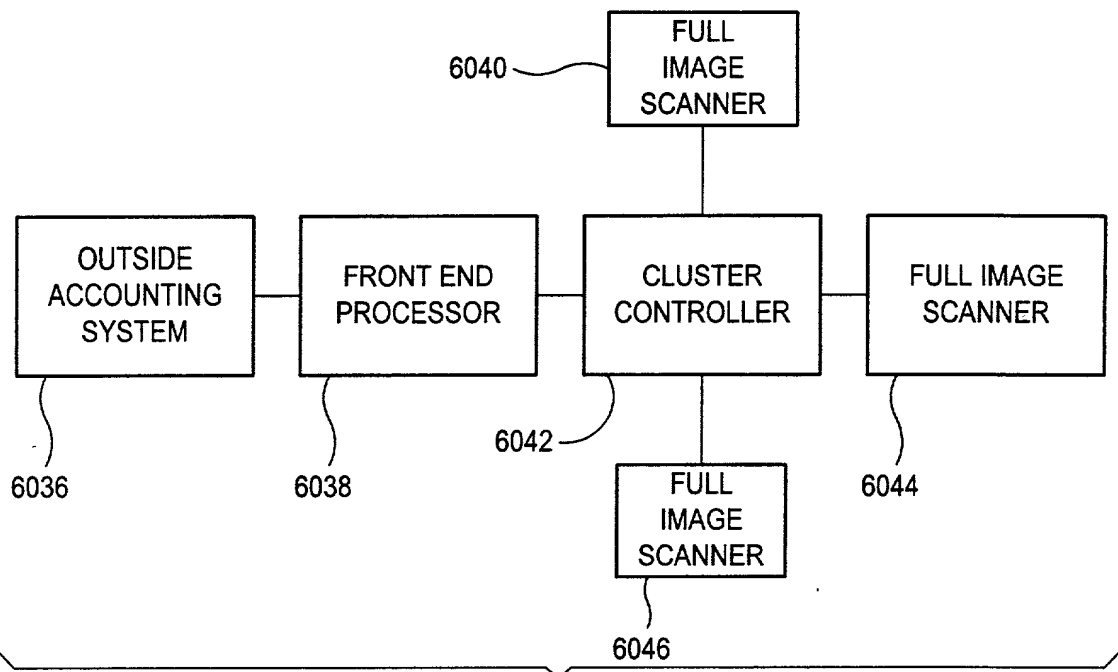
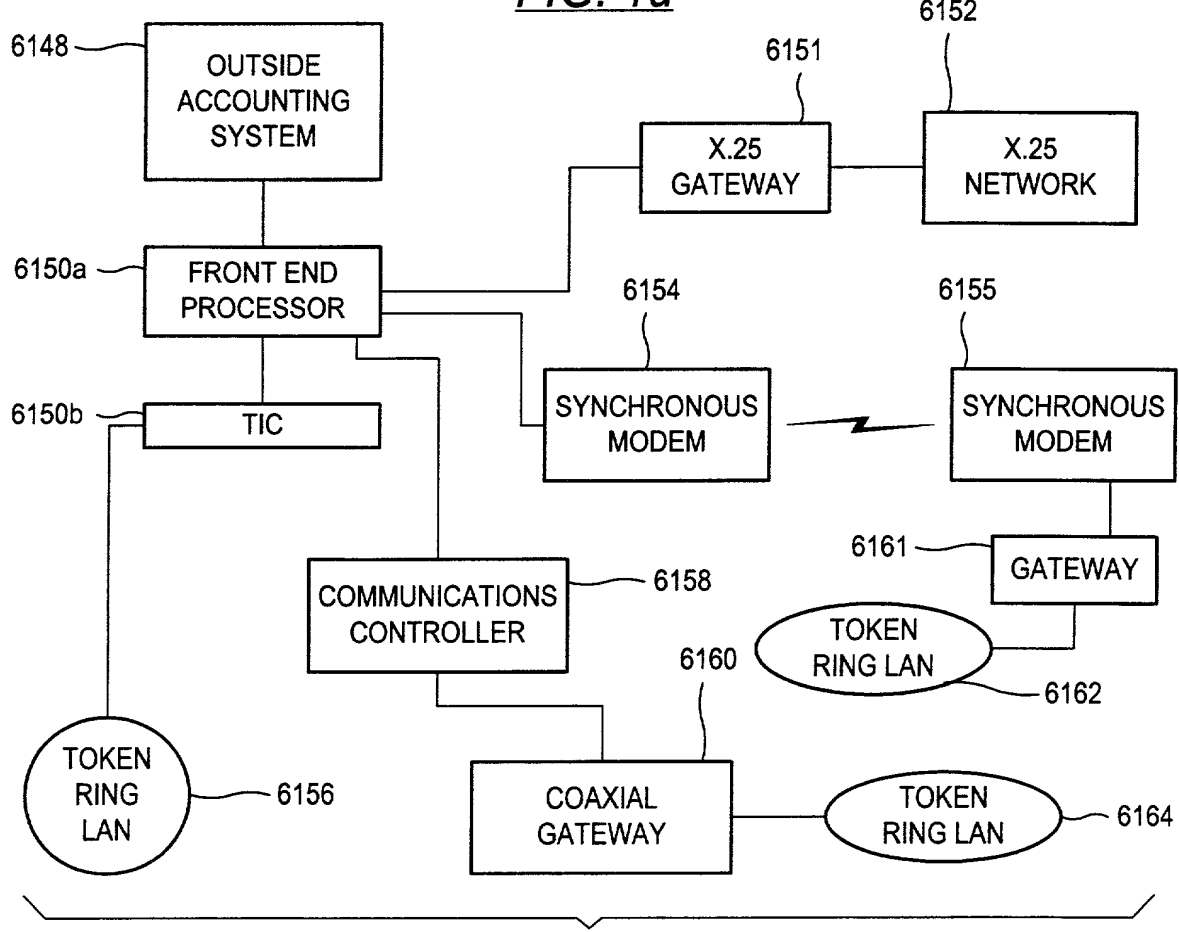
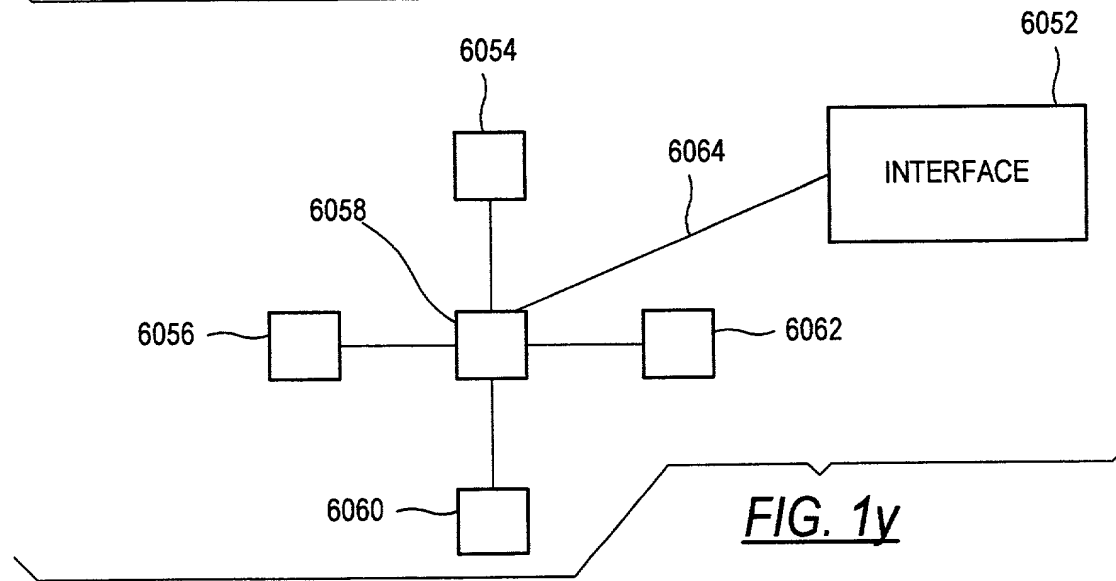
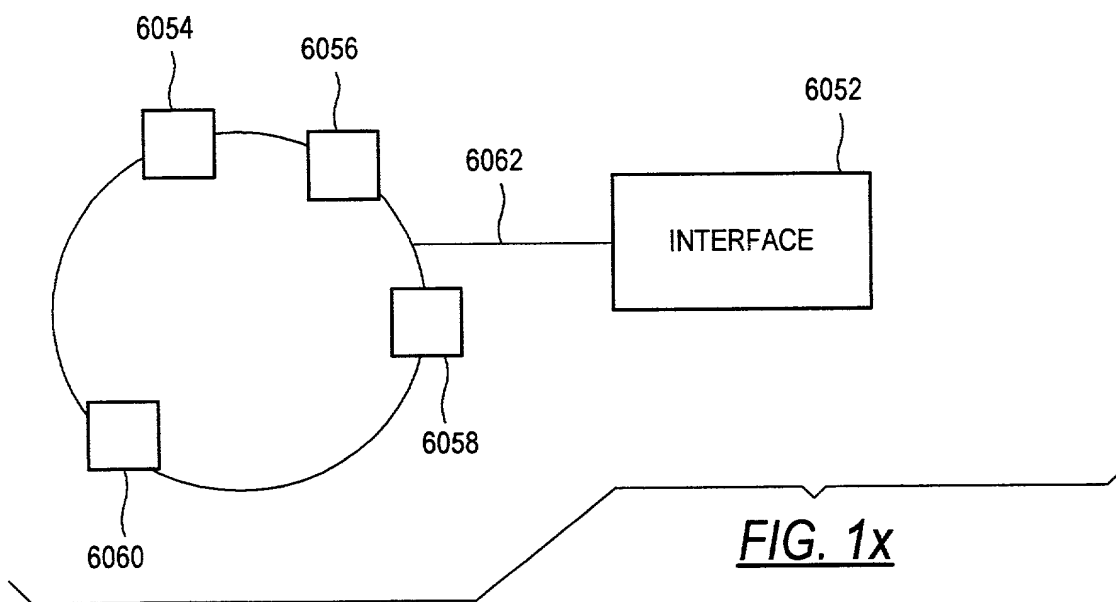
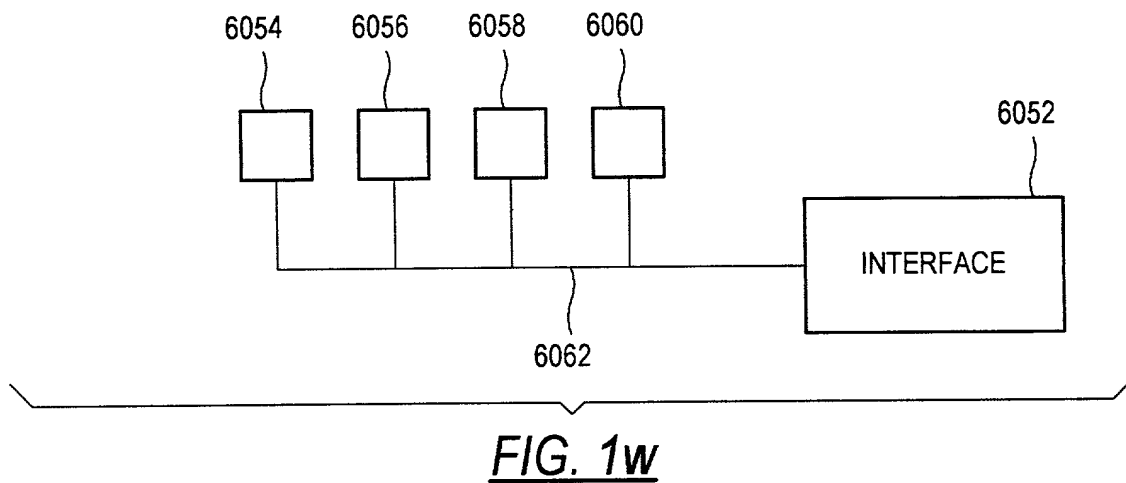


FIG. 1s



*FIG. 1u**FIG. 1v*

10084356 0223702



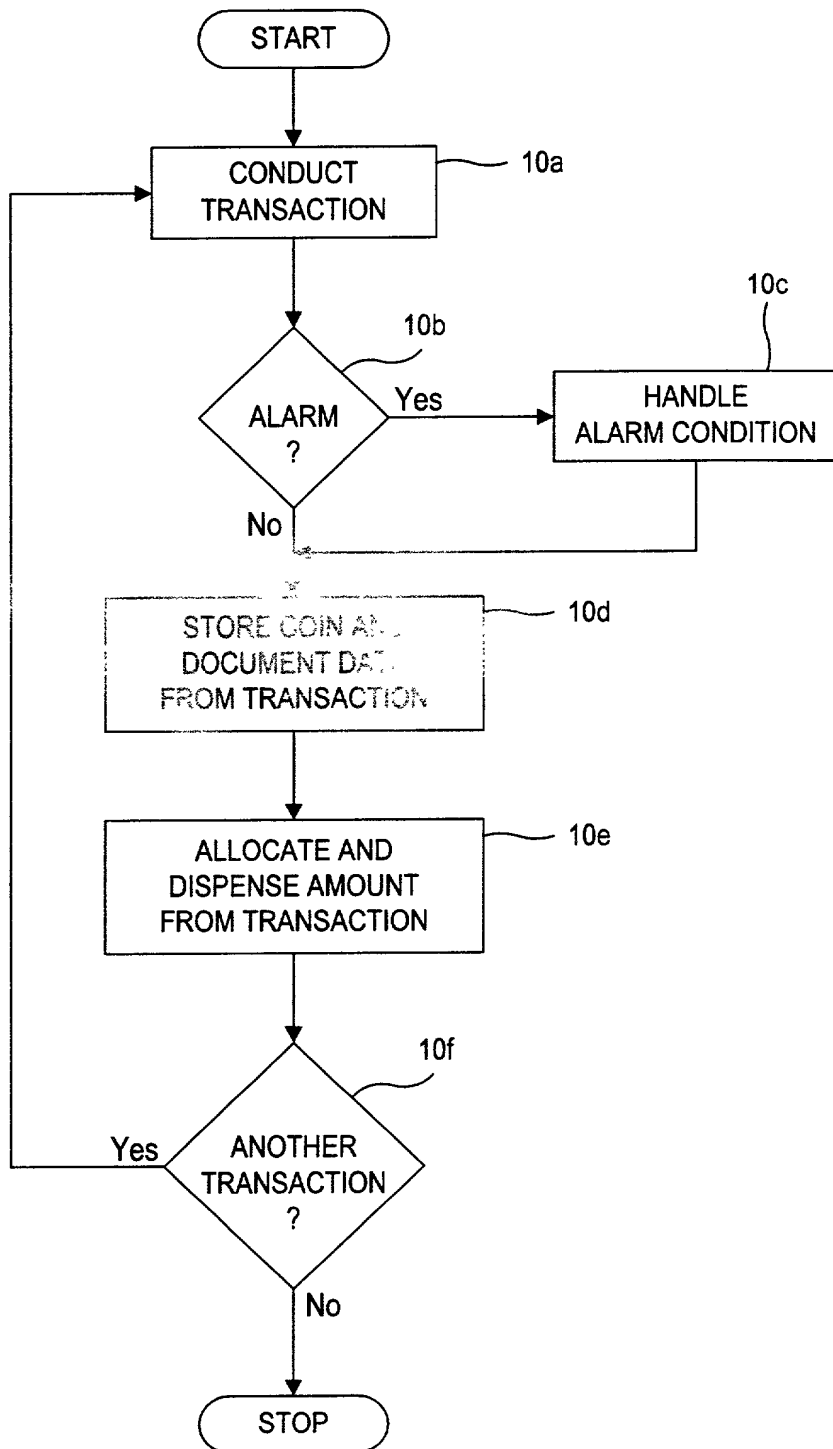


FIG. 2

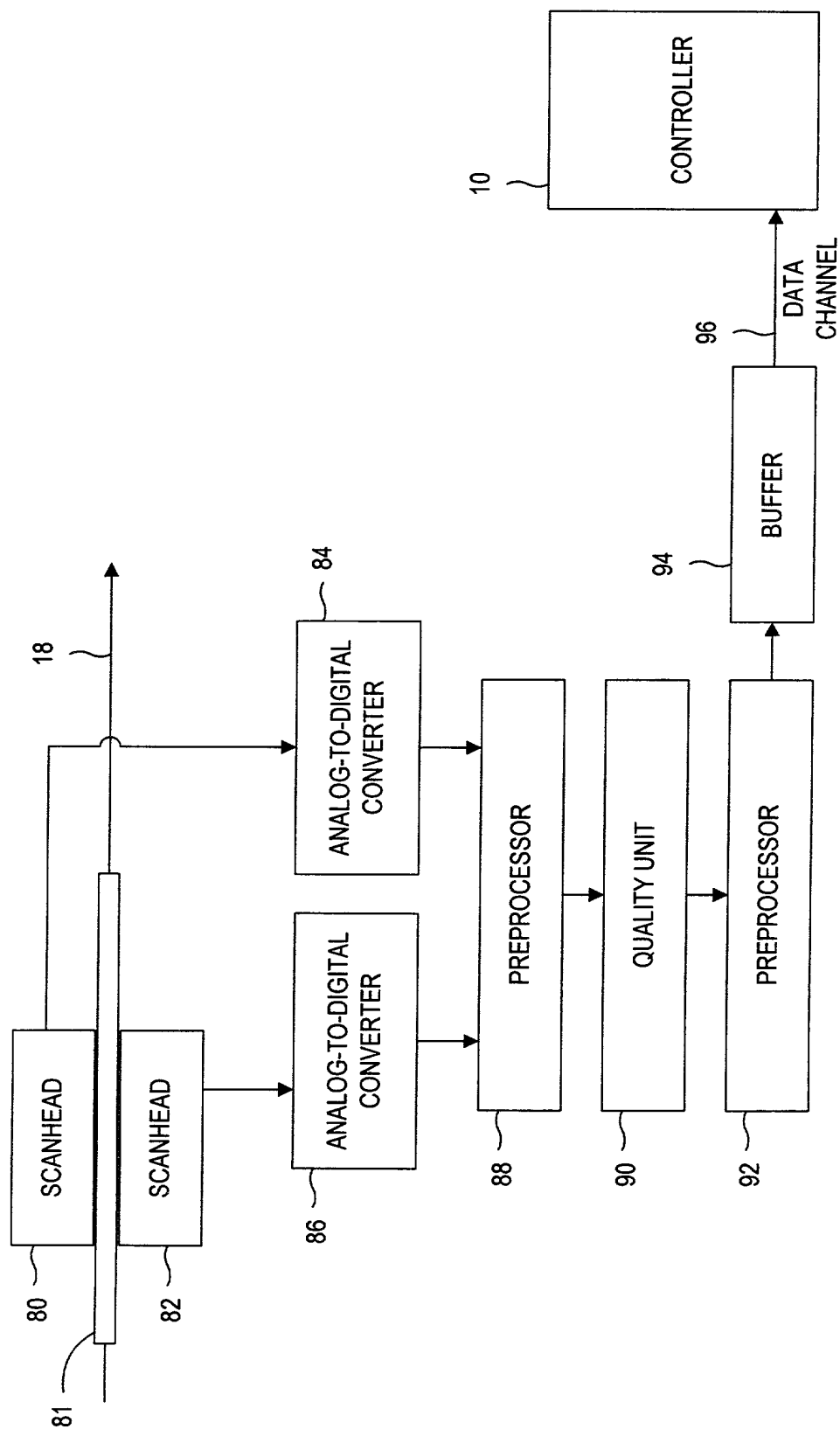


FIG. 3

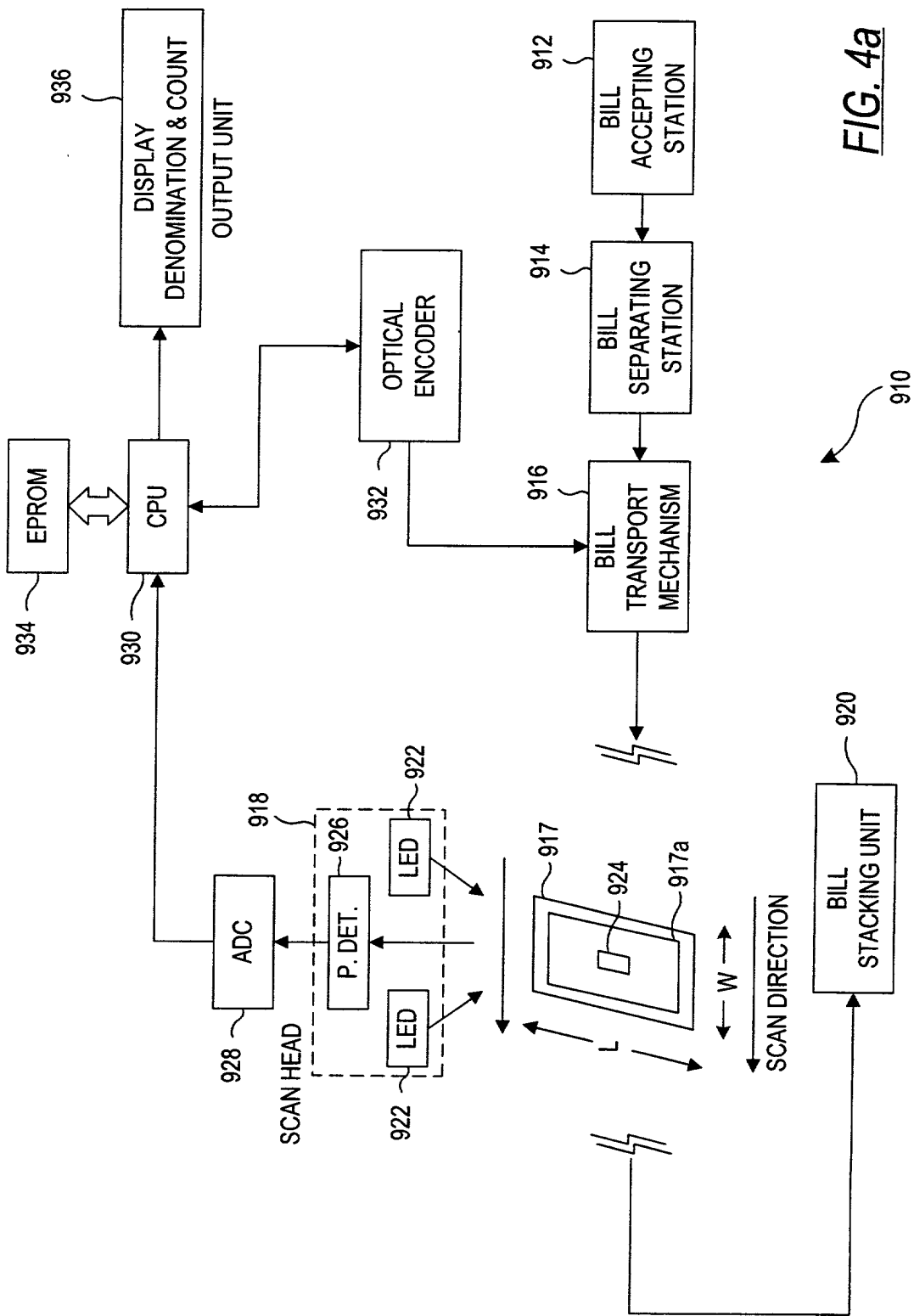


FIG. 4a

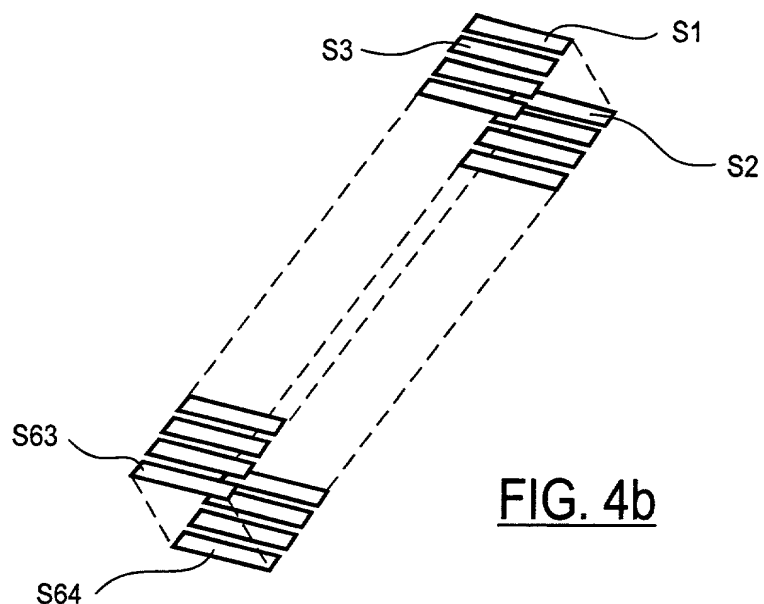


FIG. 4b

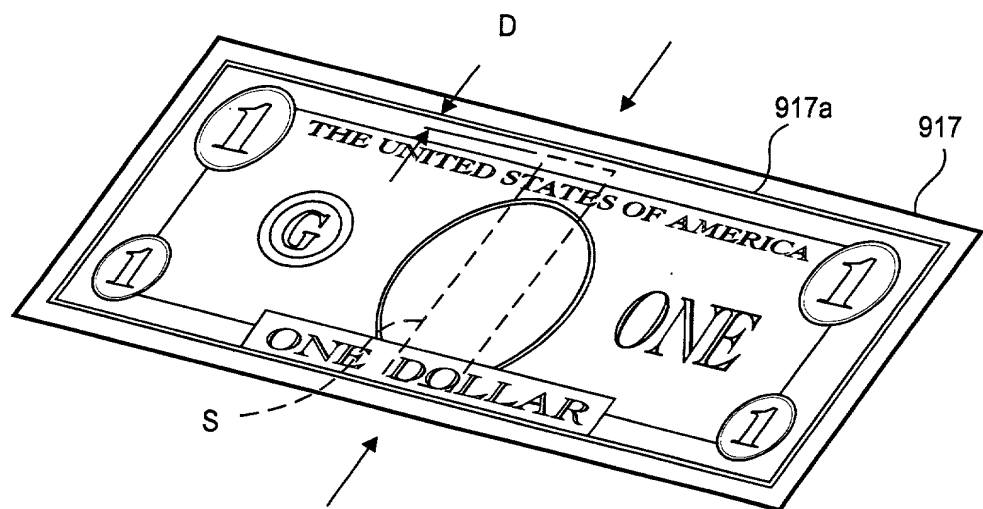


FIG. 4c

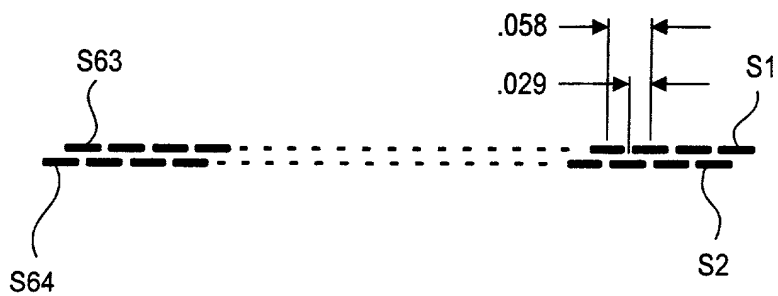


FIG. 4d

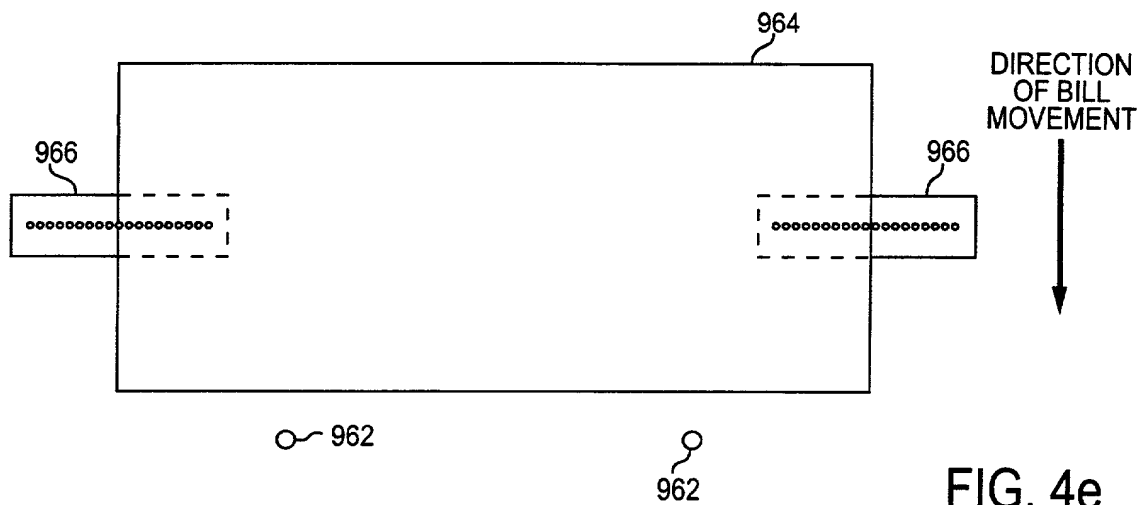


FIG. 4e

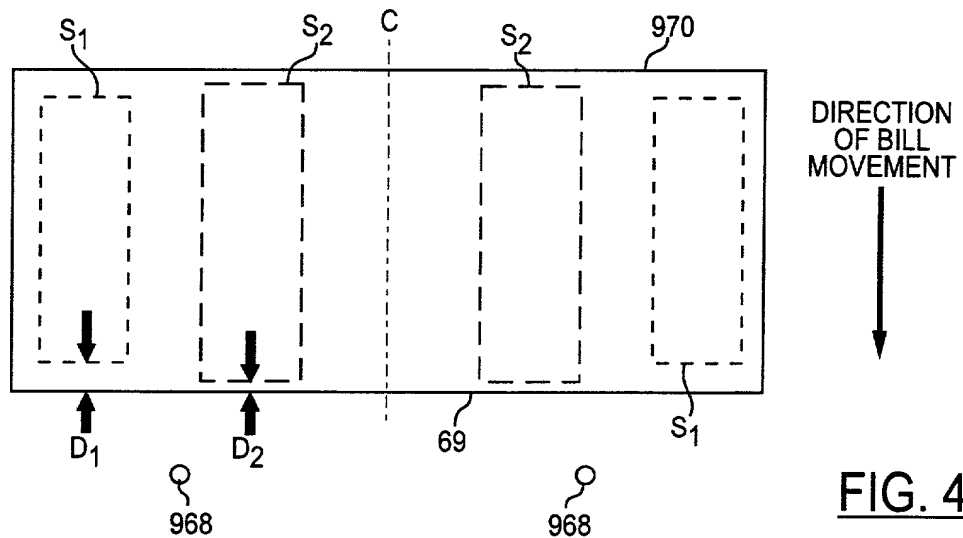


FIG. 4f

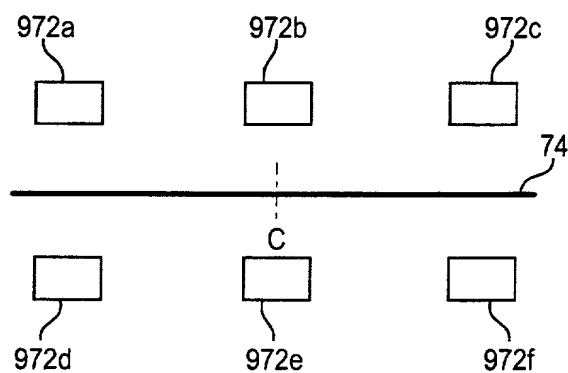


FIG. 6

28/85

\$ 20 BEFORE SHIFTING : CORR = 644

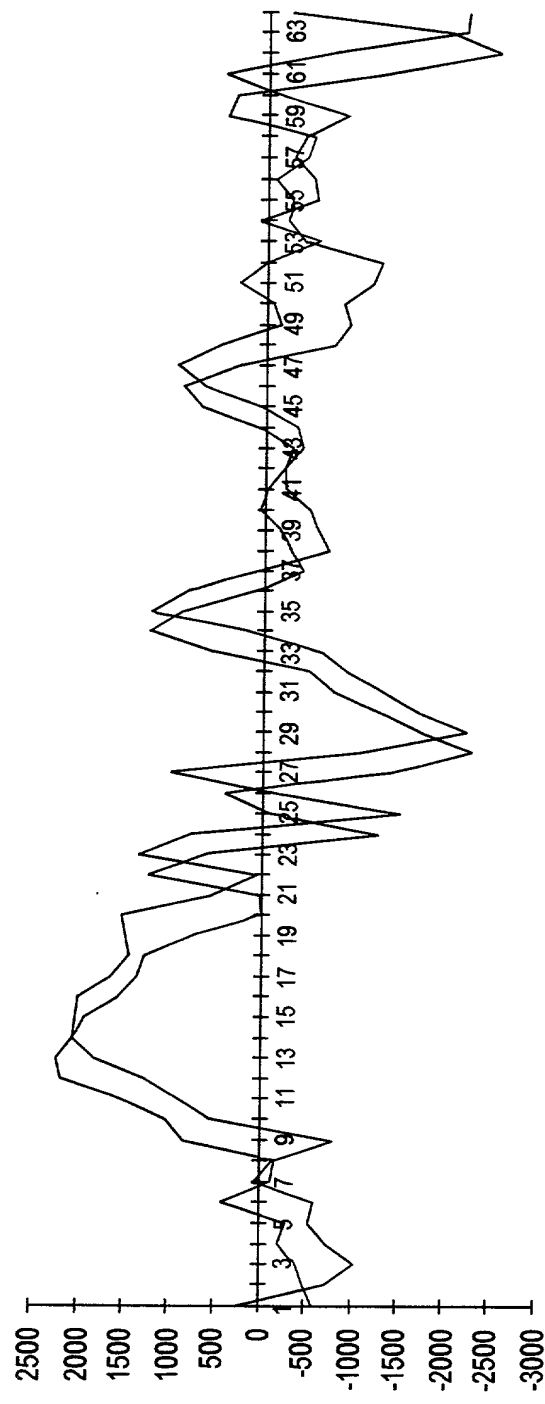


FIG. 5a

\$ 20 AFTER SHIFTING : CORR = 966

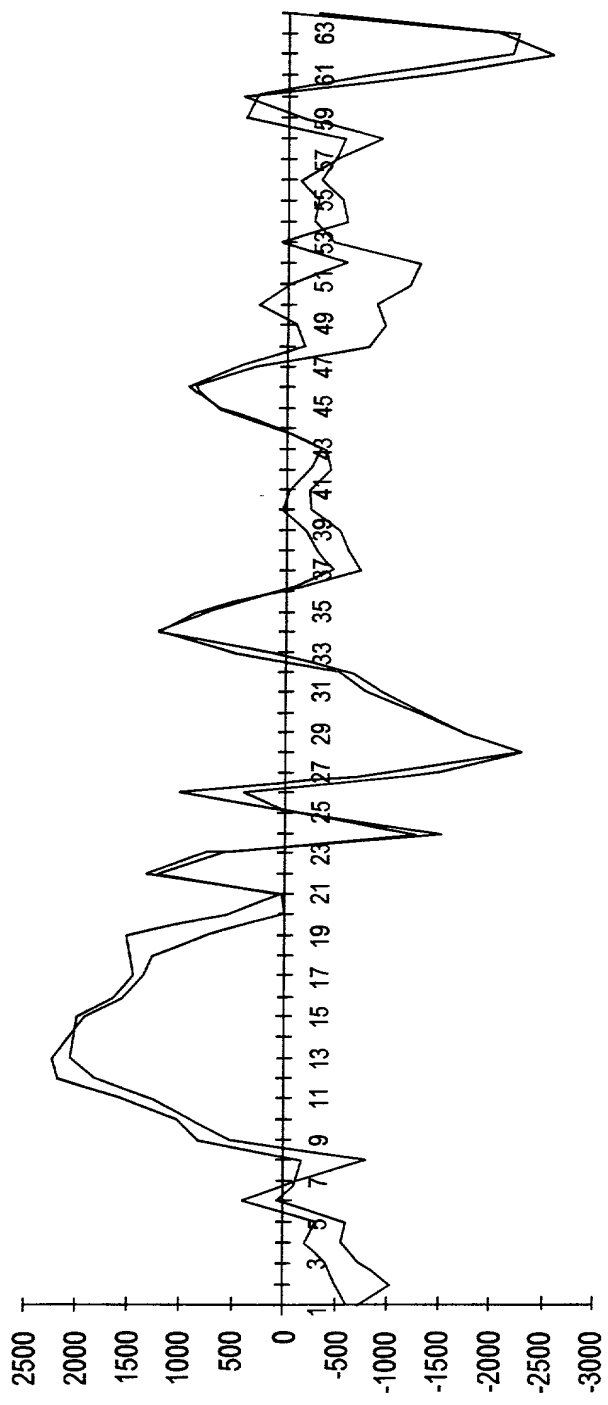
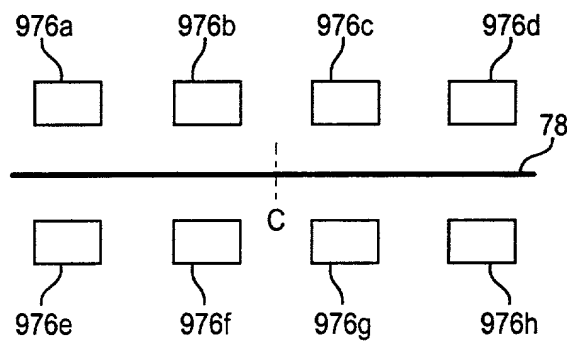
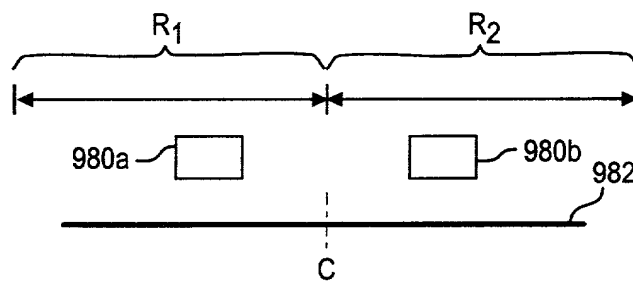
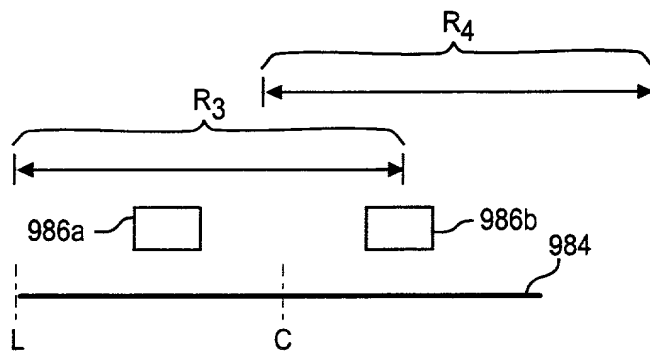


FIG. 5b

FIG. 7FIG. 8FIG. 9

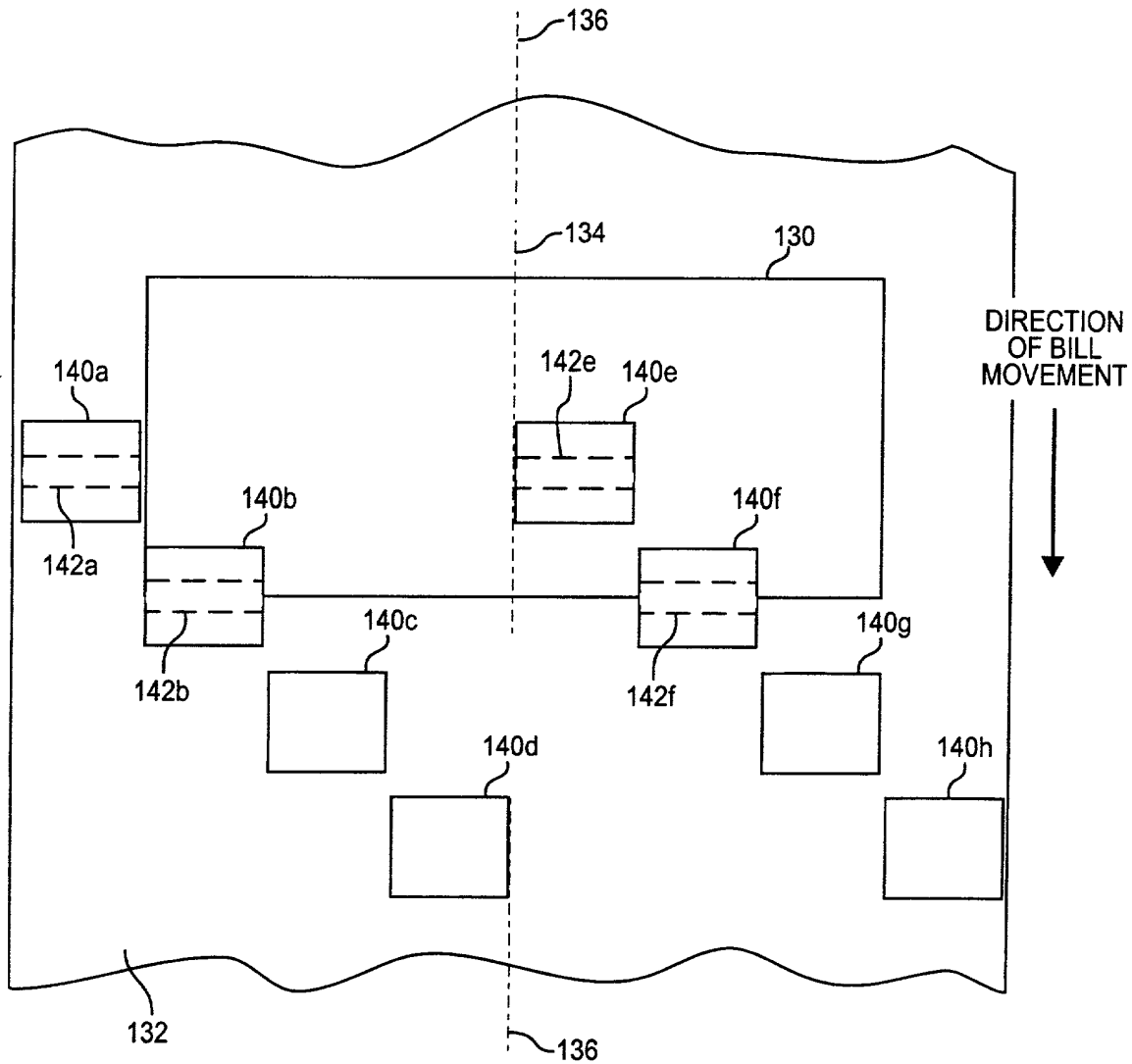


FIG. 10

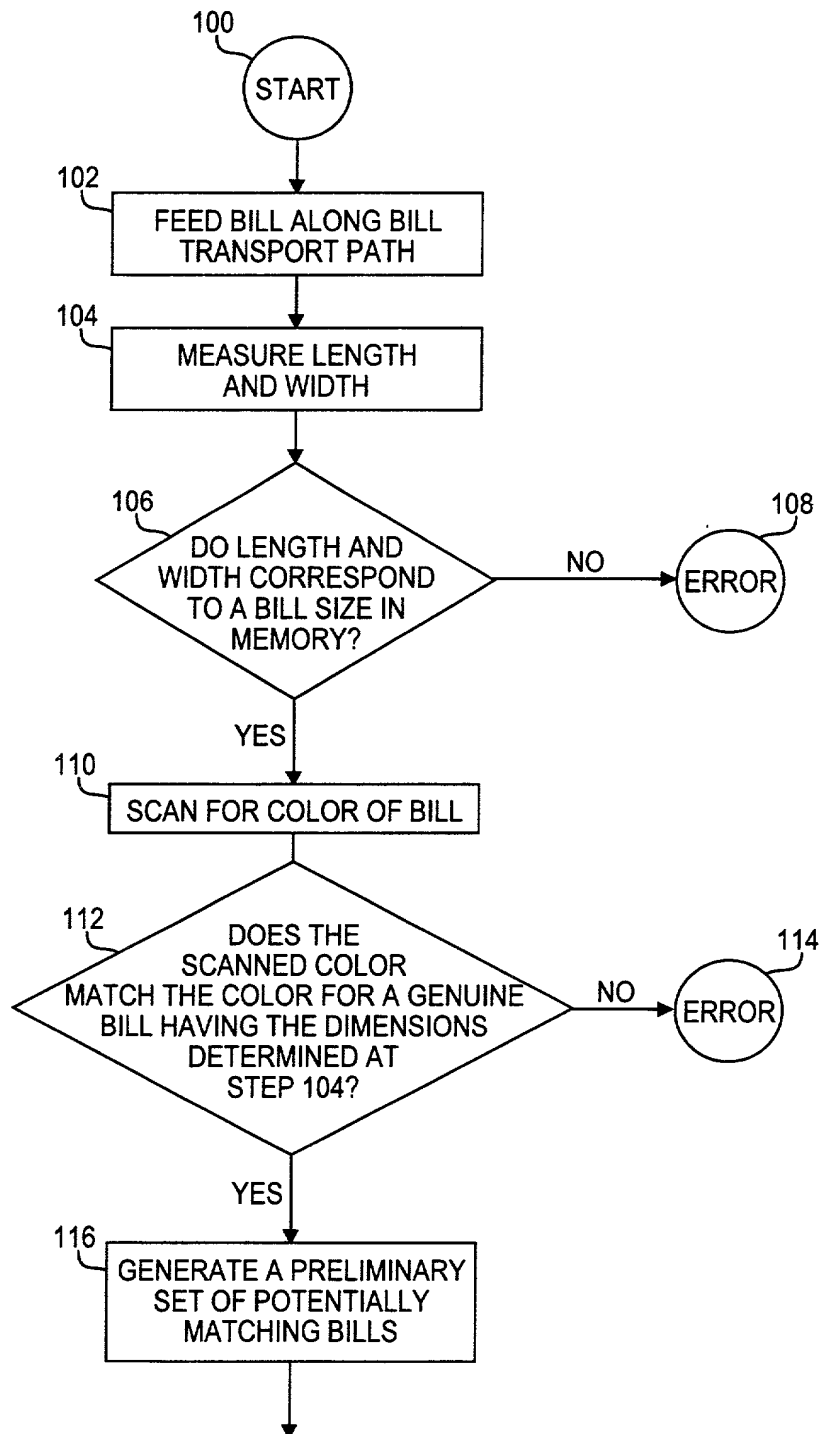


FIG. 11a

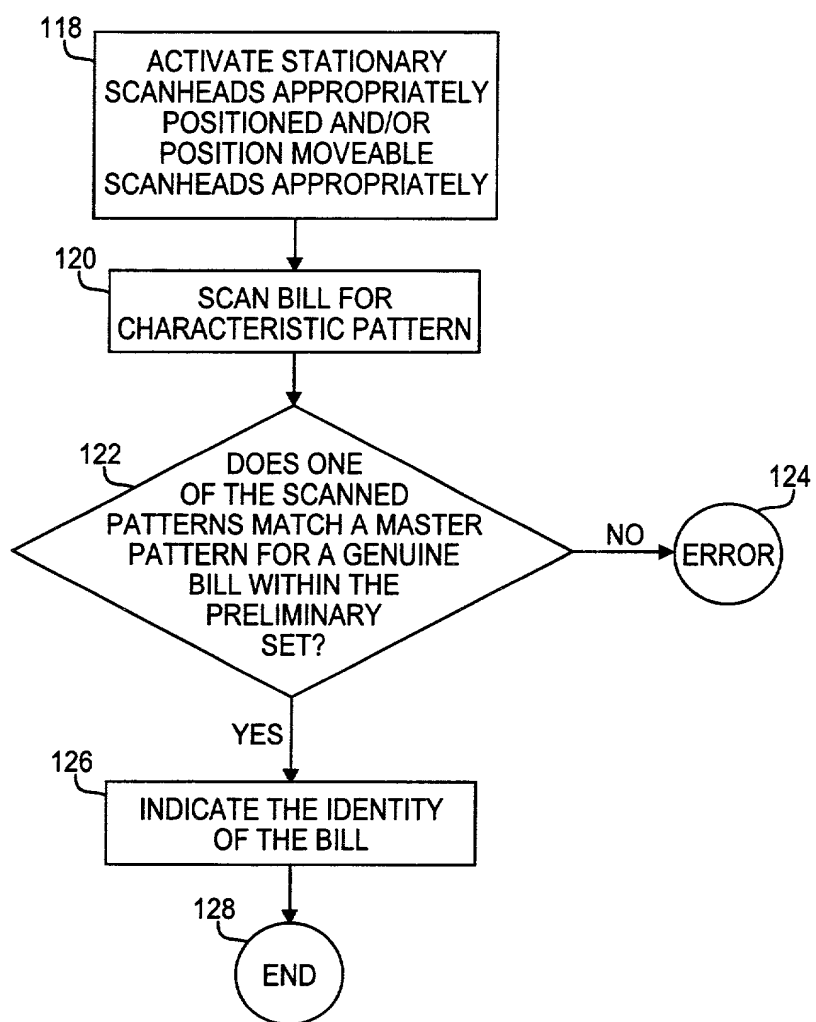


FIG. 11b

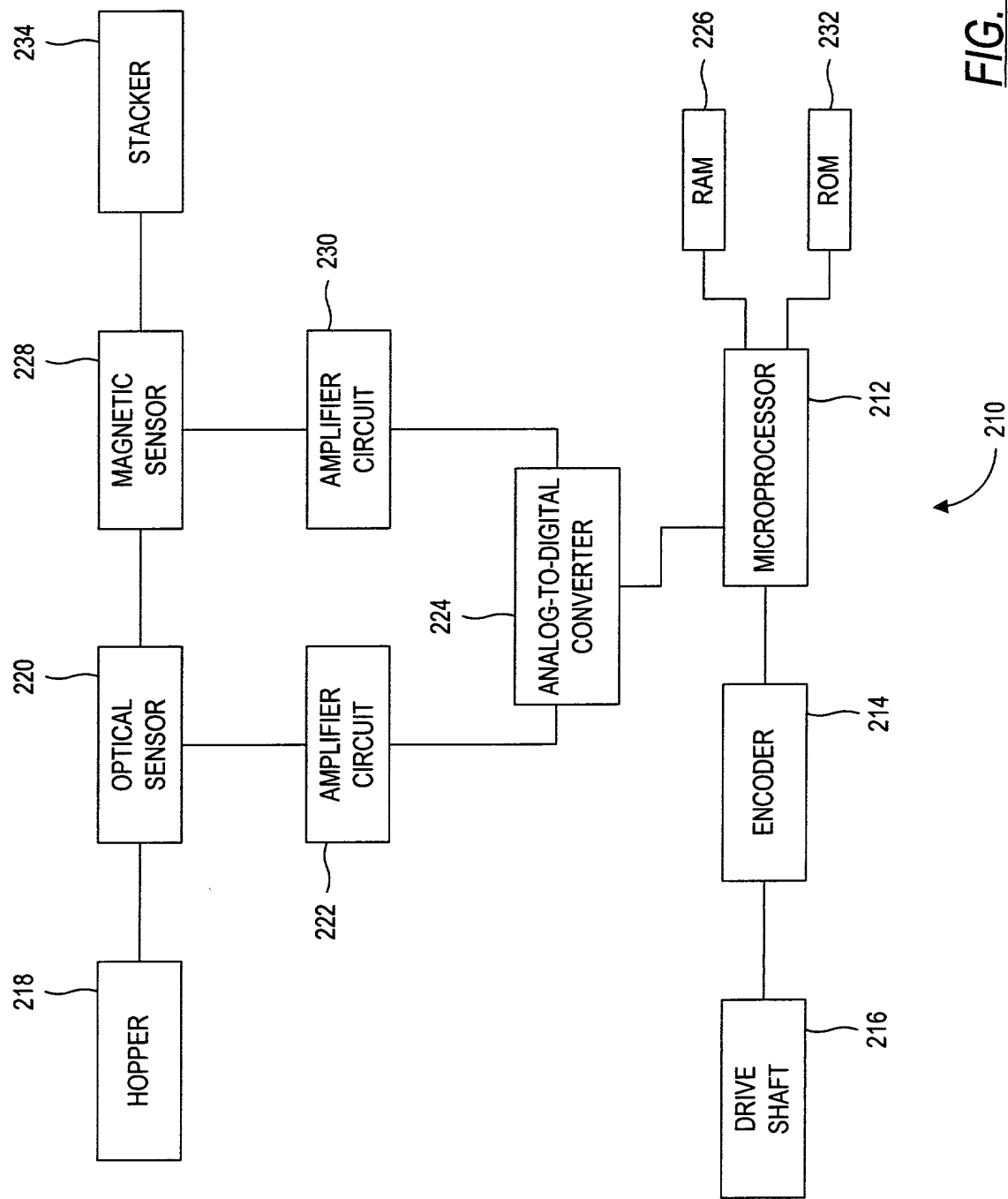


FIG. 12

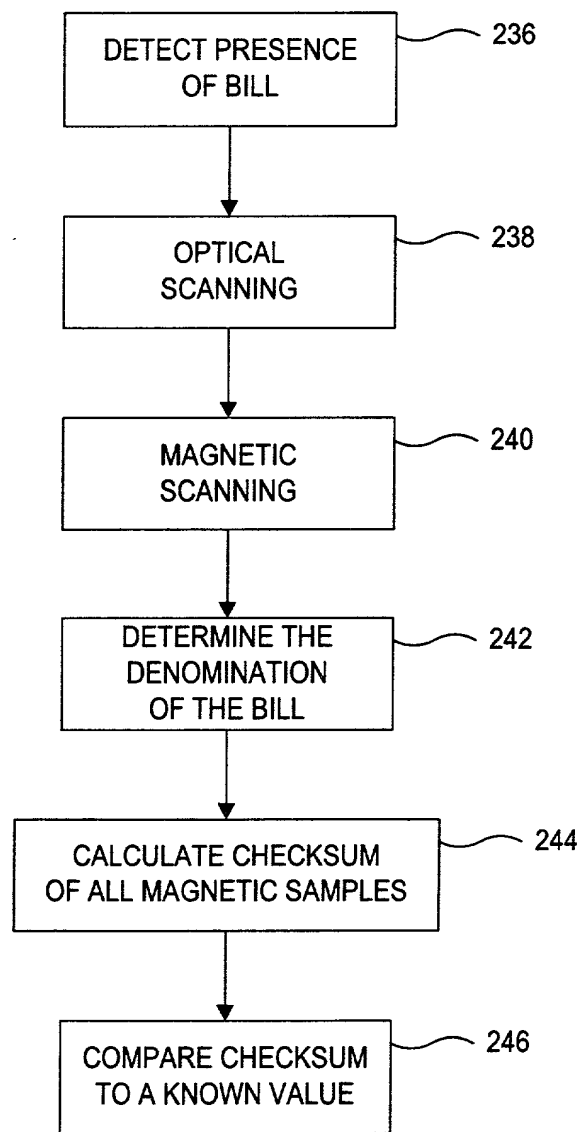


FIG. 13

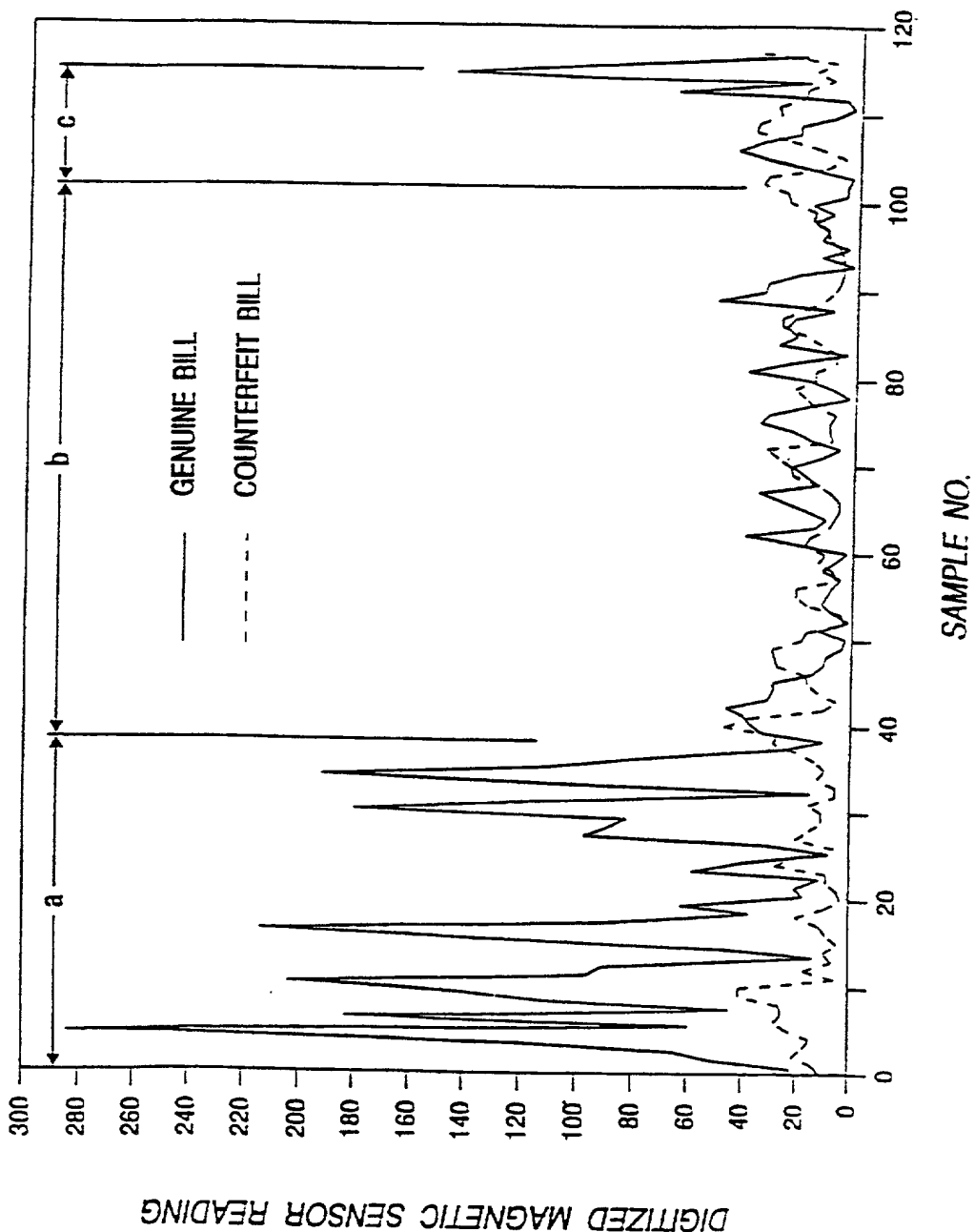


FIG. 14

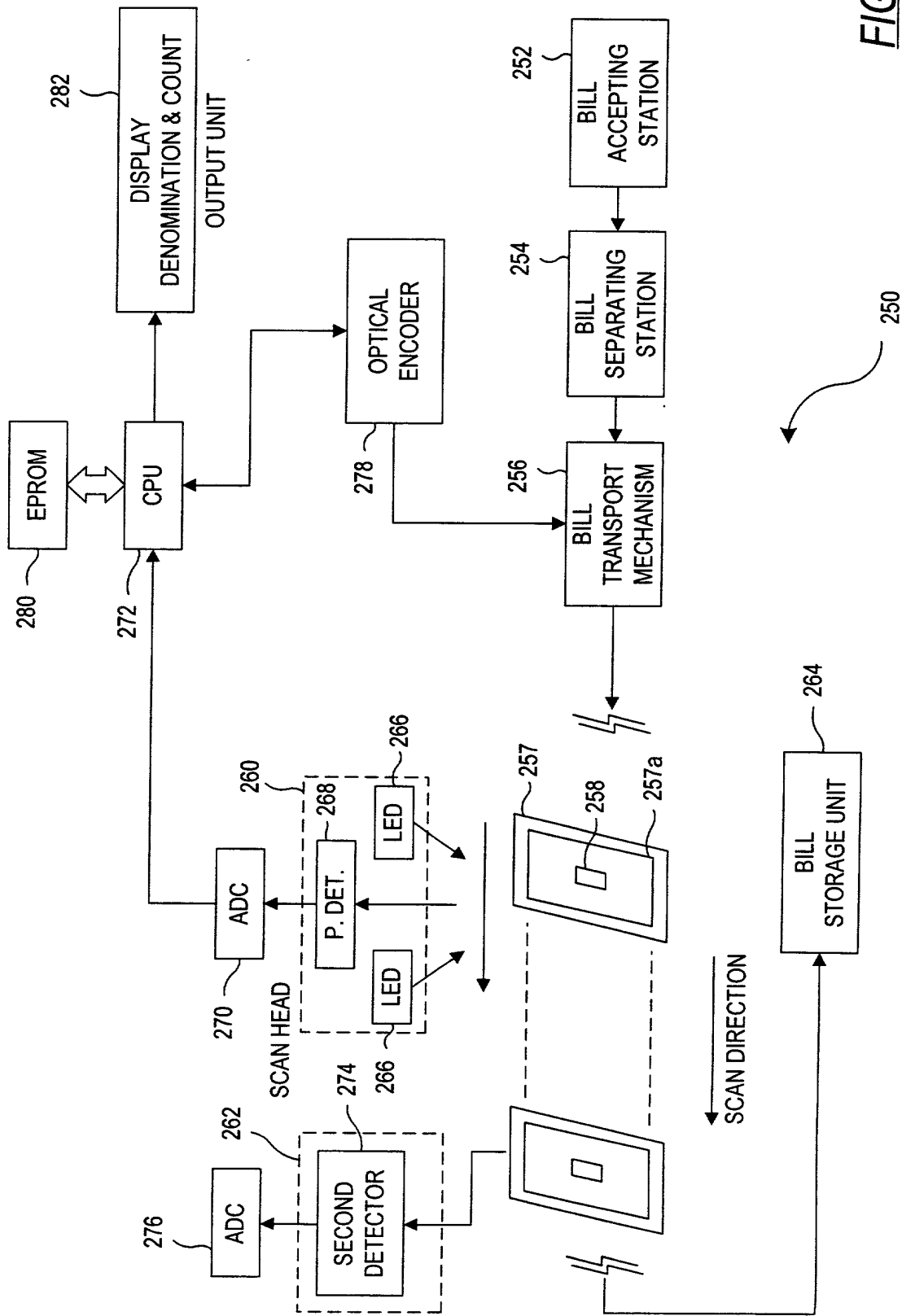


FIG. 15

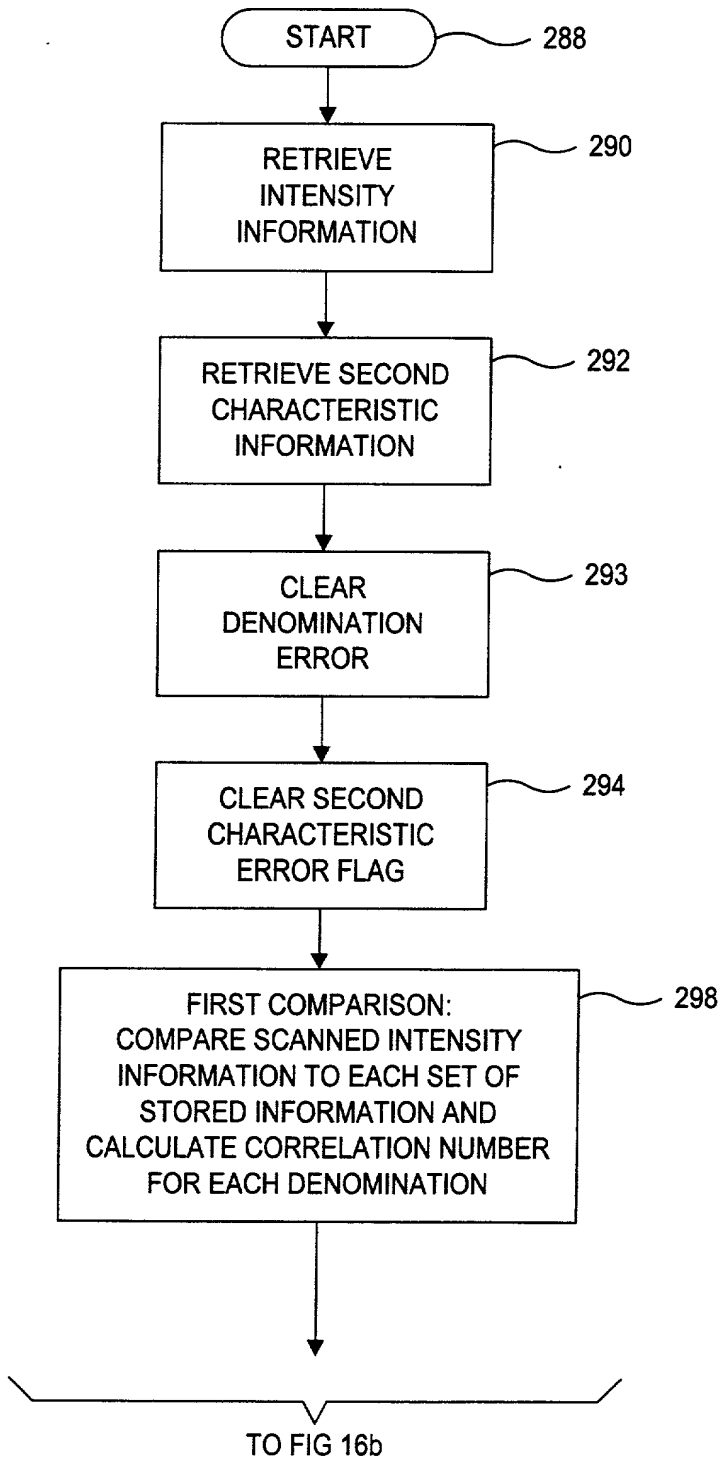
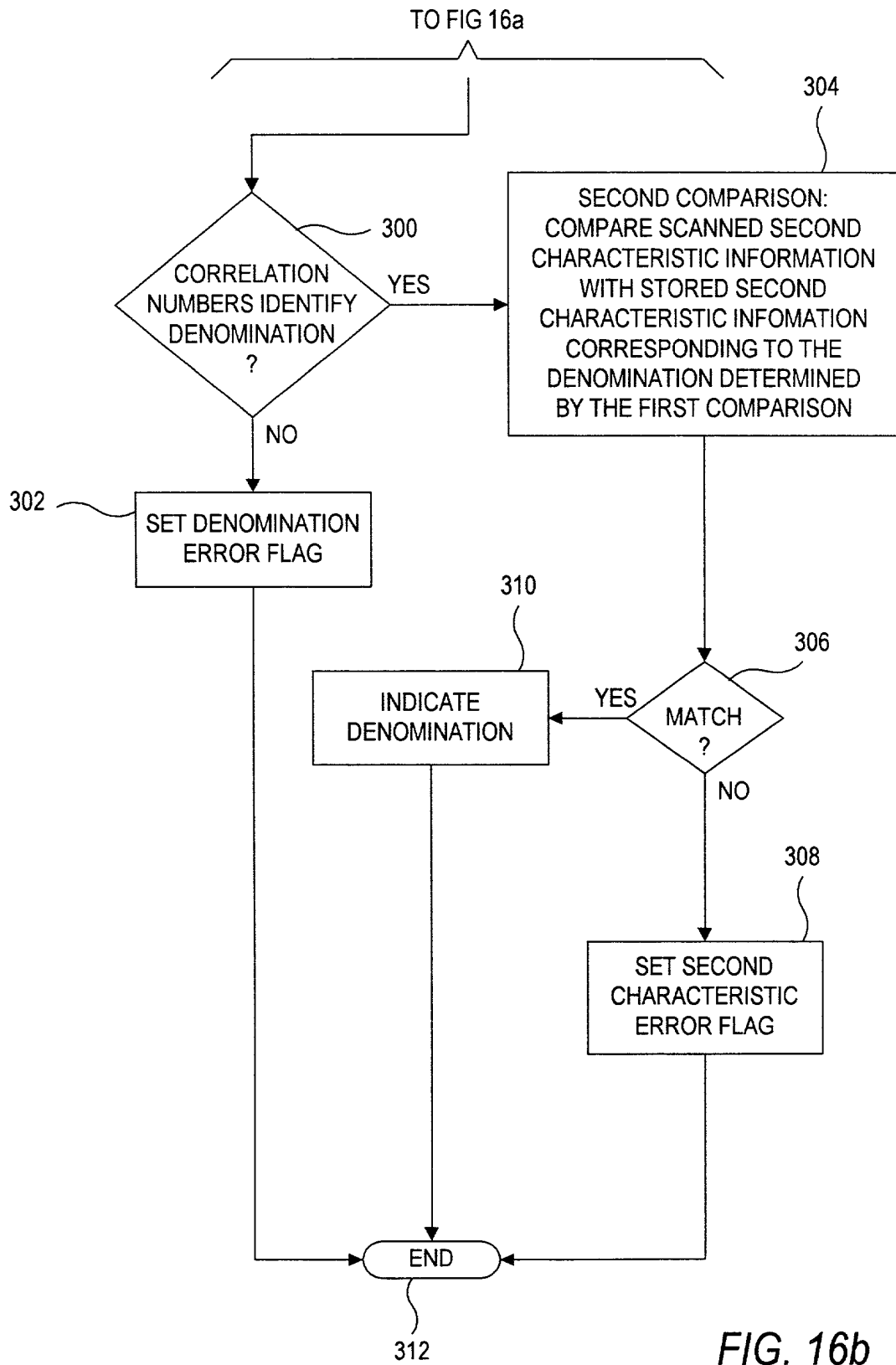


FIG. 16a



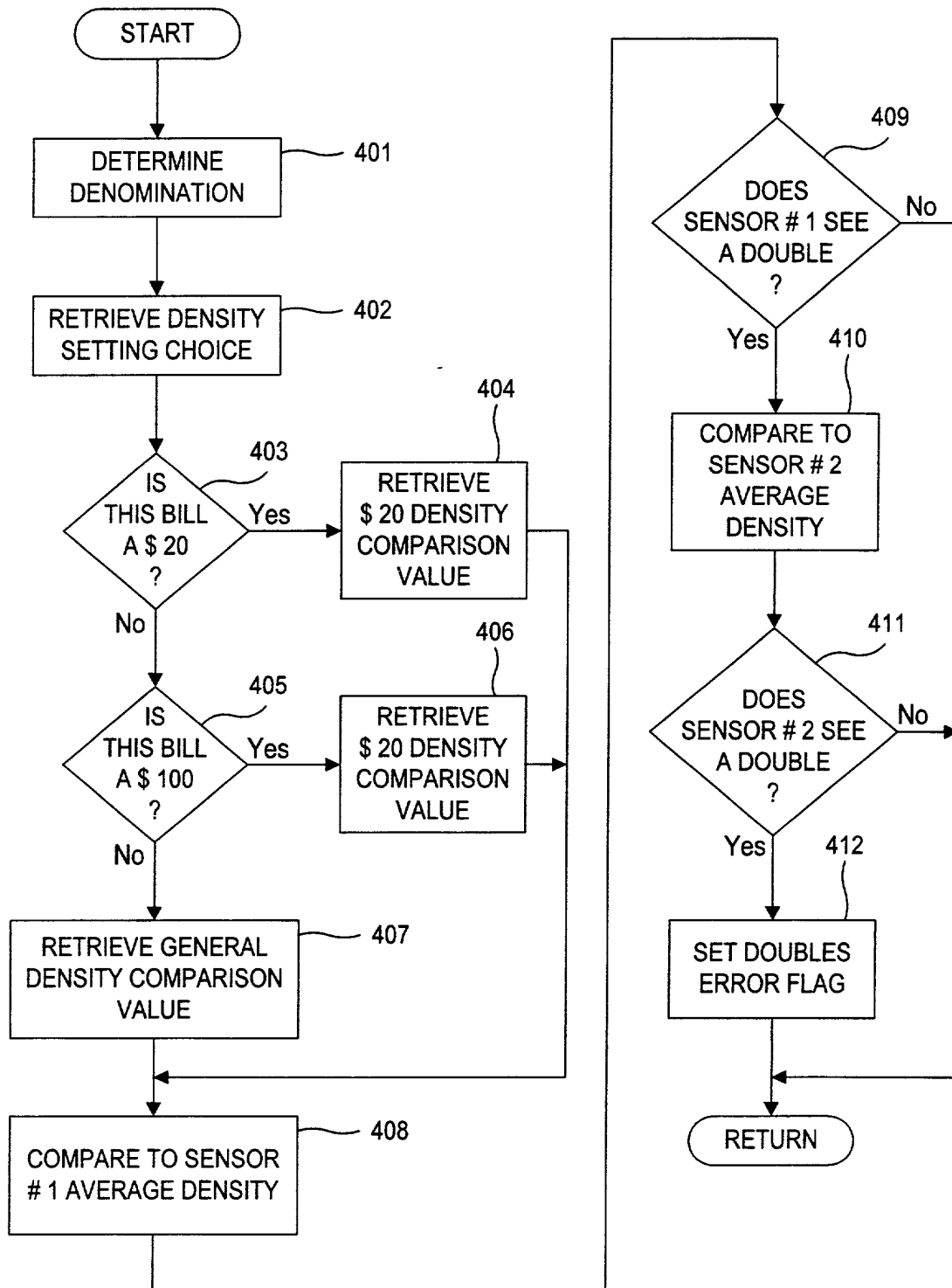


FIG. 17

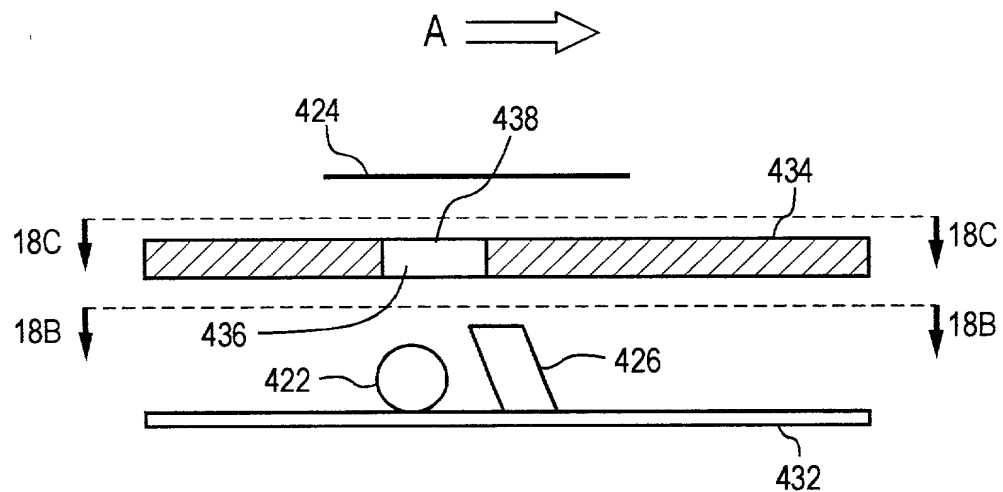


FIG. 18a

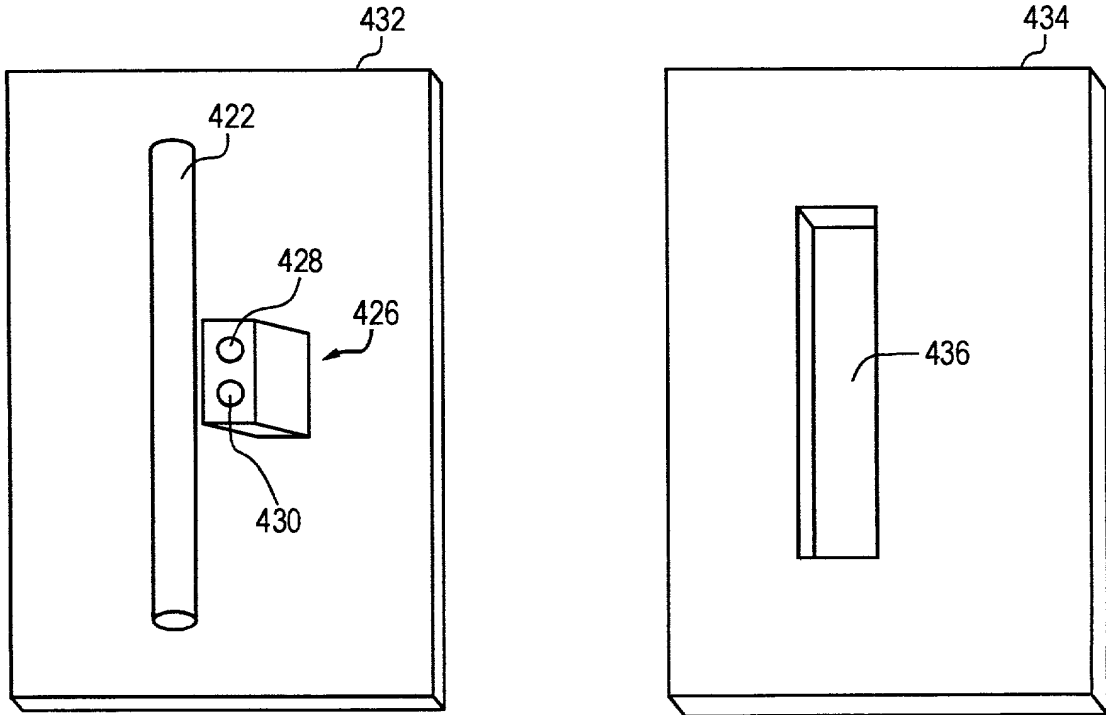


FIG. 18b

FIG. 18c

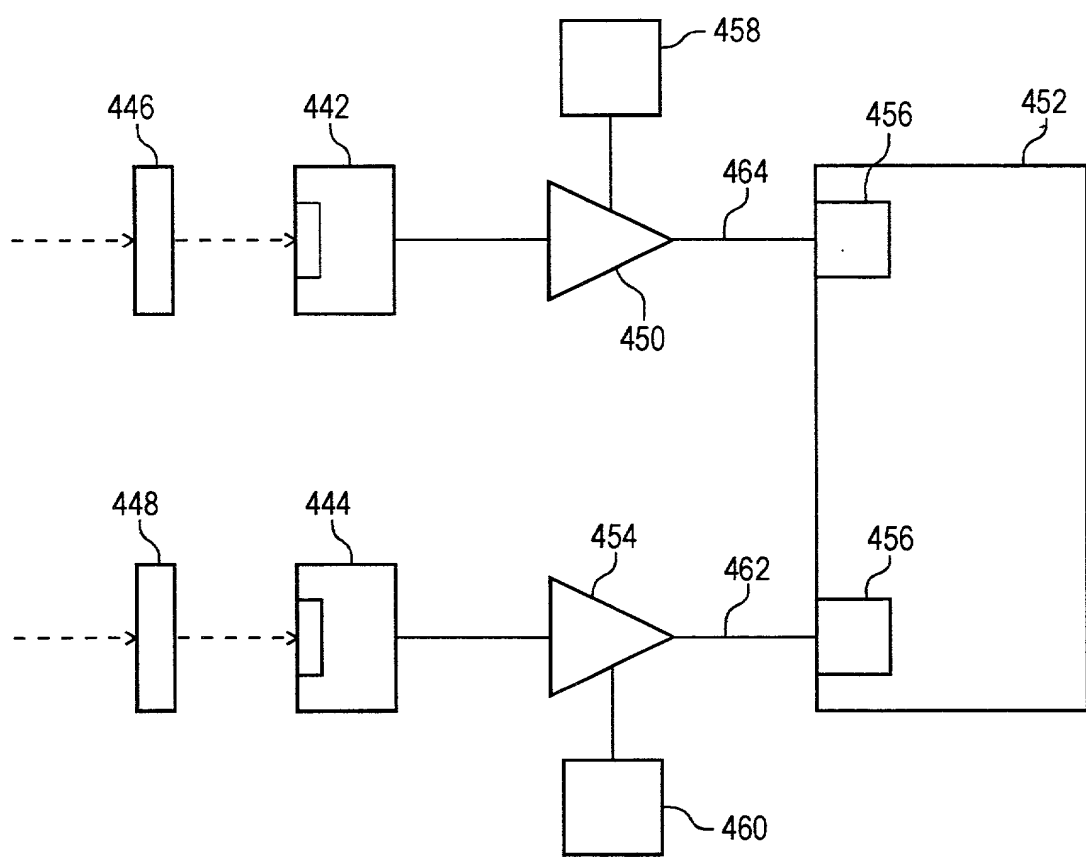


FIG. 19

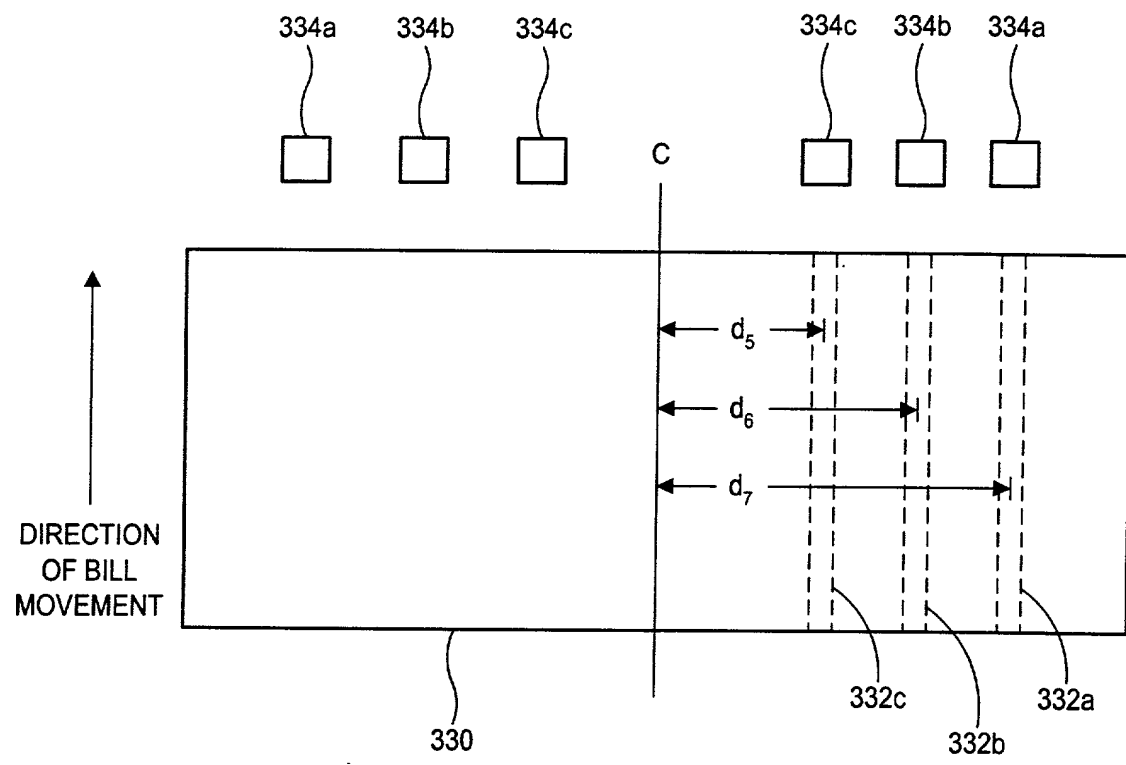


FIG. 20

44/85

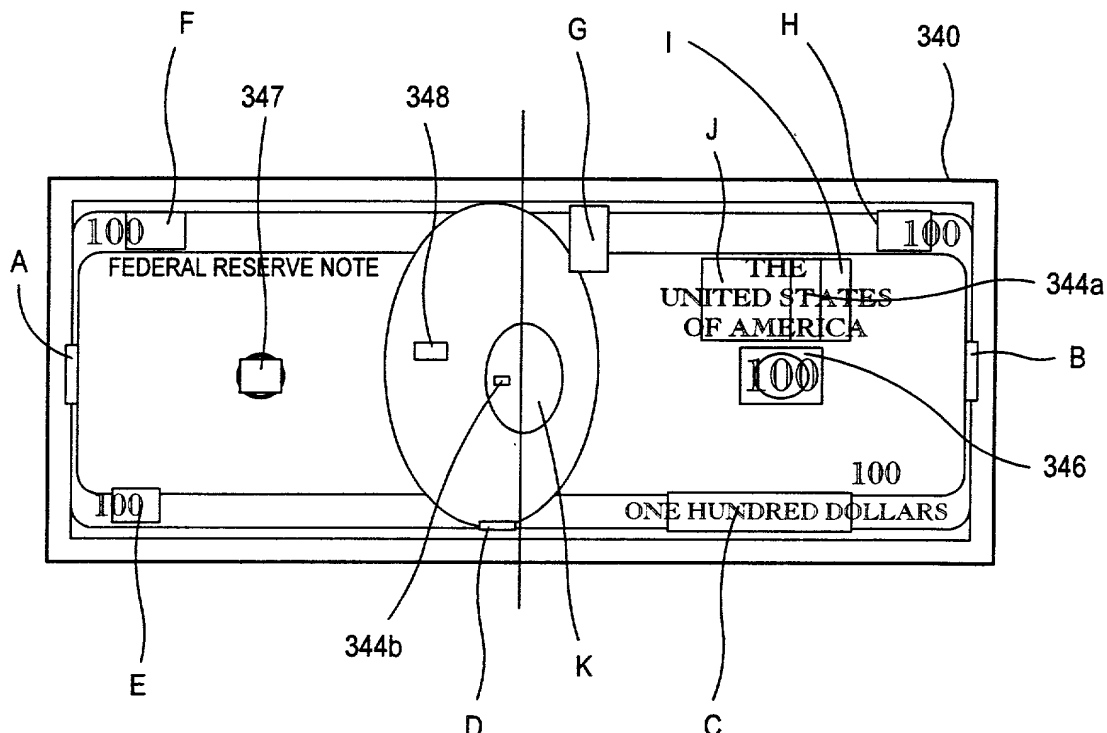


FIG. 21

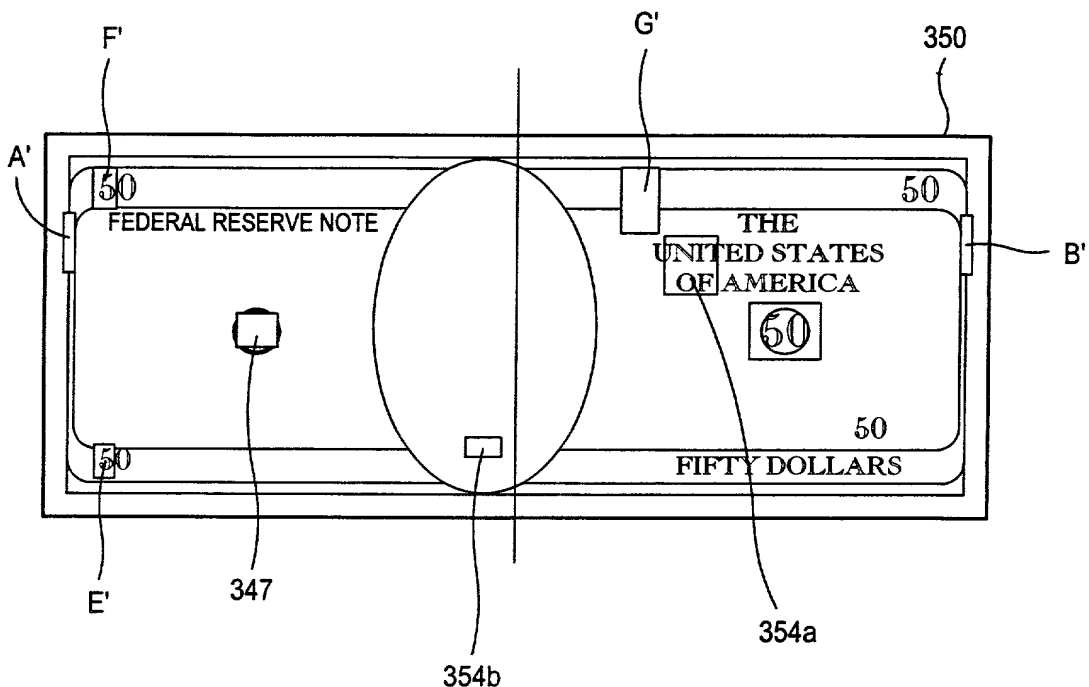


FIG. 22

100\$34856.022303

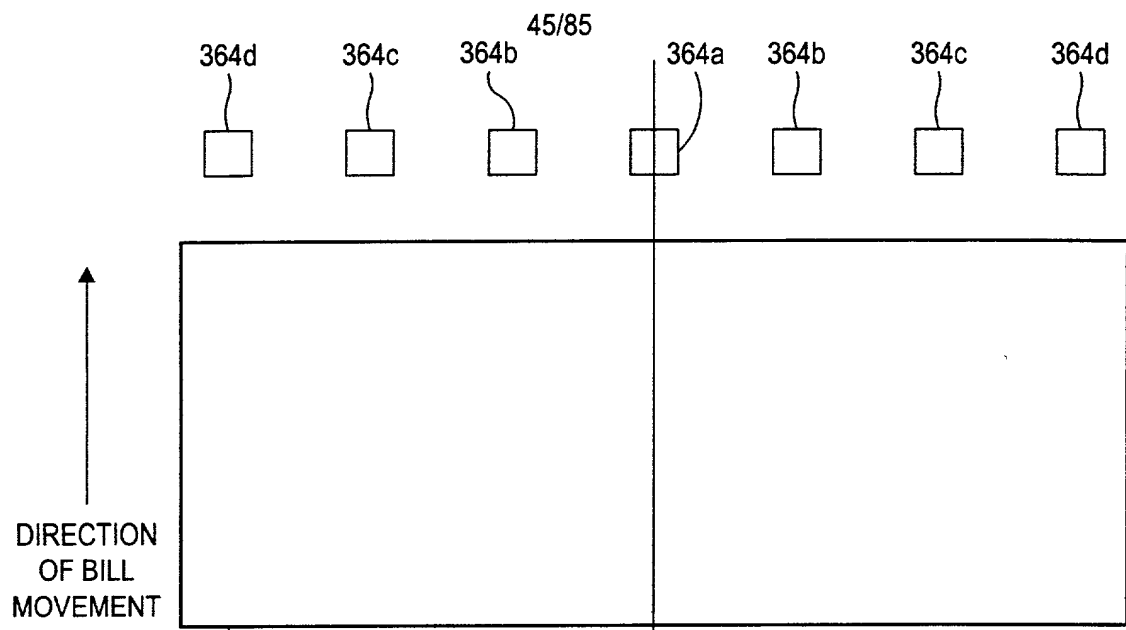


FIG. 23

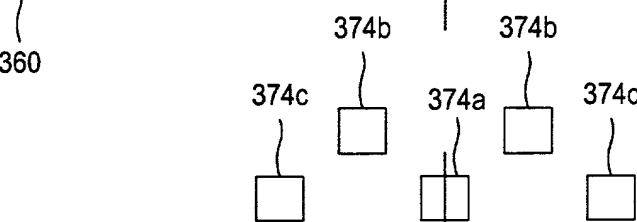
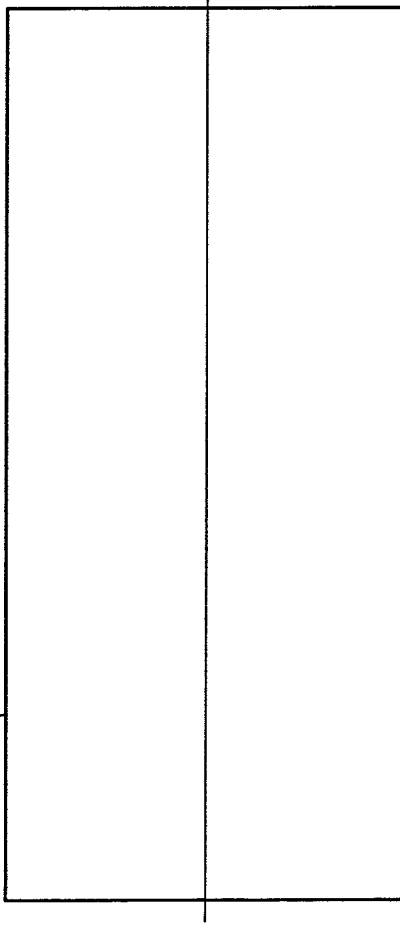


FIG. 24

370



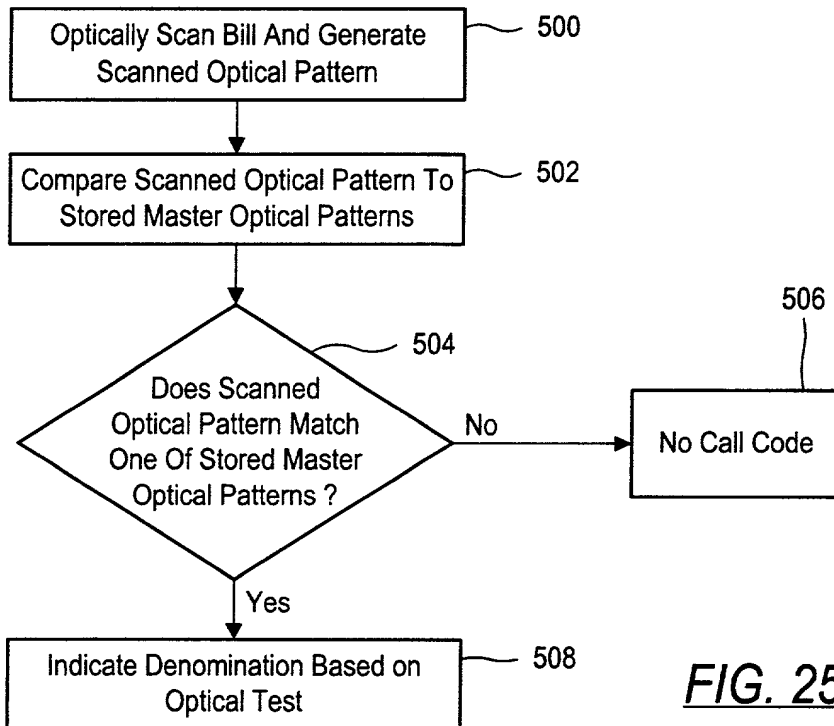


FIG. 25

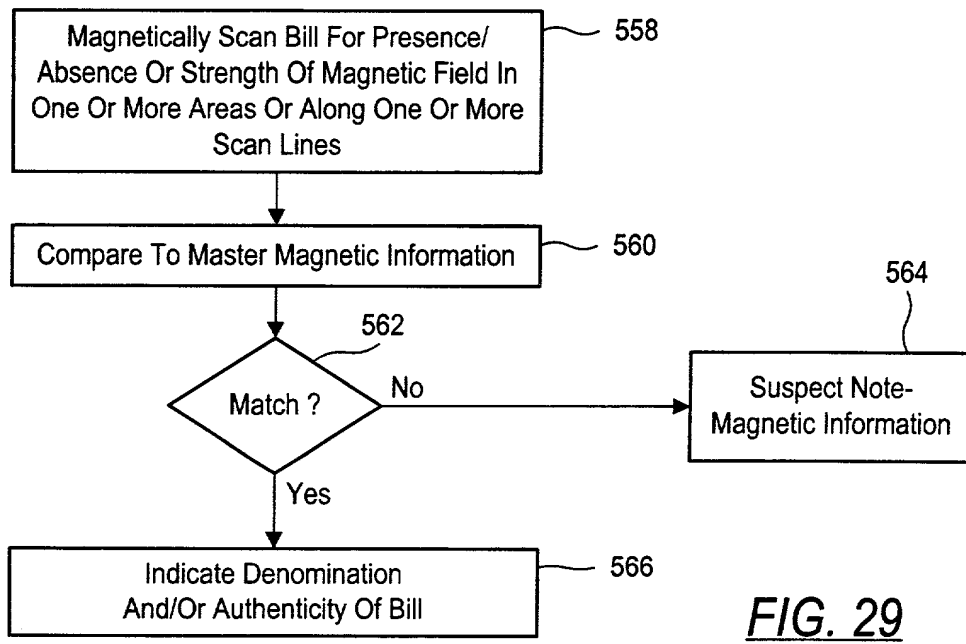


FIG. 29

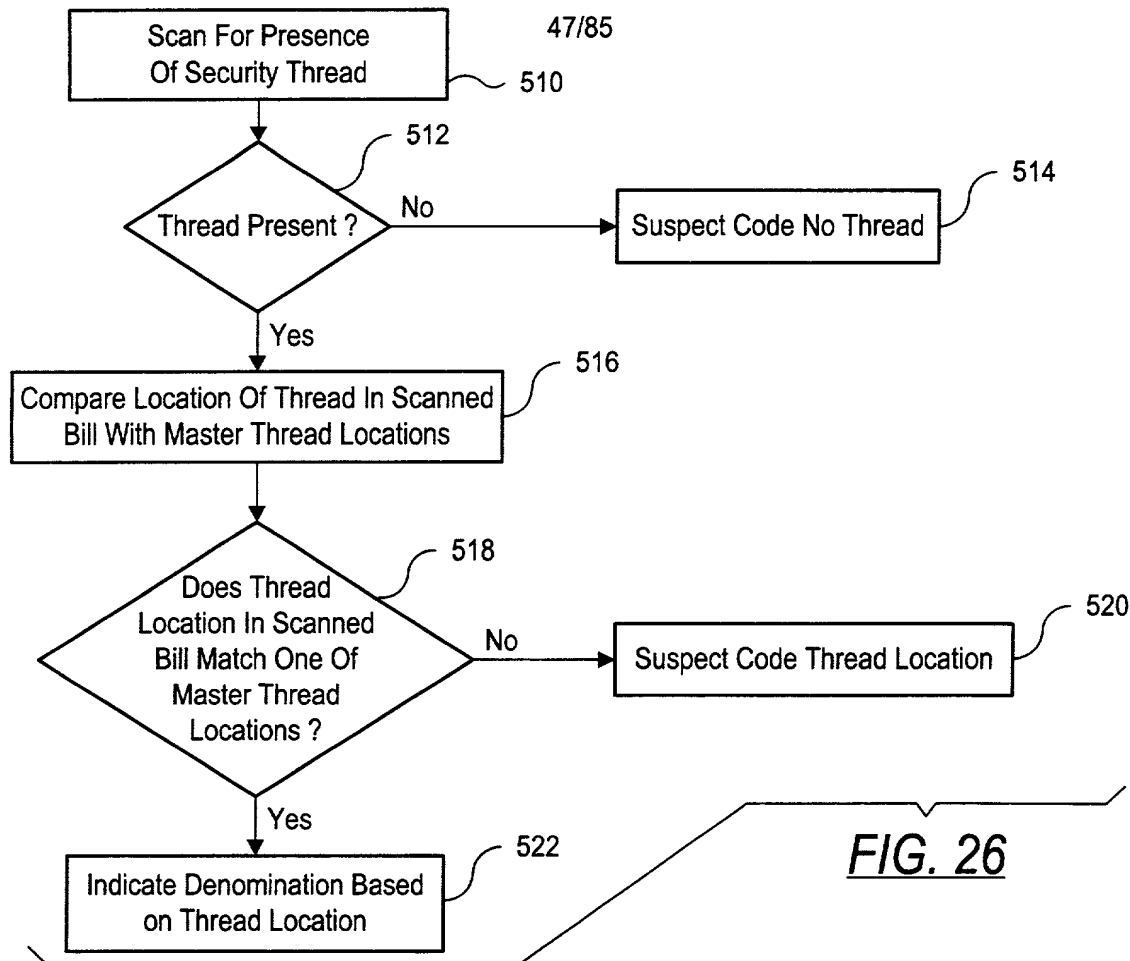


FIG. 26

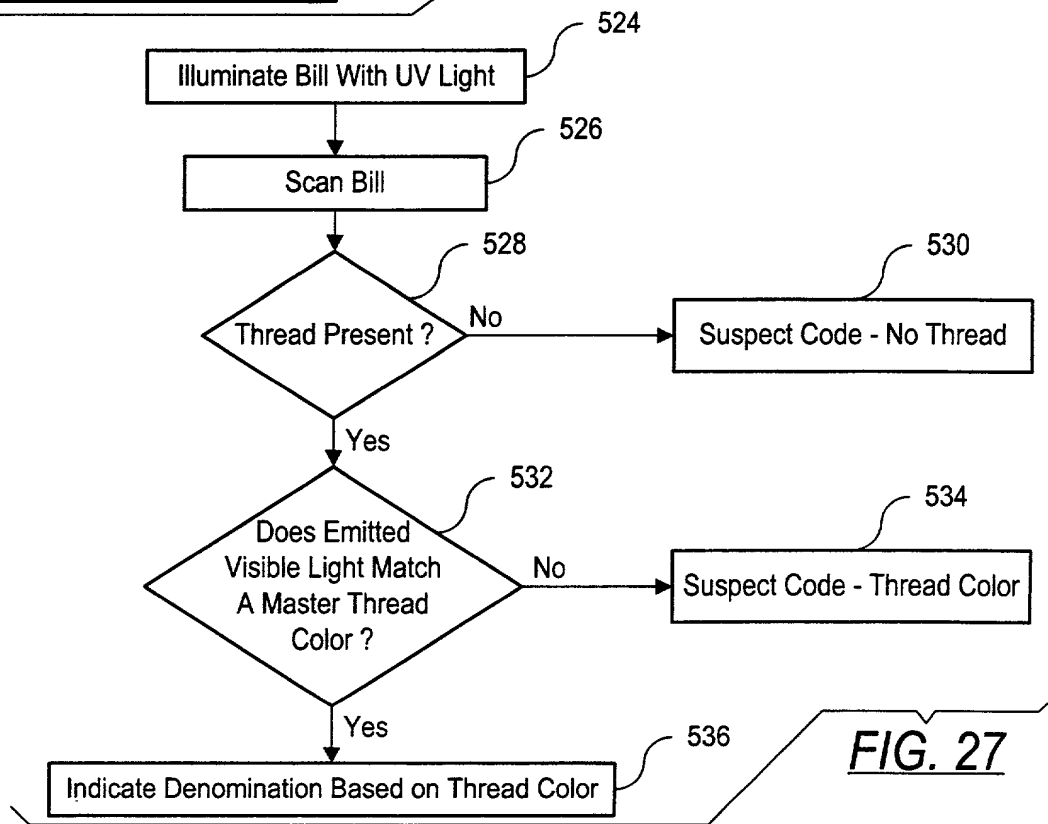


FIG. 27

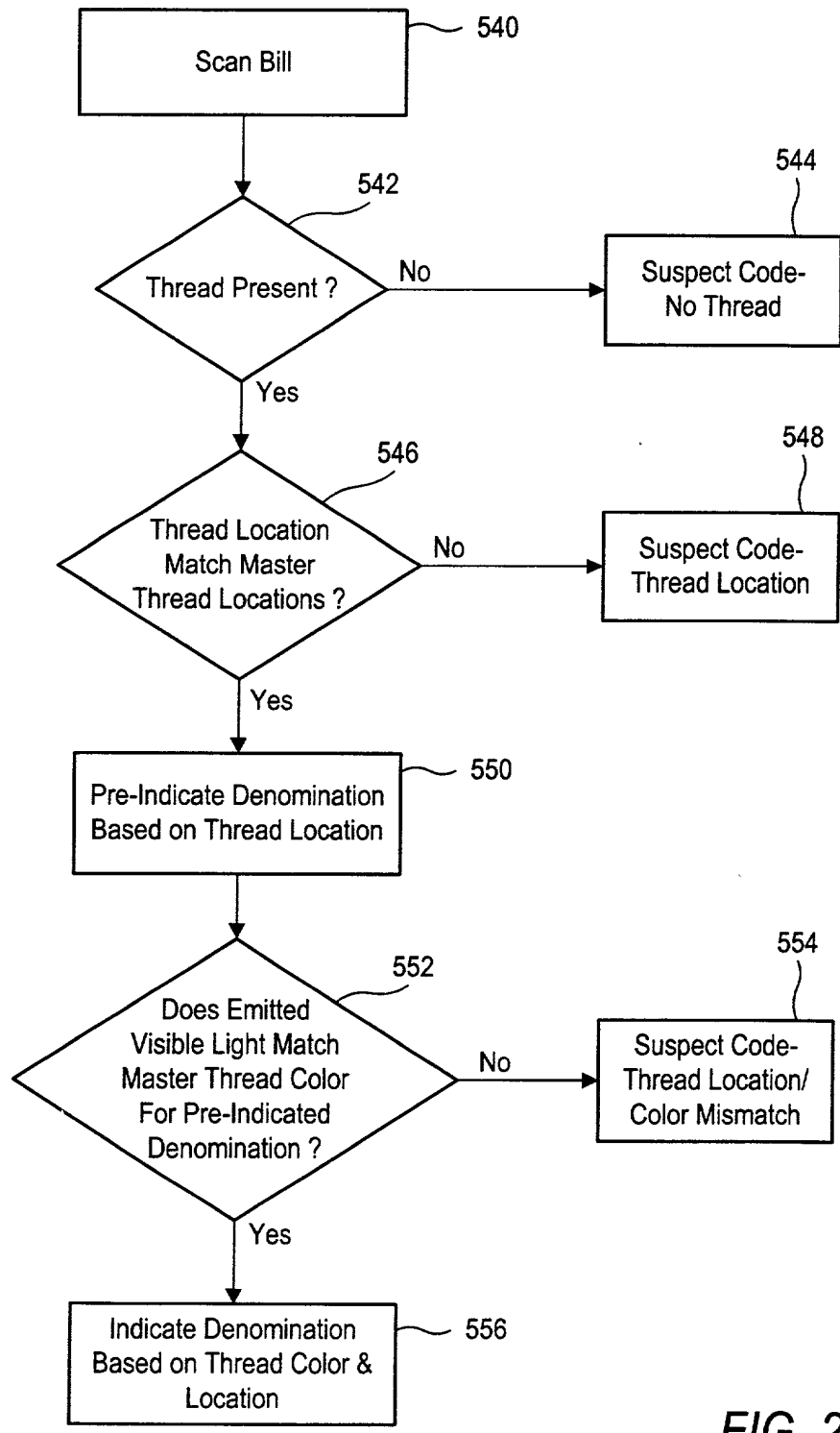
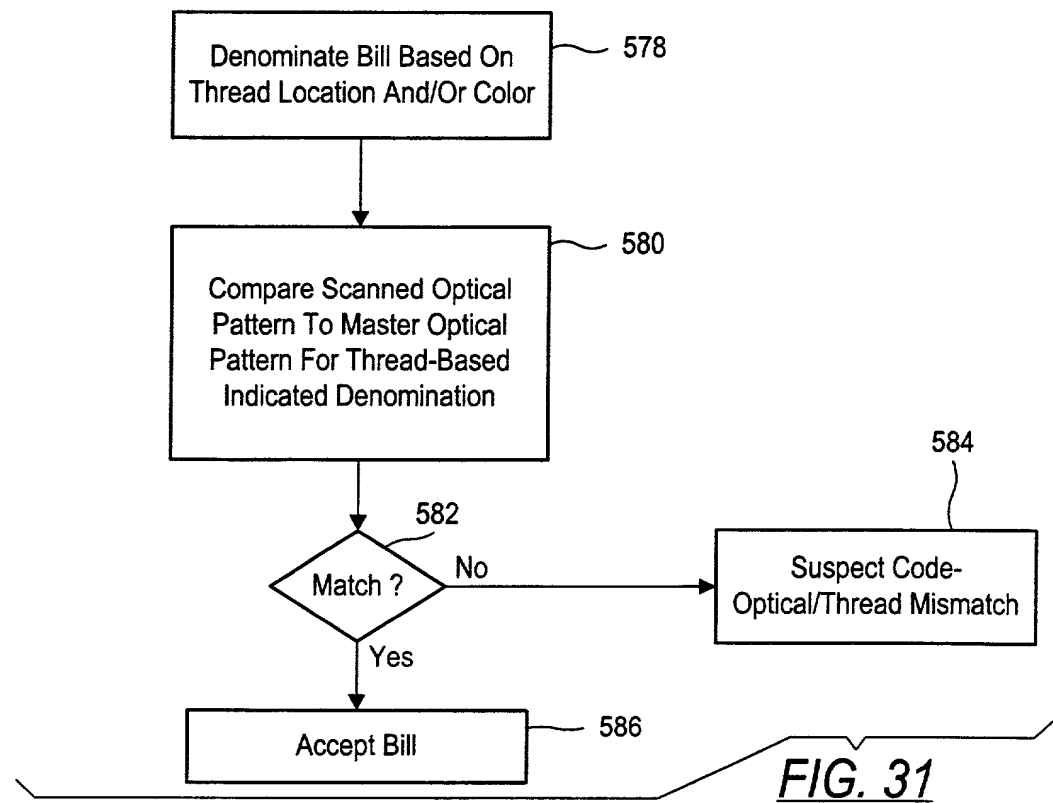
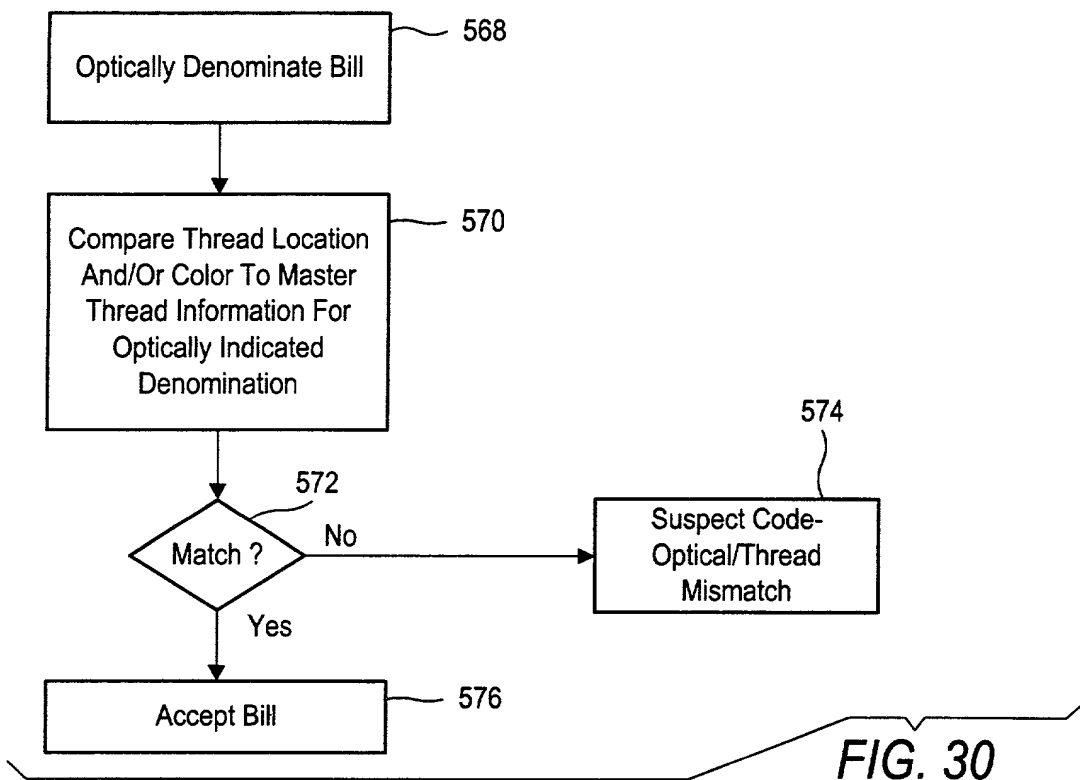
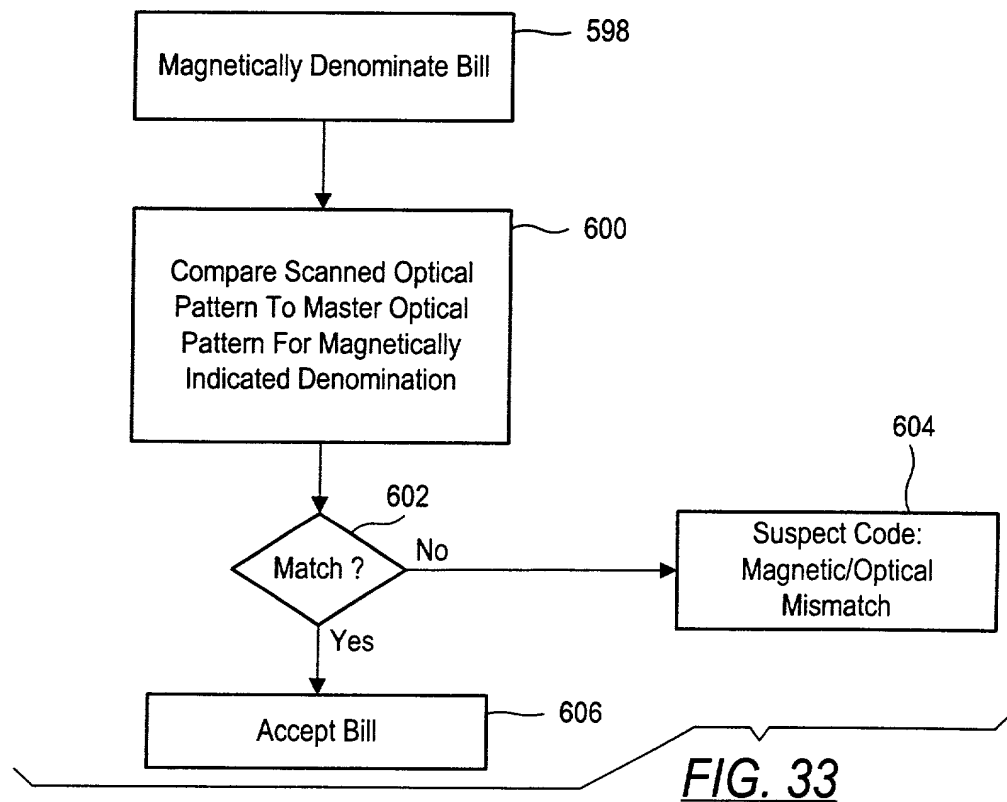
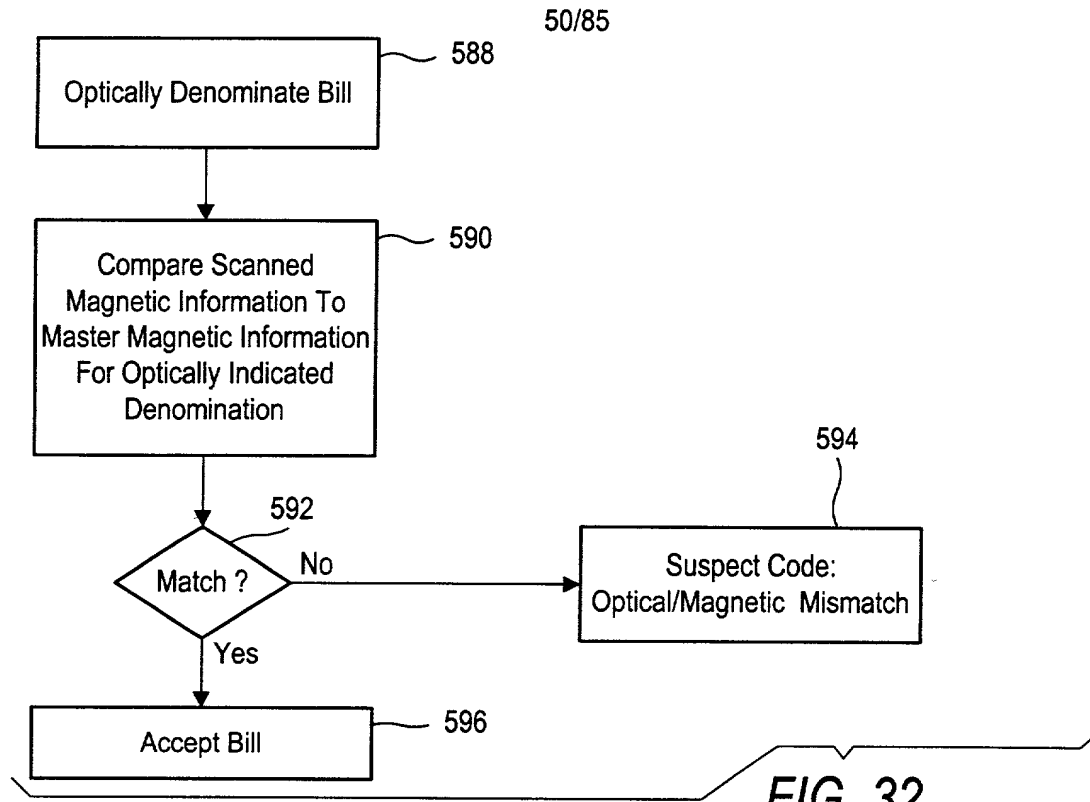


FIG. 28





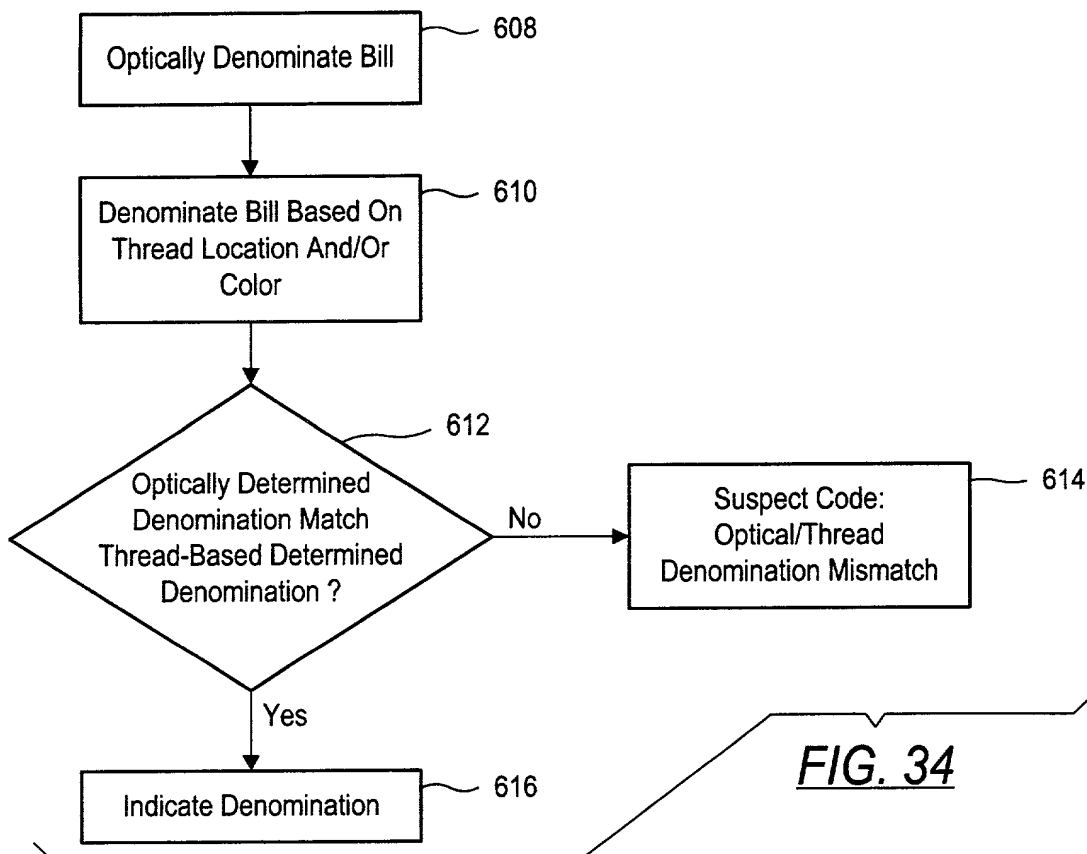


FIG. 34

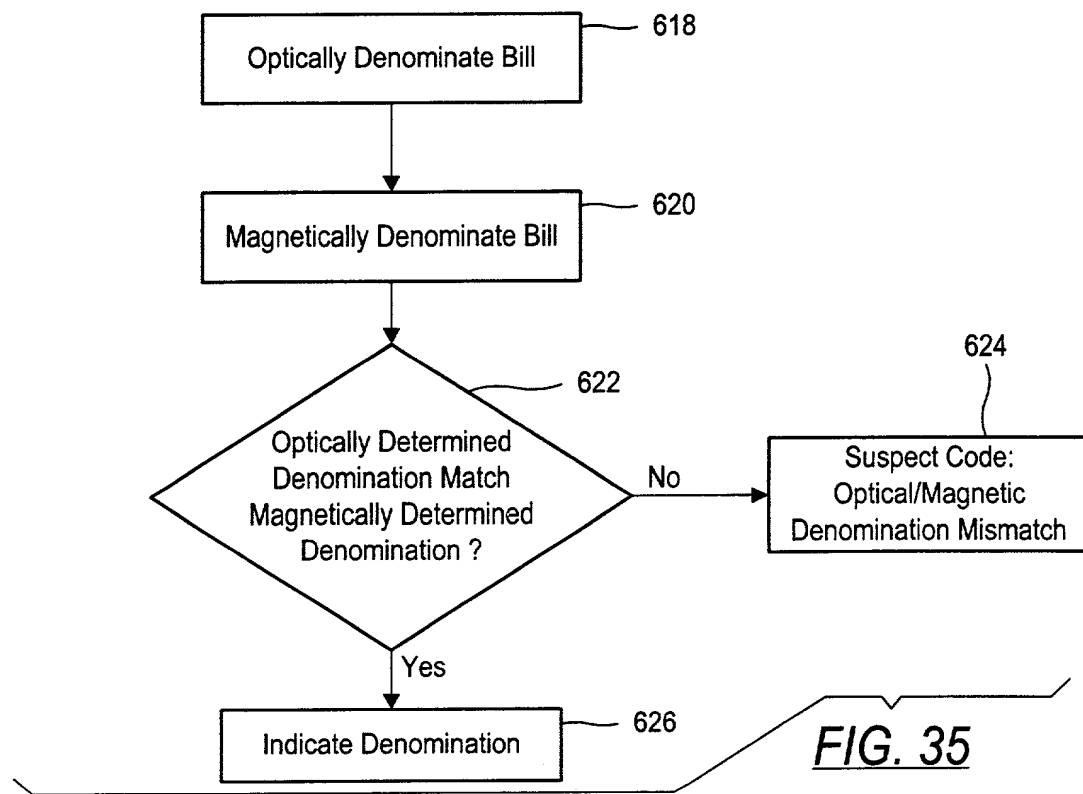


FIG. 35

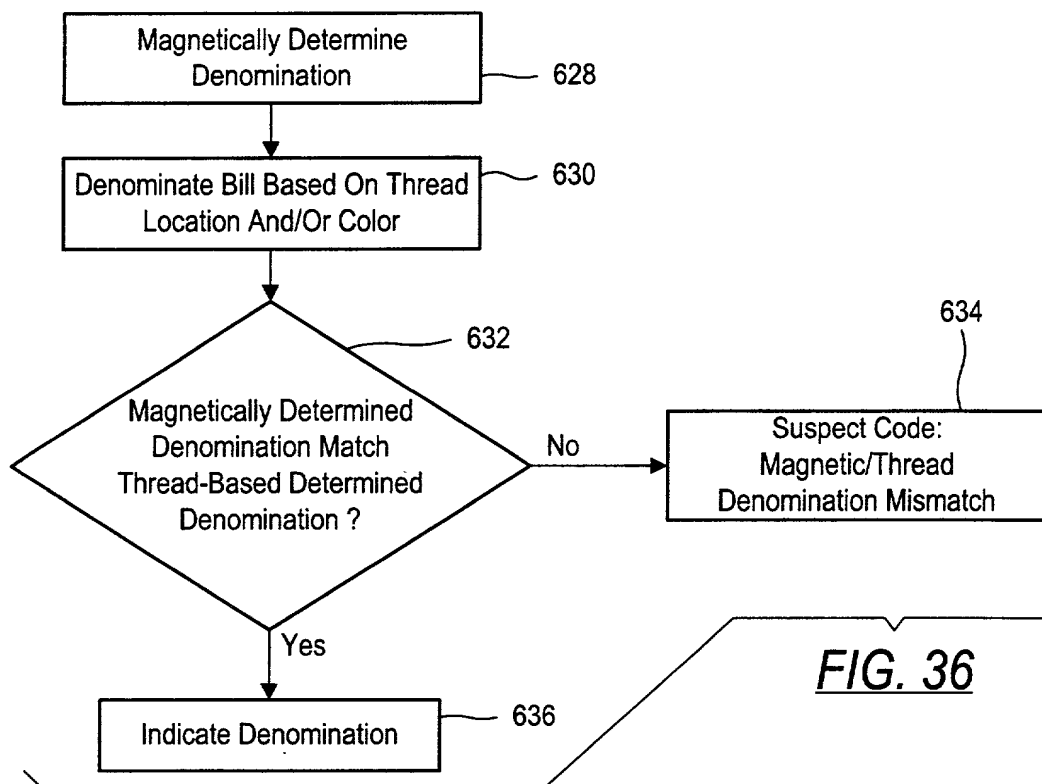


FIG. 36

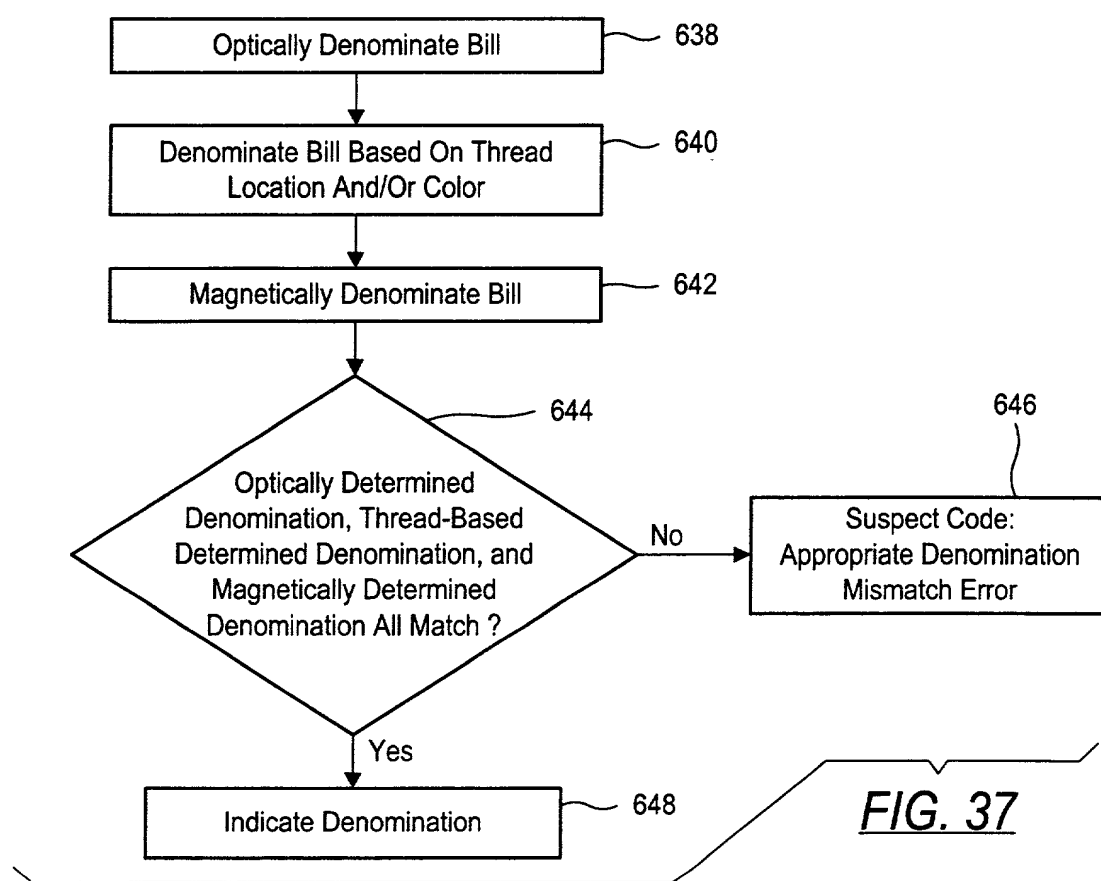


FIG. 37

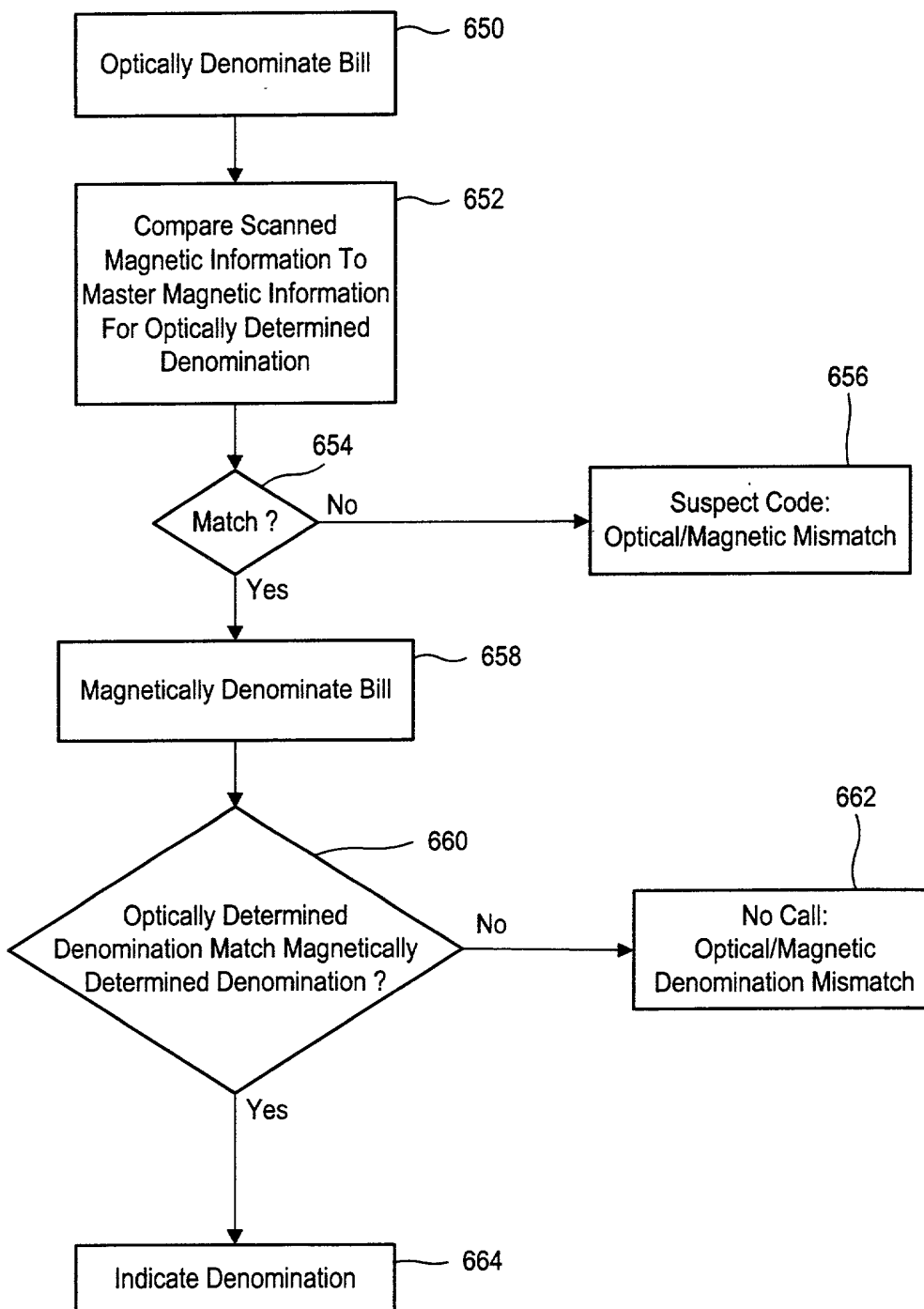


FIG. 38

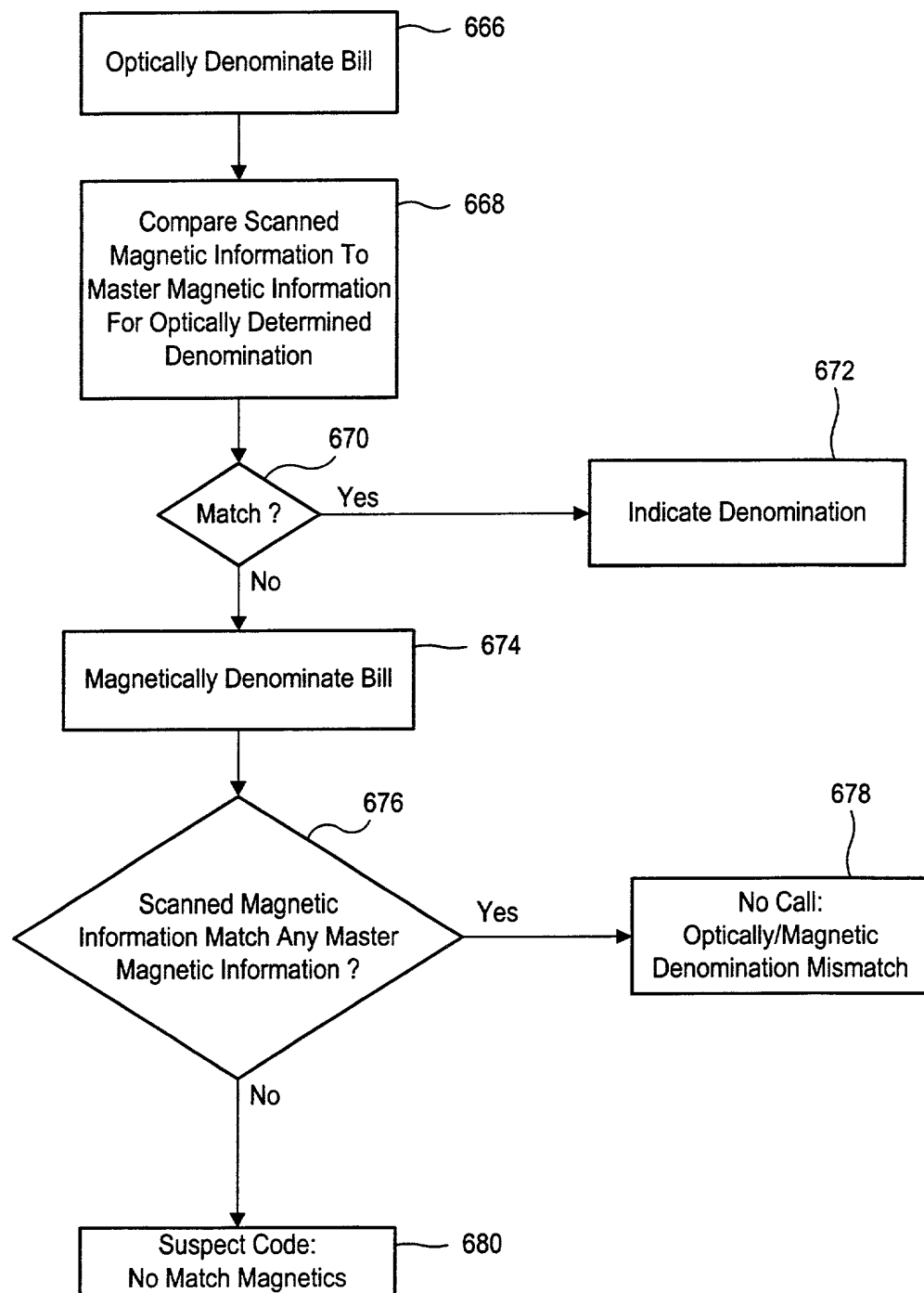


FIG. 39

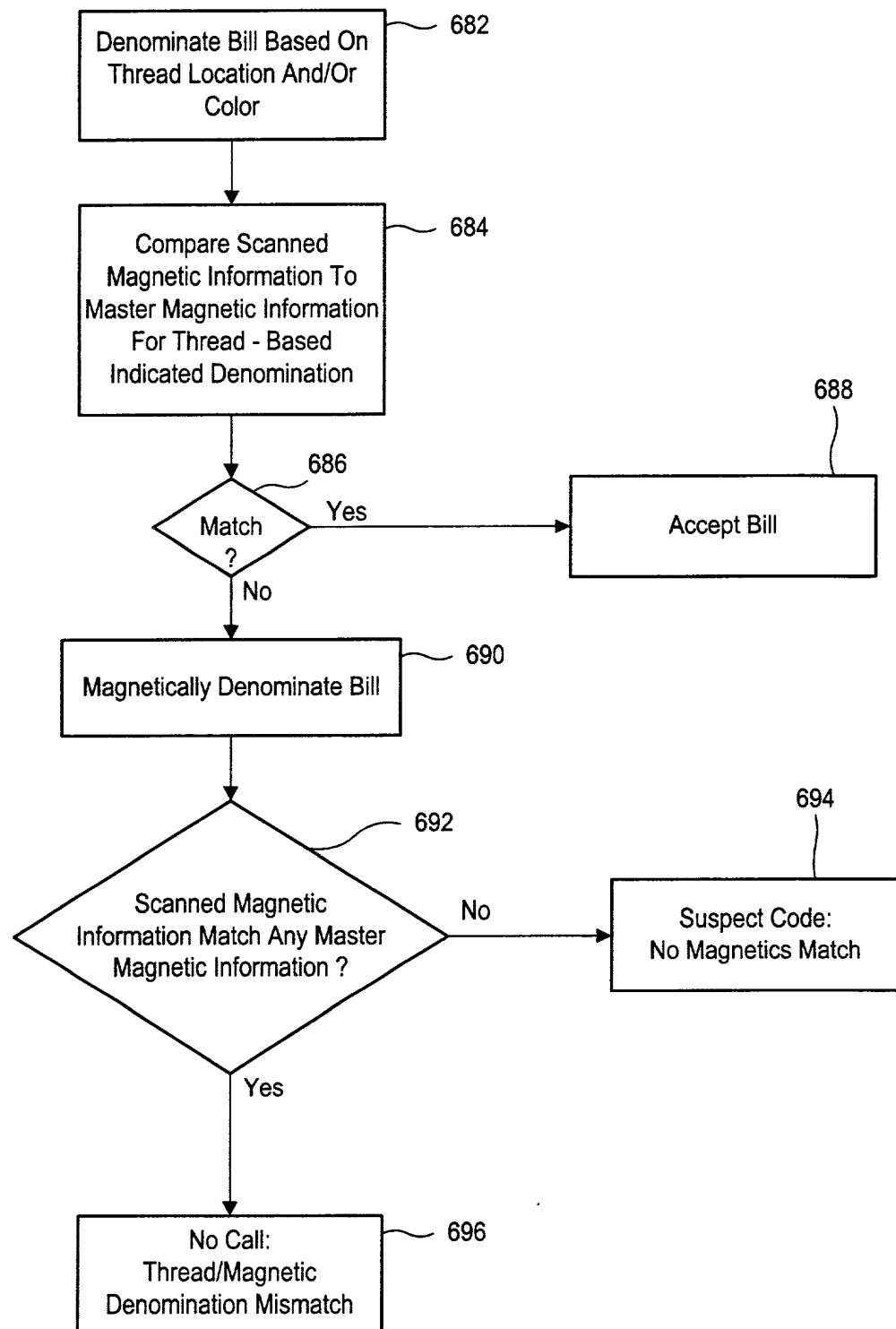


FIG. 40

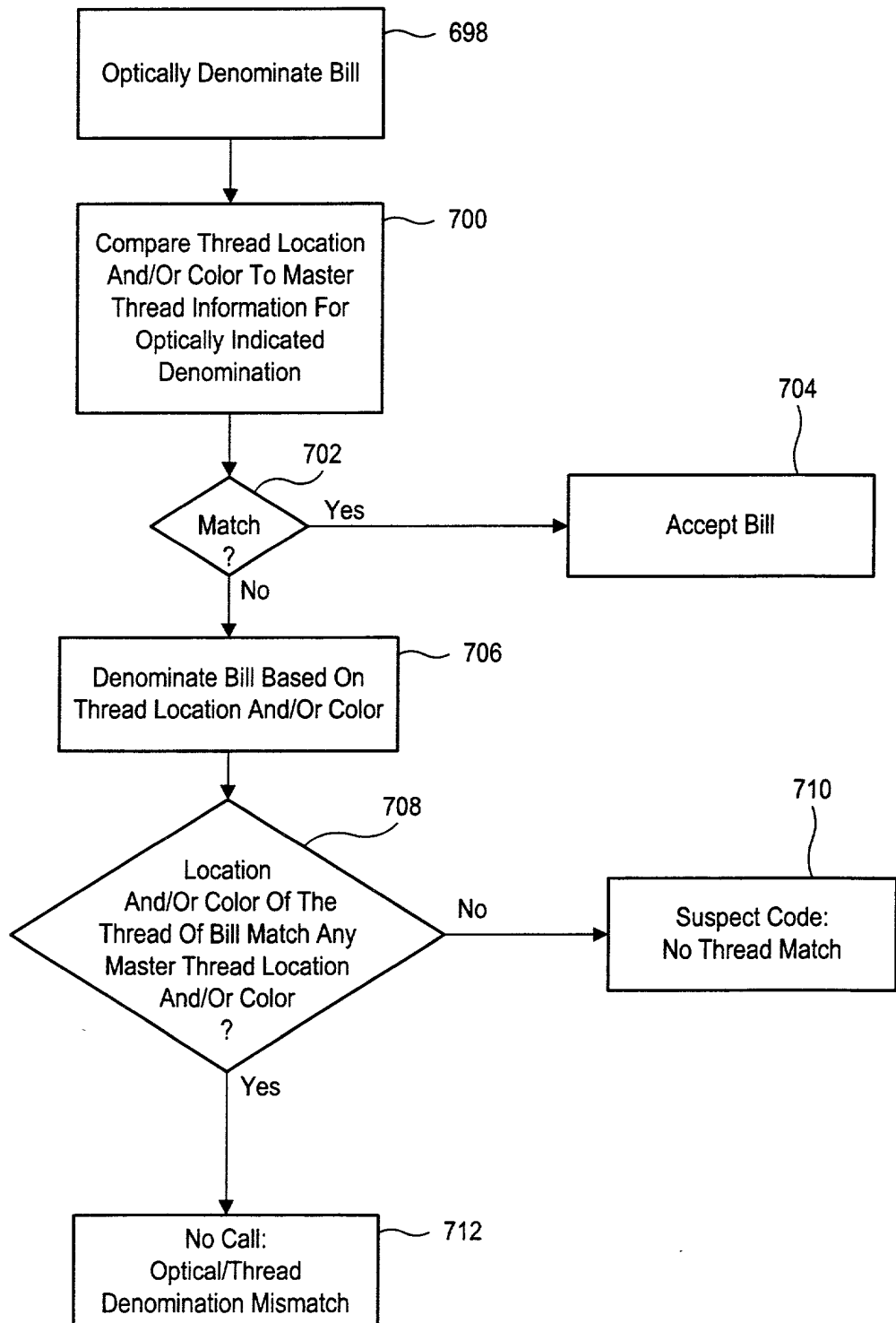


FIG. 41

100164855 0223000

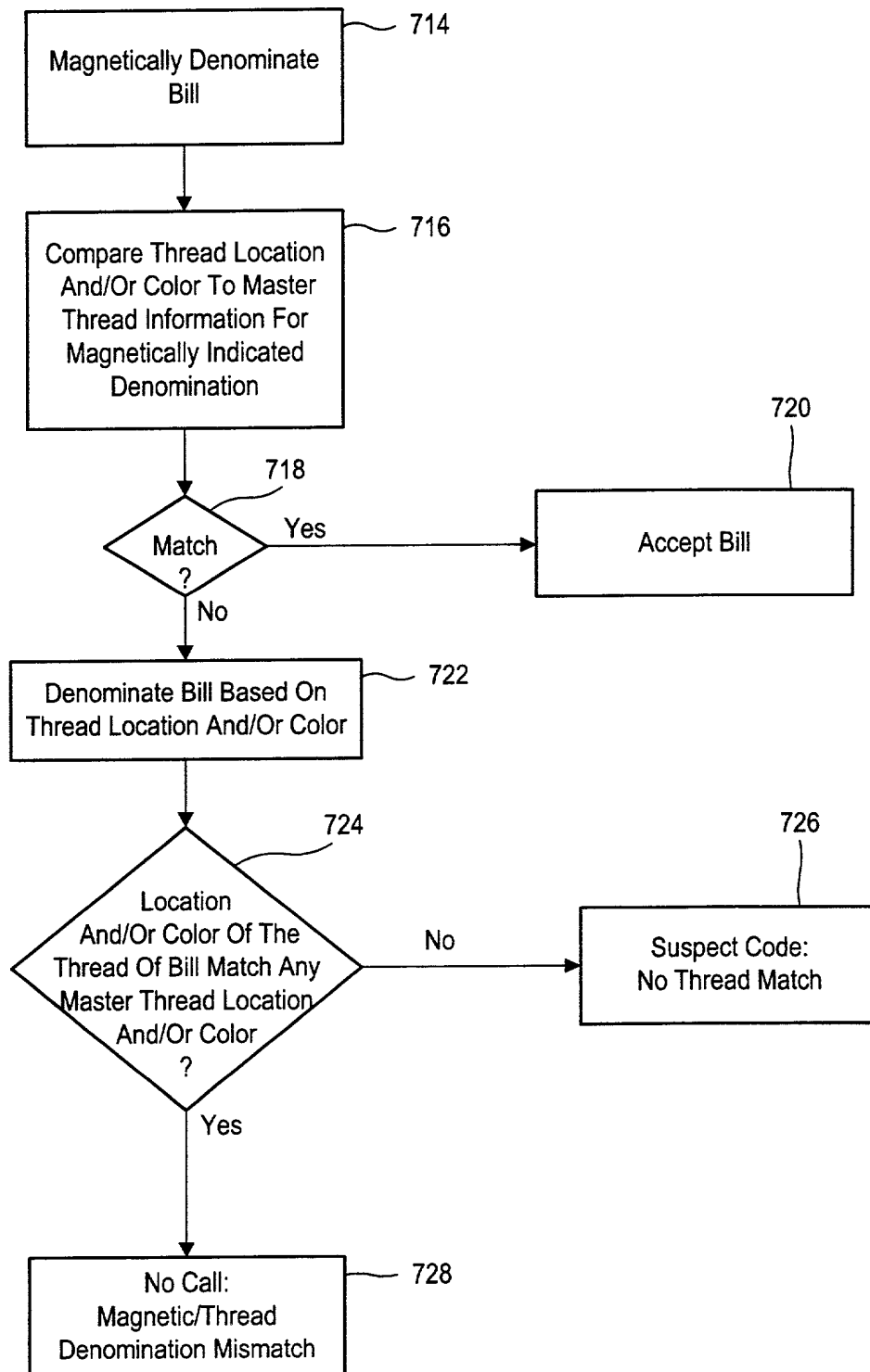


FIG. 42

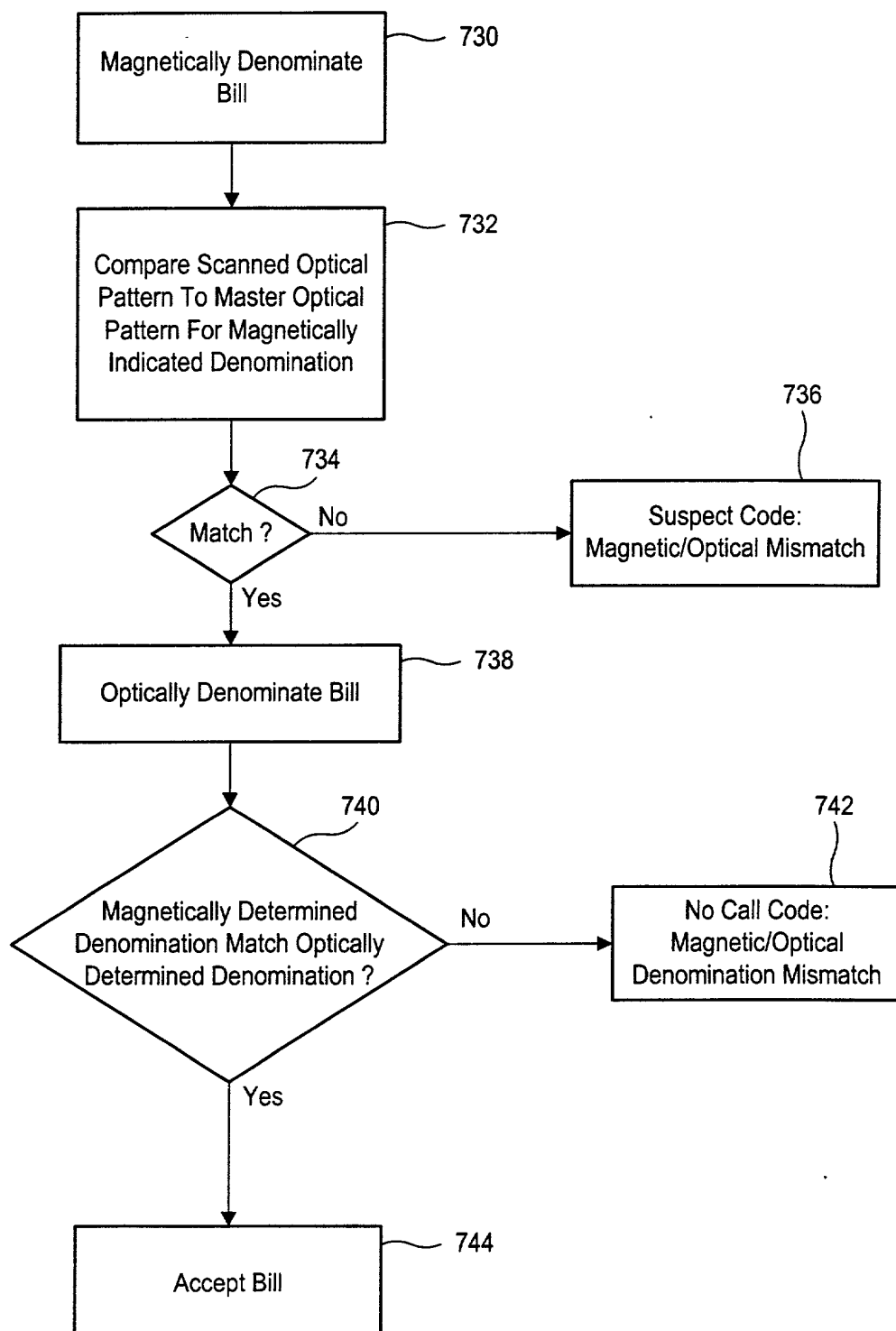


FIG. 43

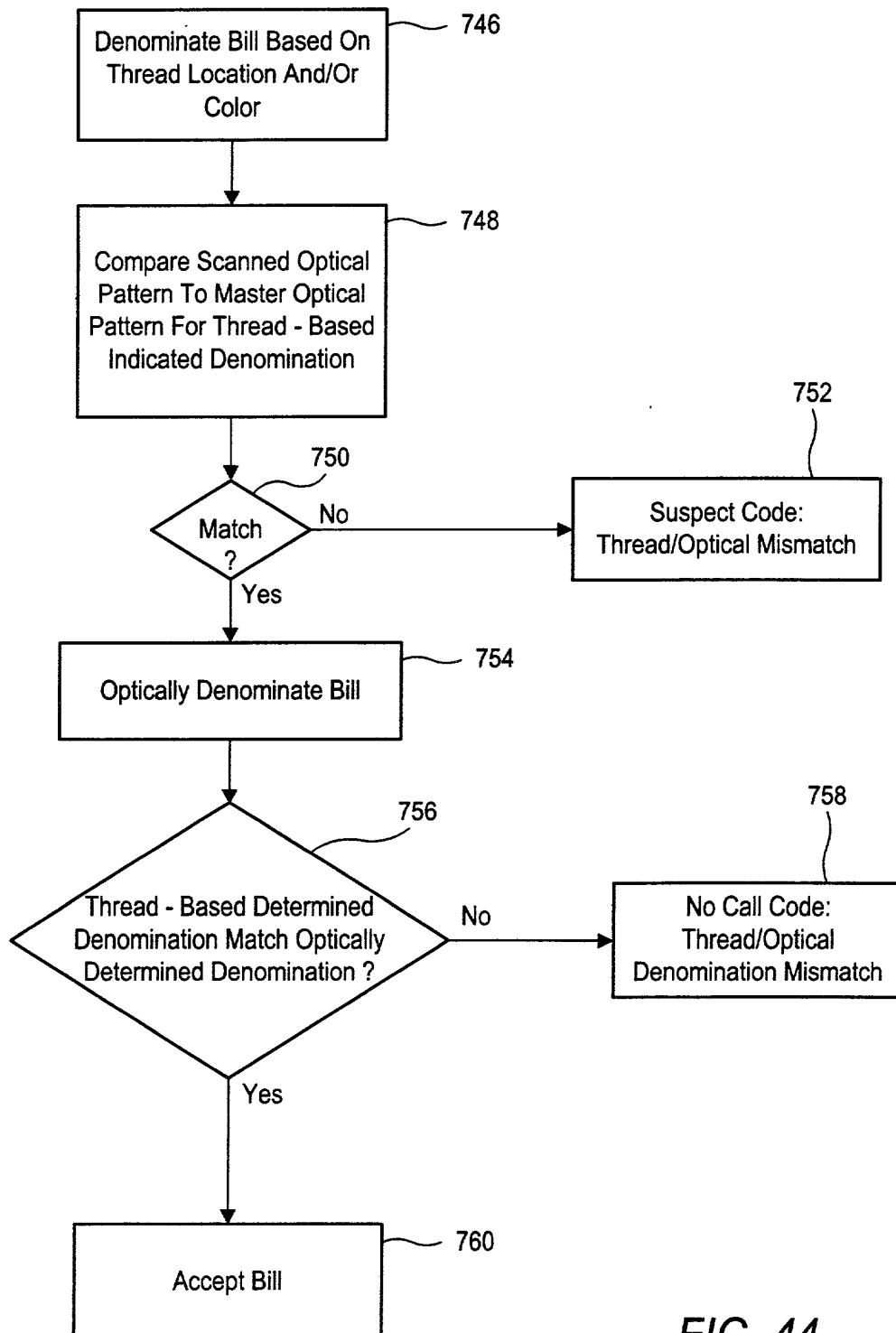


FIG. 44

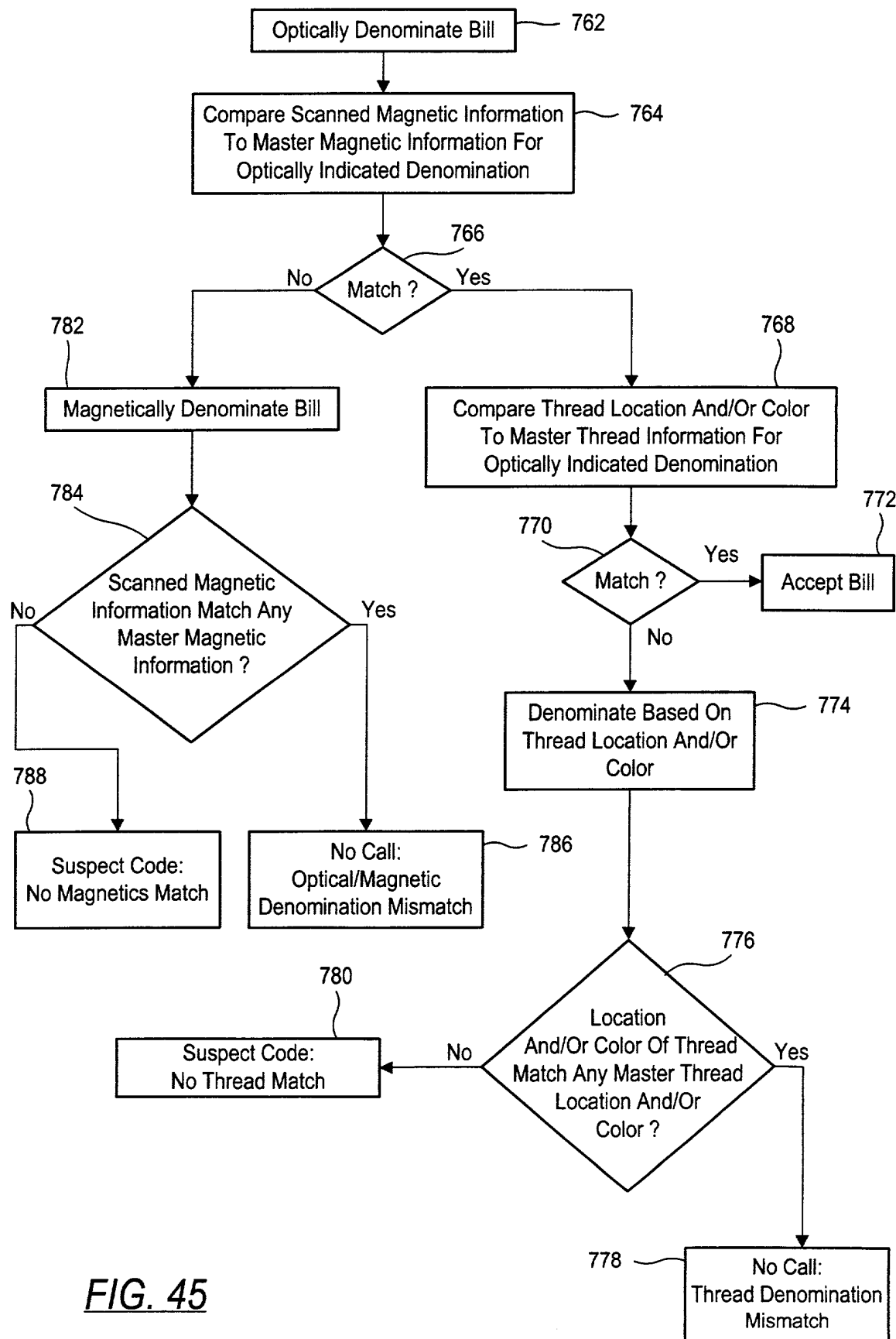


FIG. 45

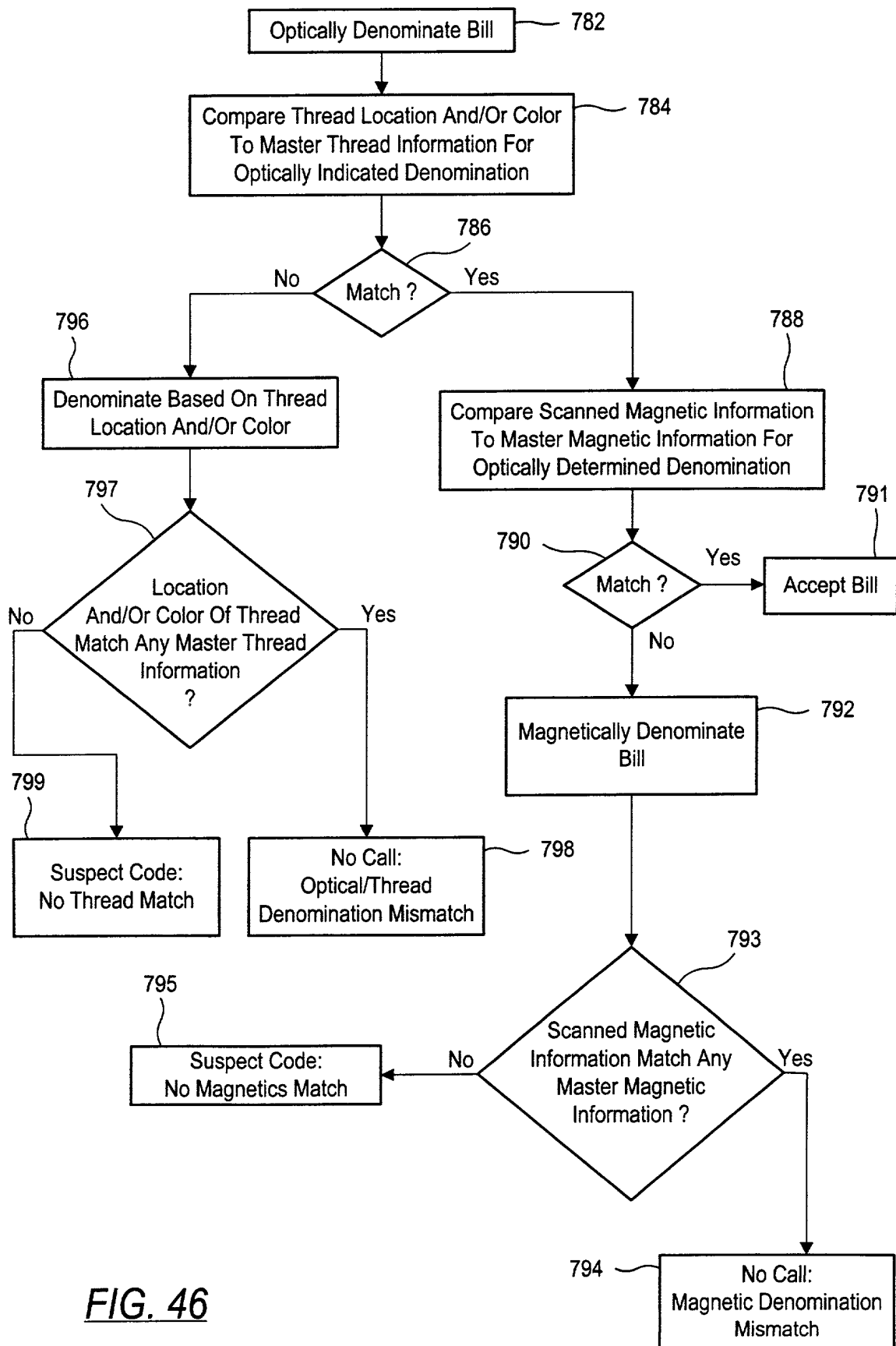


FIG. 46

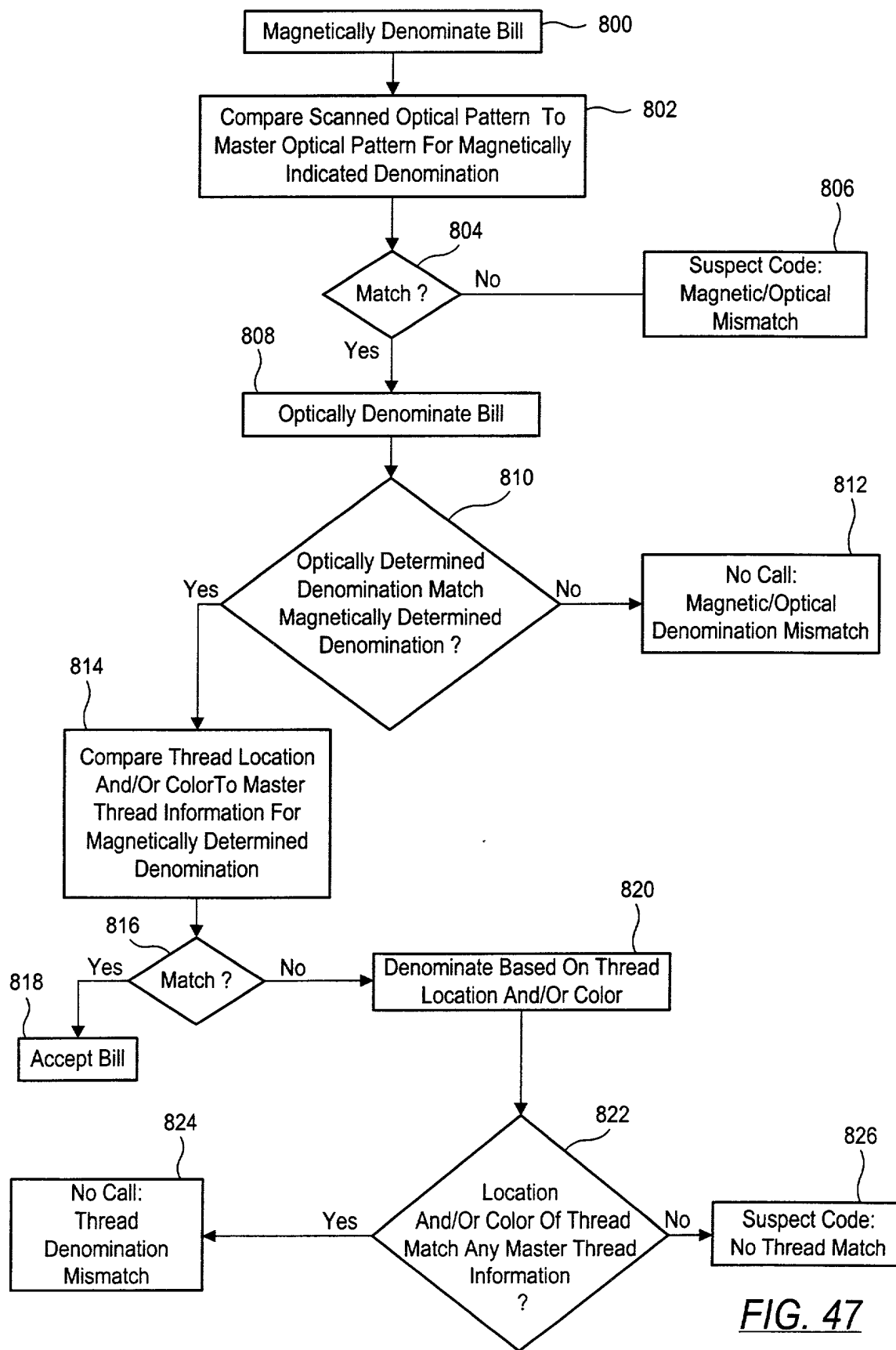


FIG. 47

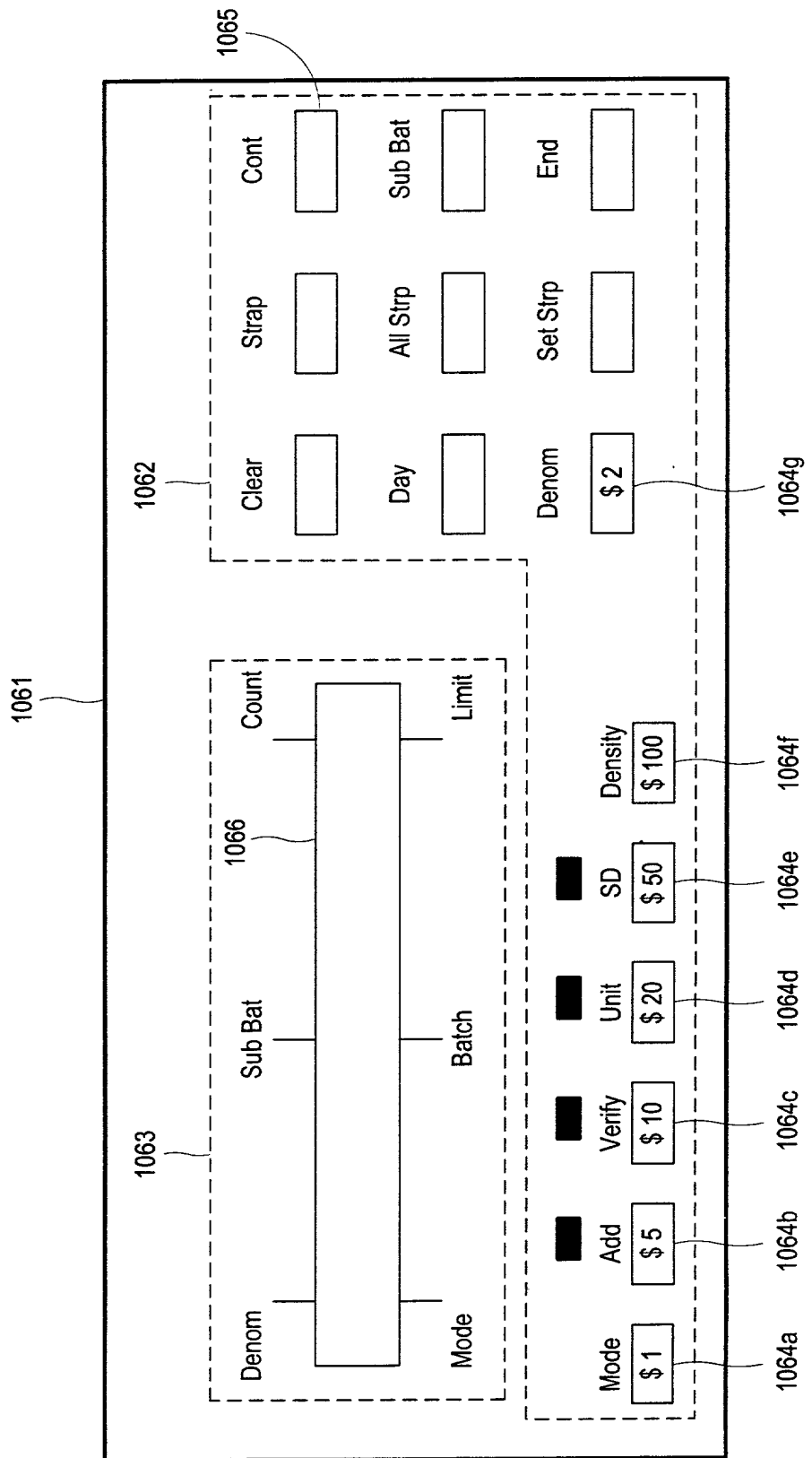


FIG. 48a

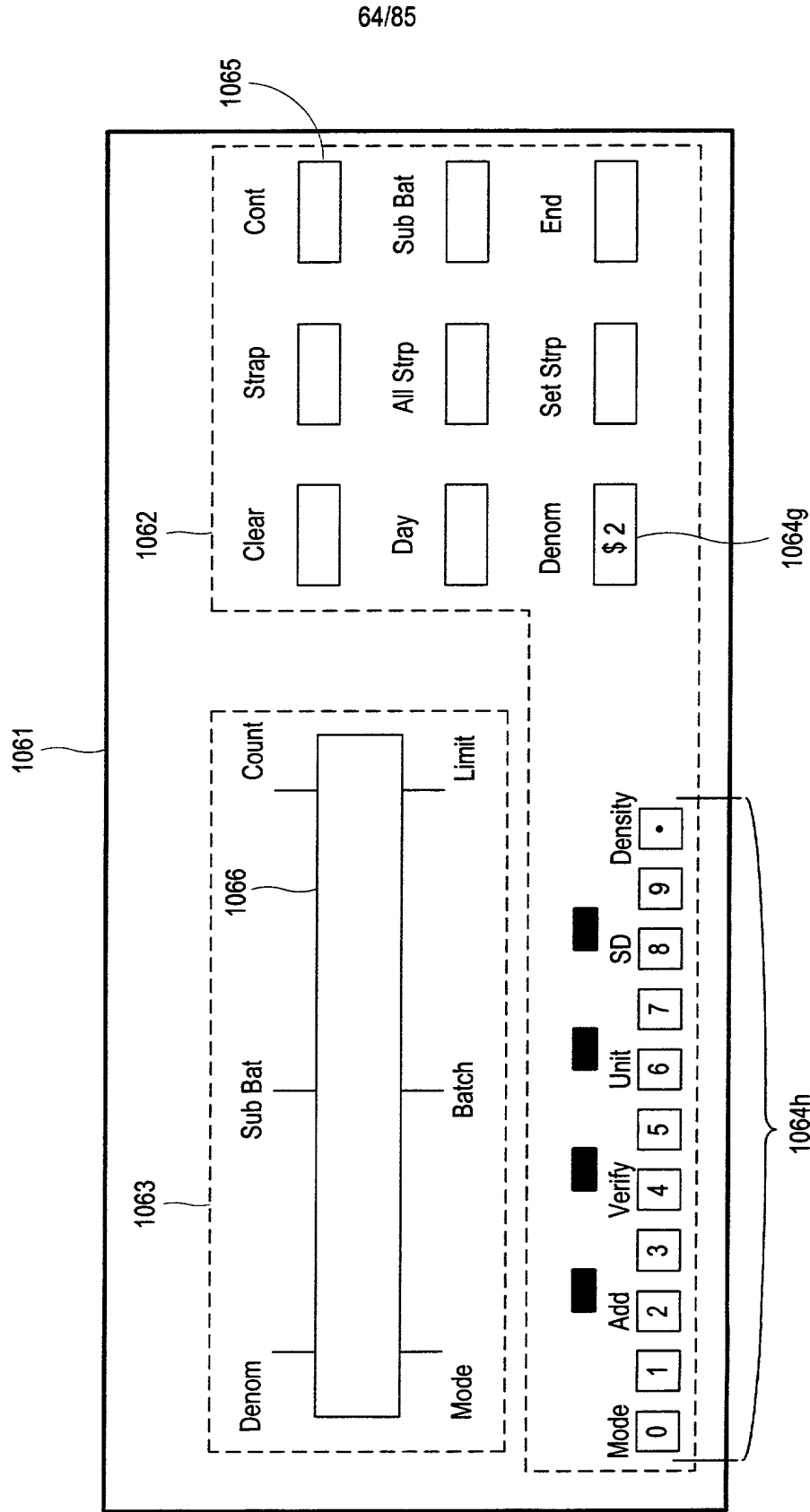


FIG. 48b

65/85

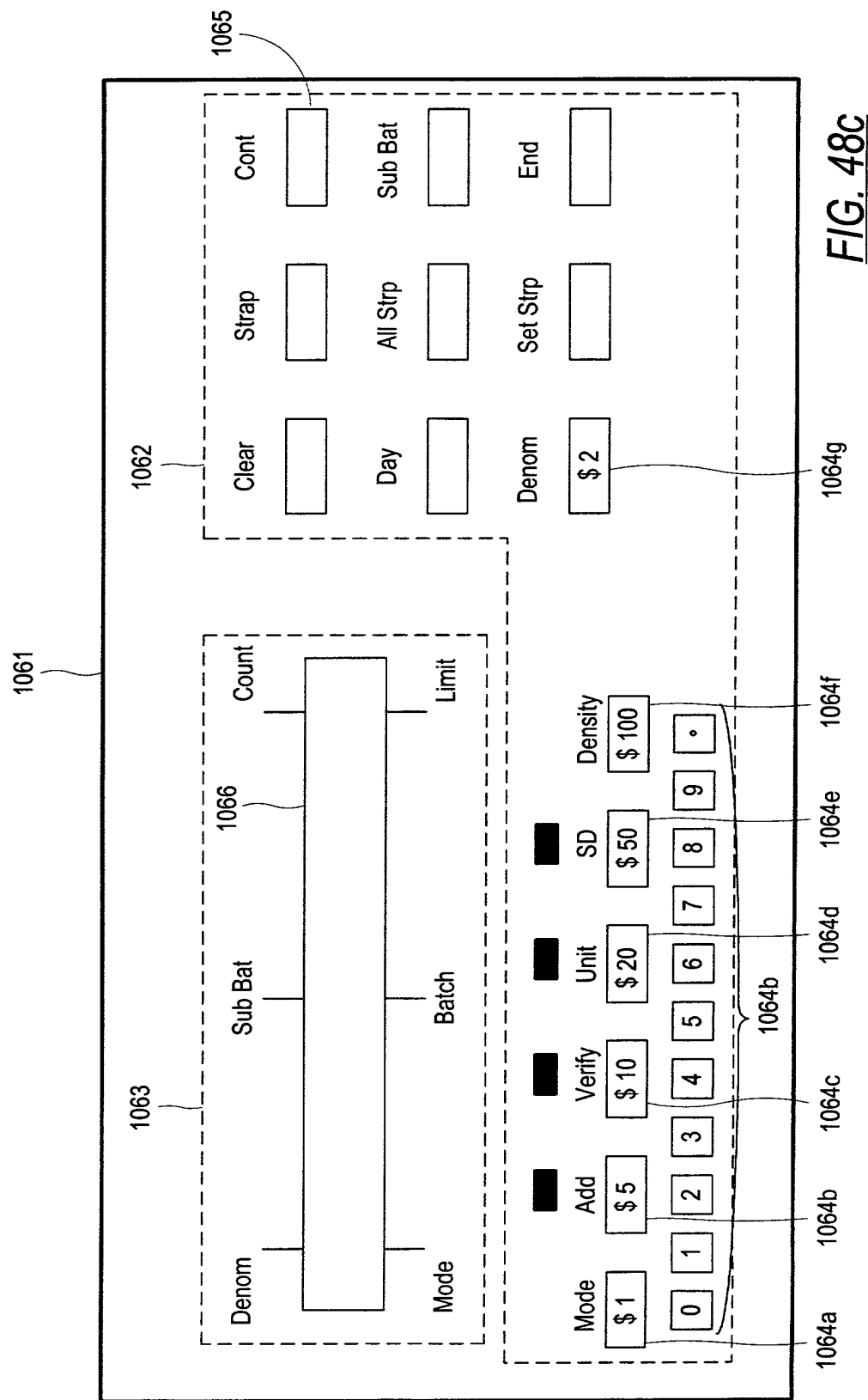
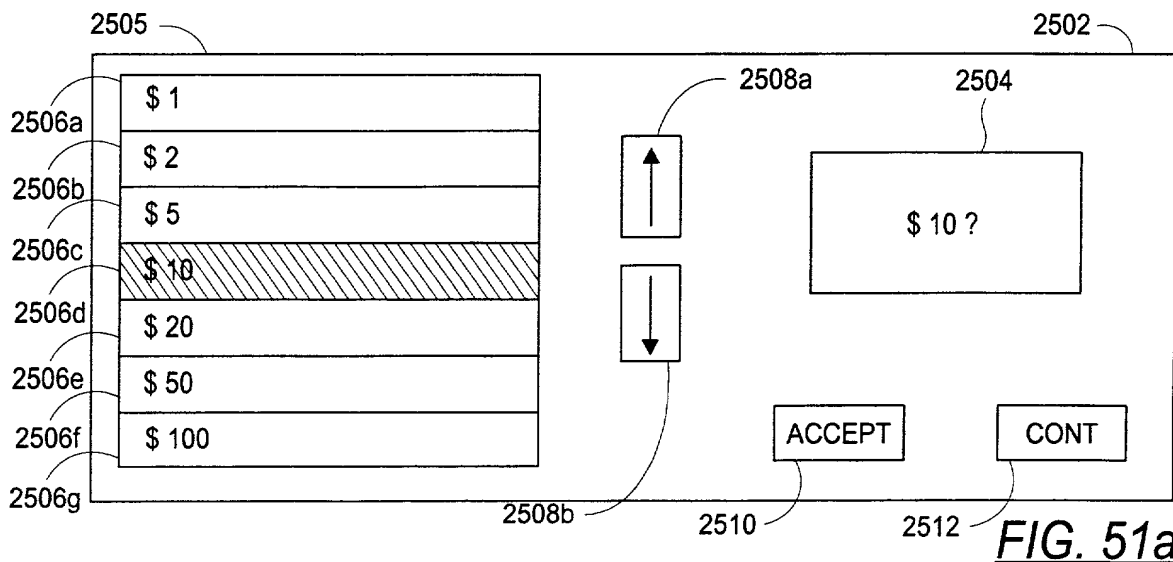
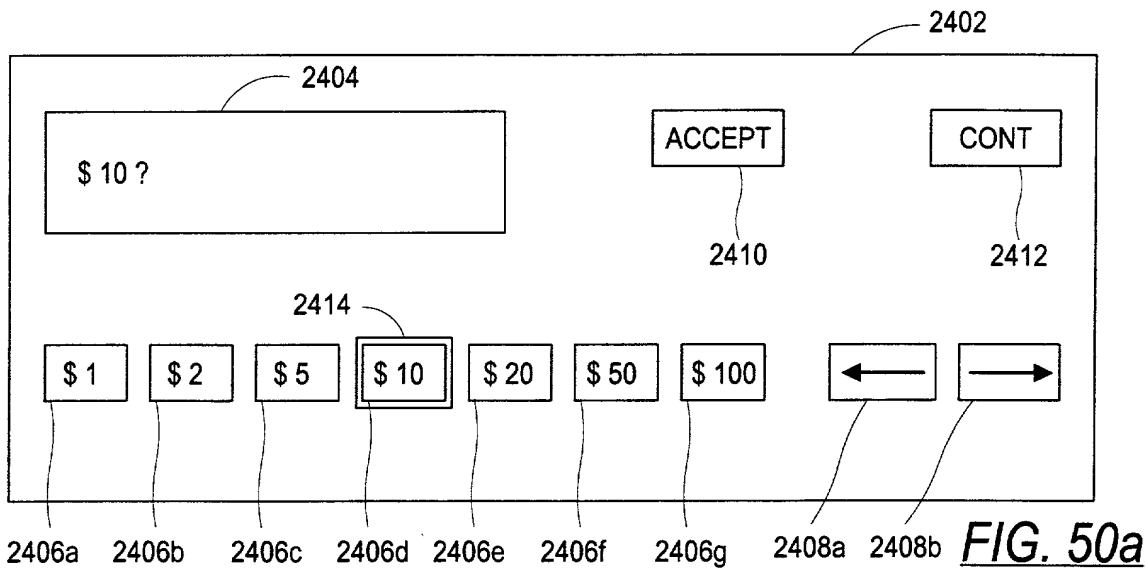
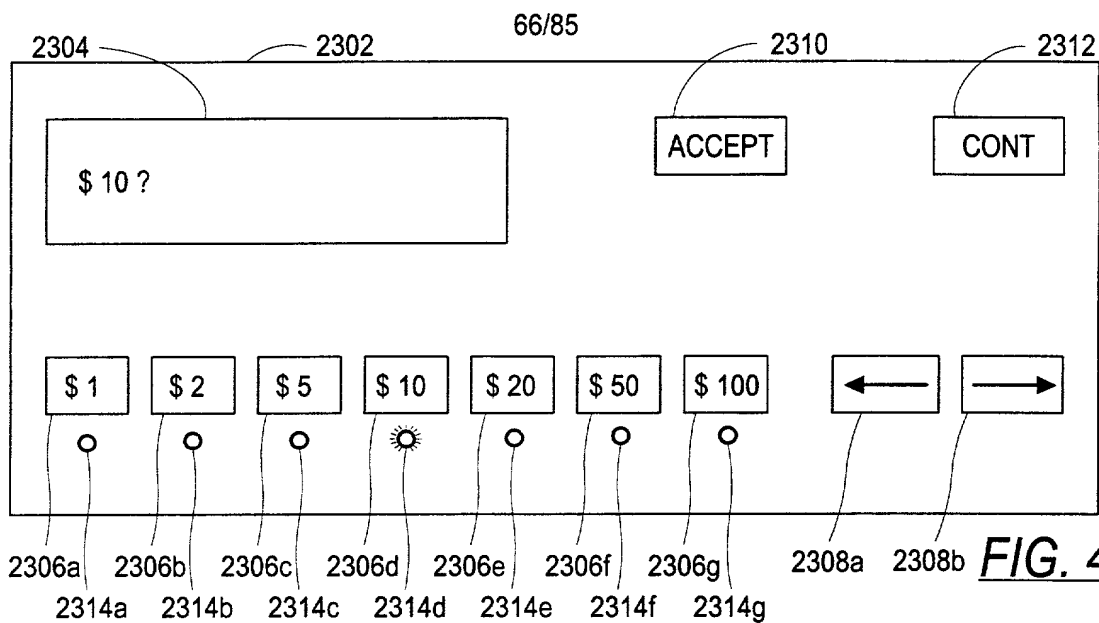
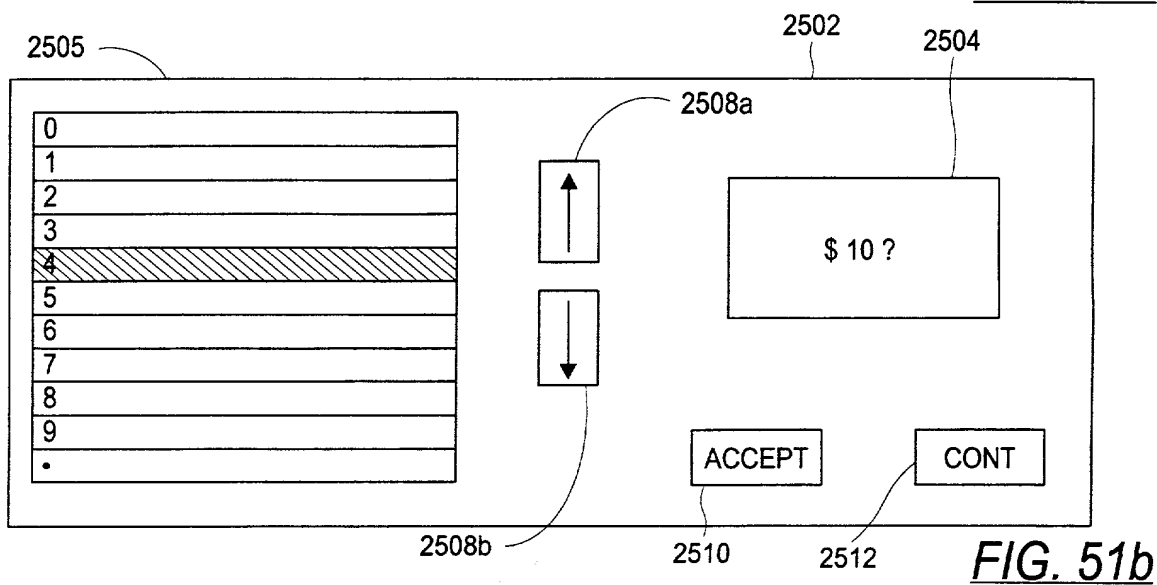
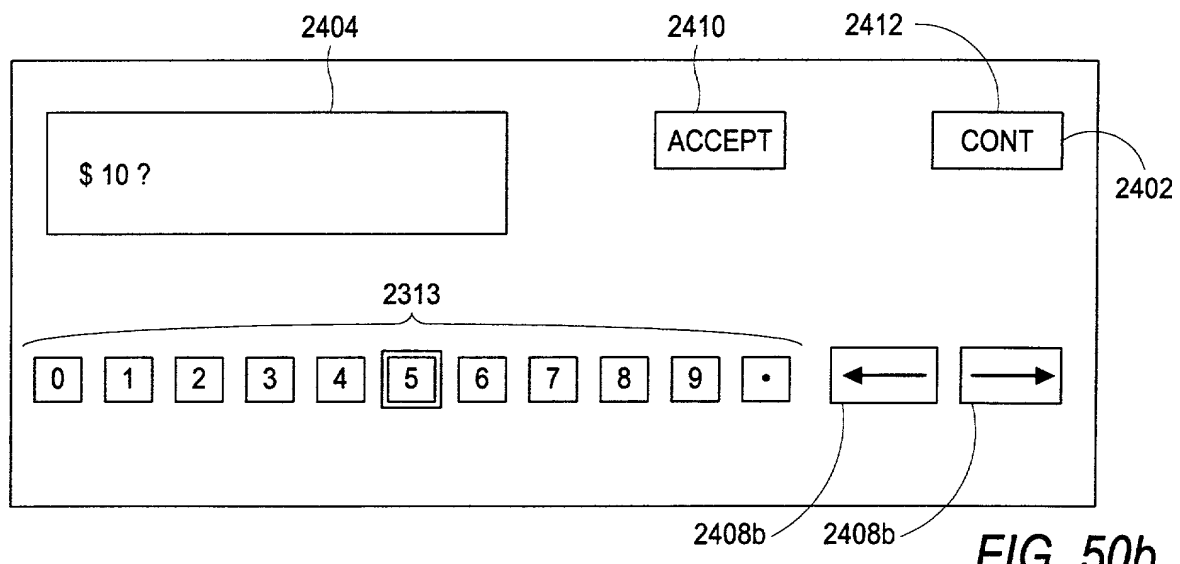
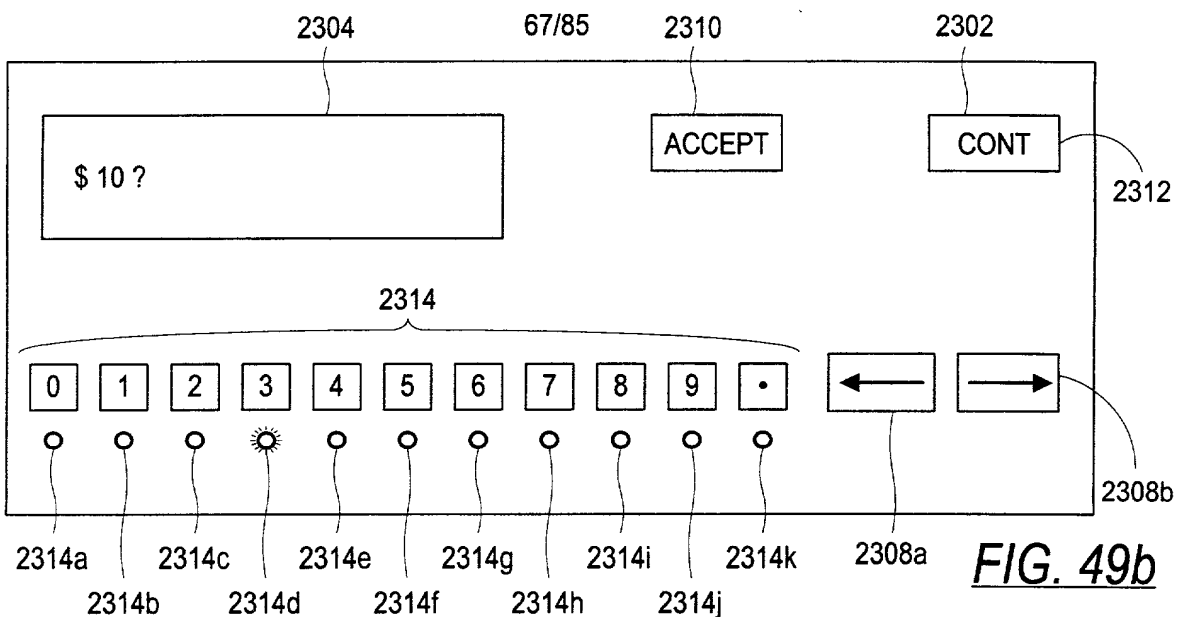


FIG. 48c





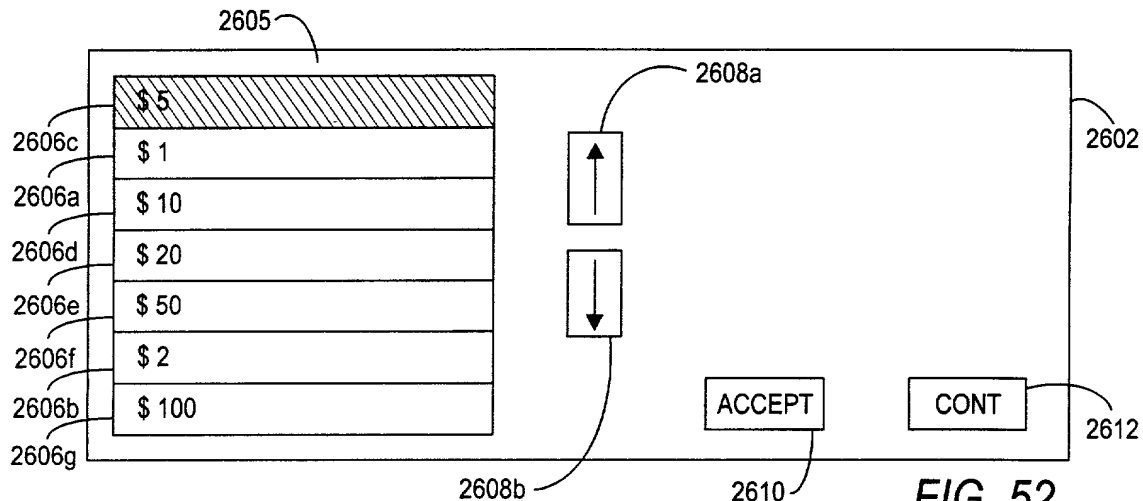


FIG. 52

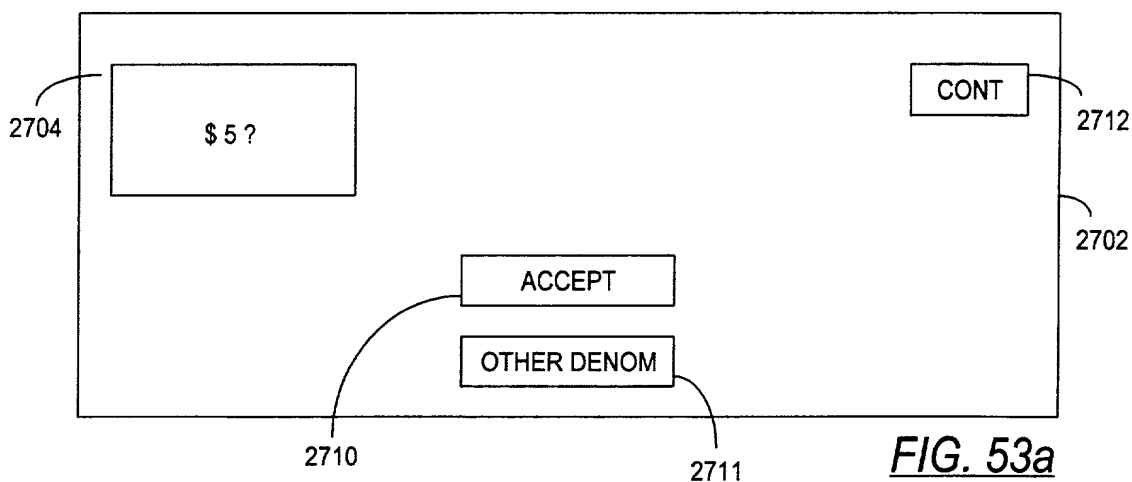


FIG. 53a

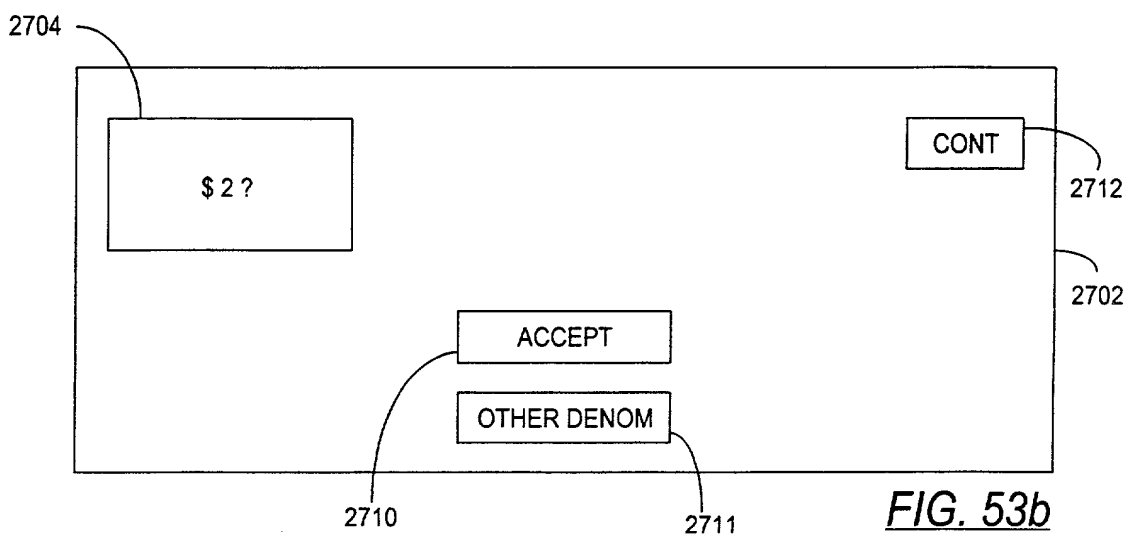


FIG. 53b

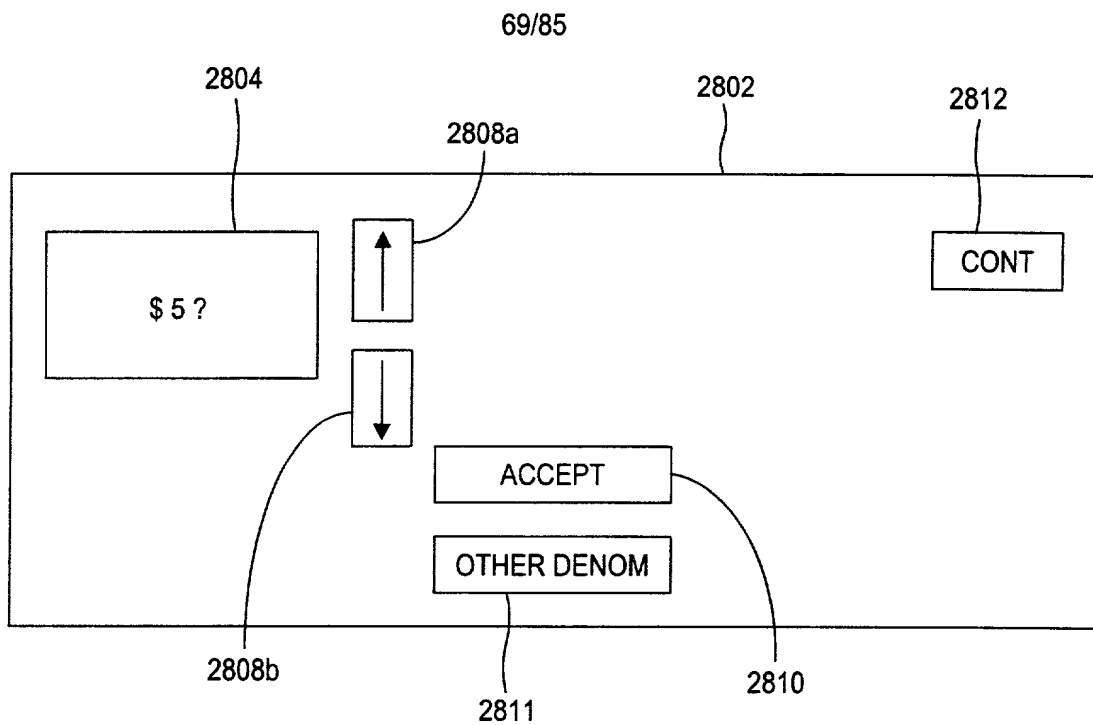


FIG. 54

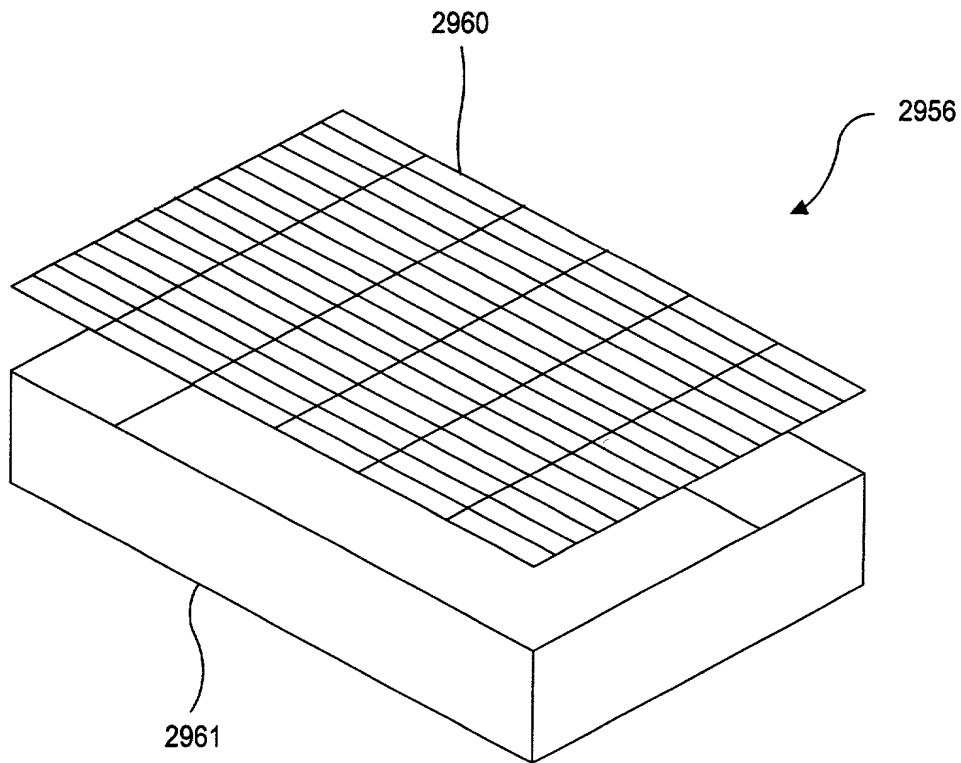


FIG. 55

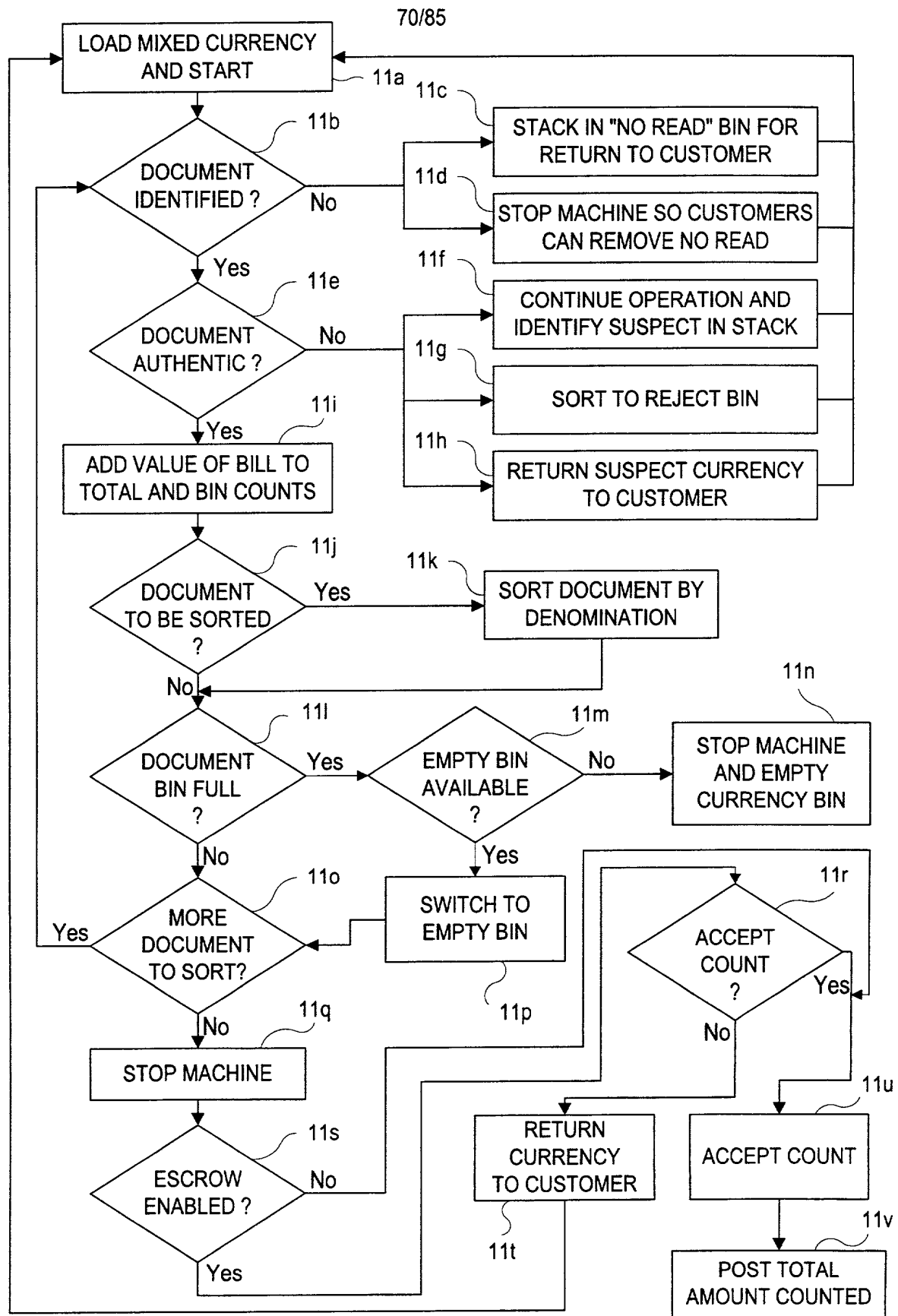


FIG. 56a

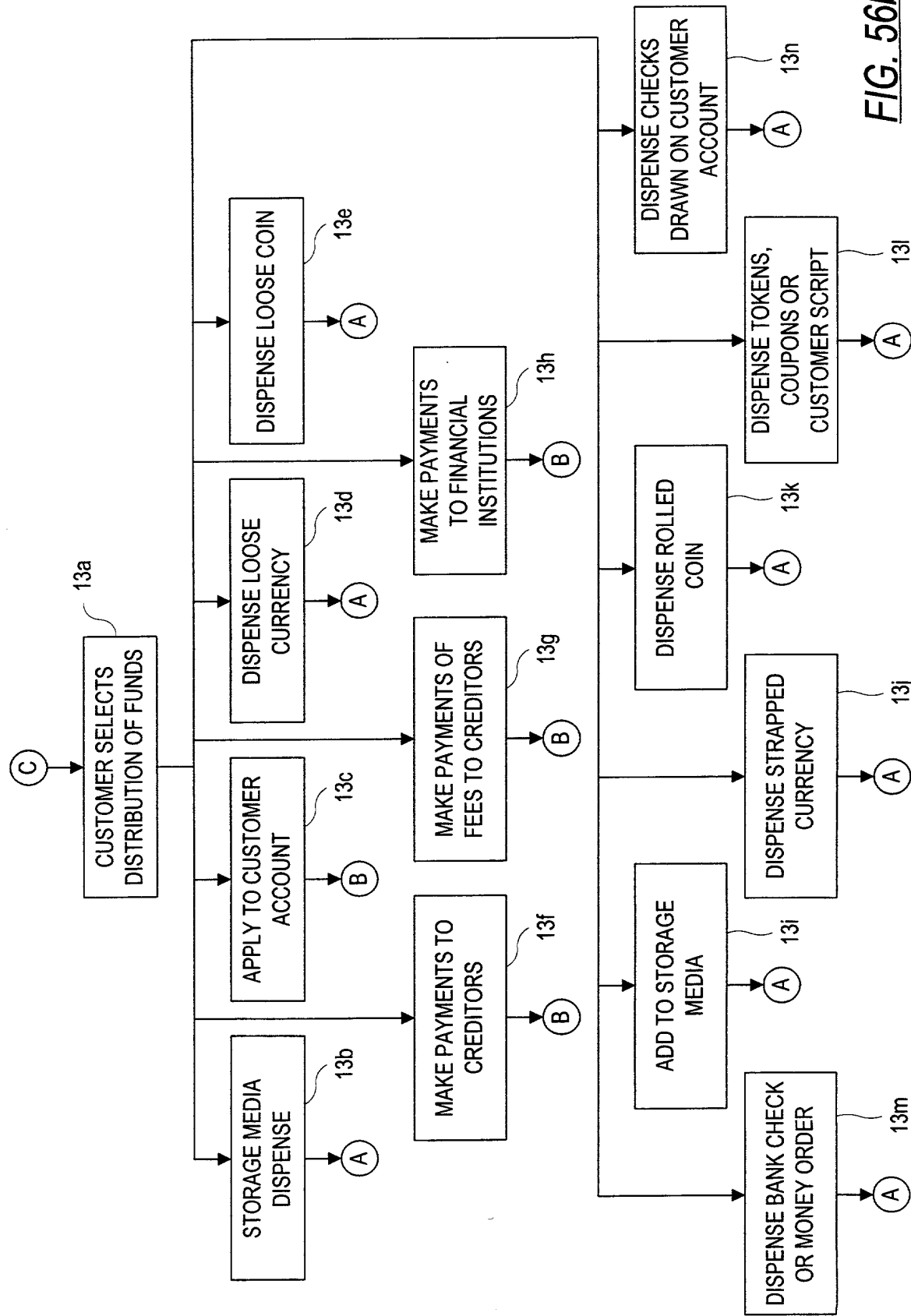


FIG. 56b

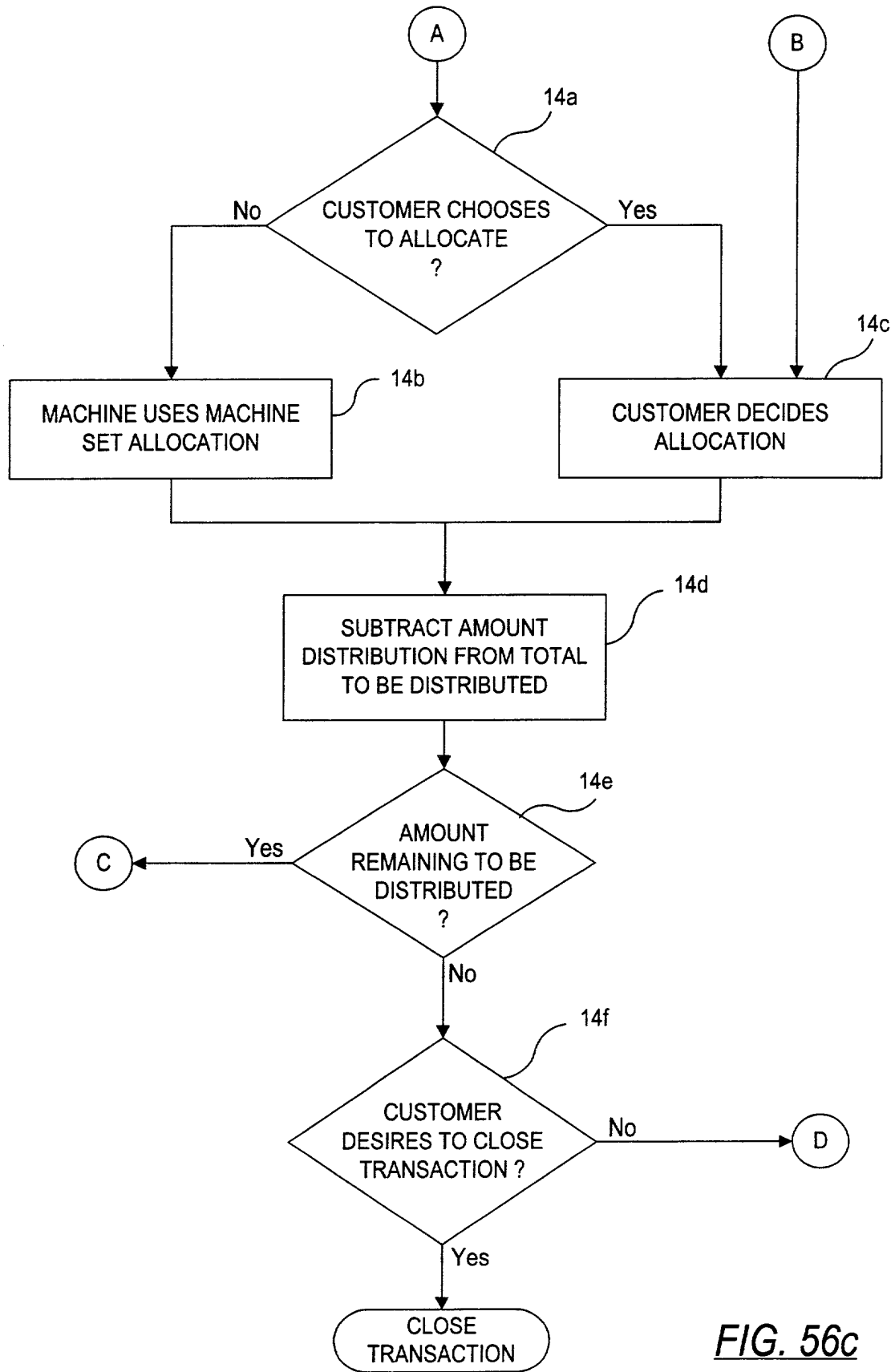


FIG. 56c

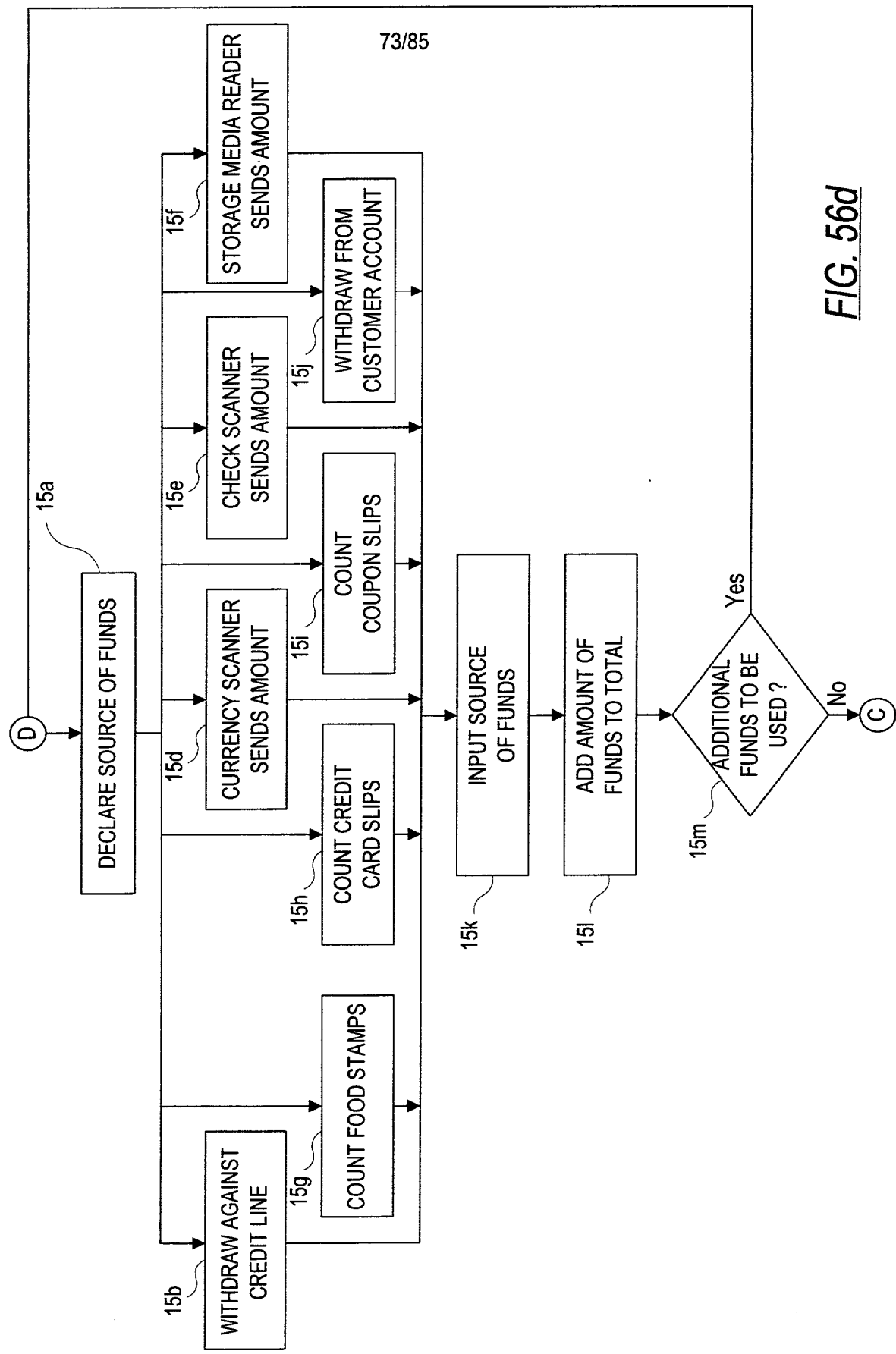


FIG. 56d

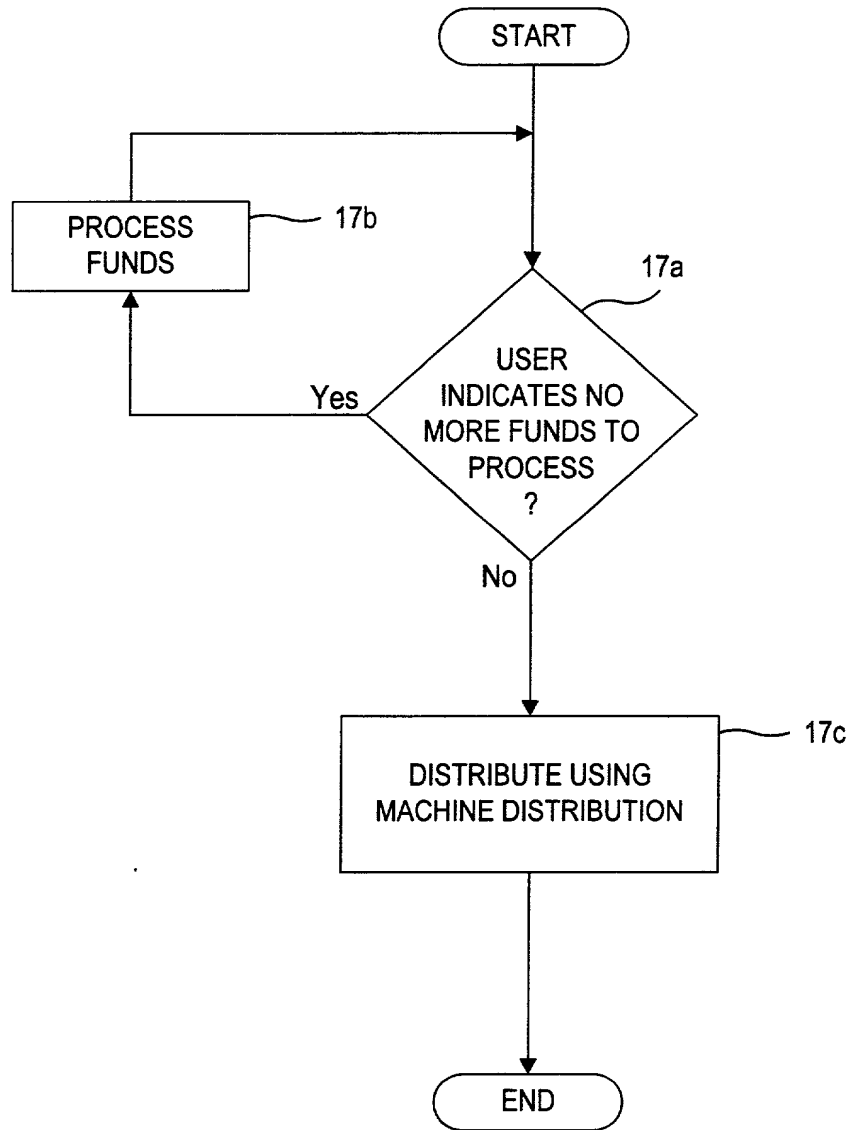


FIG. 56e

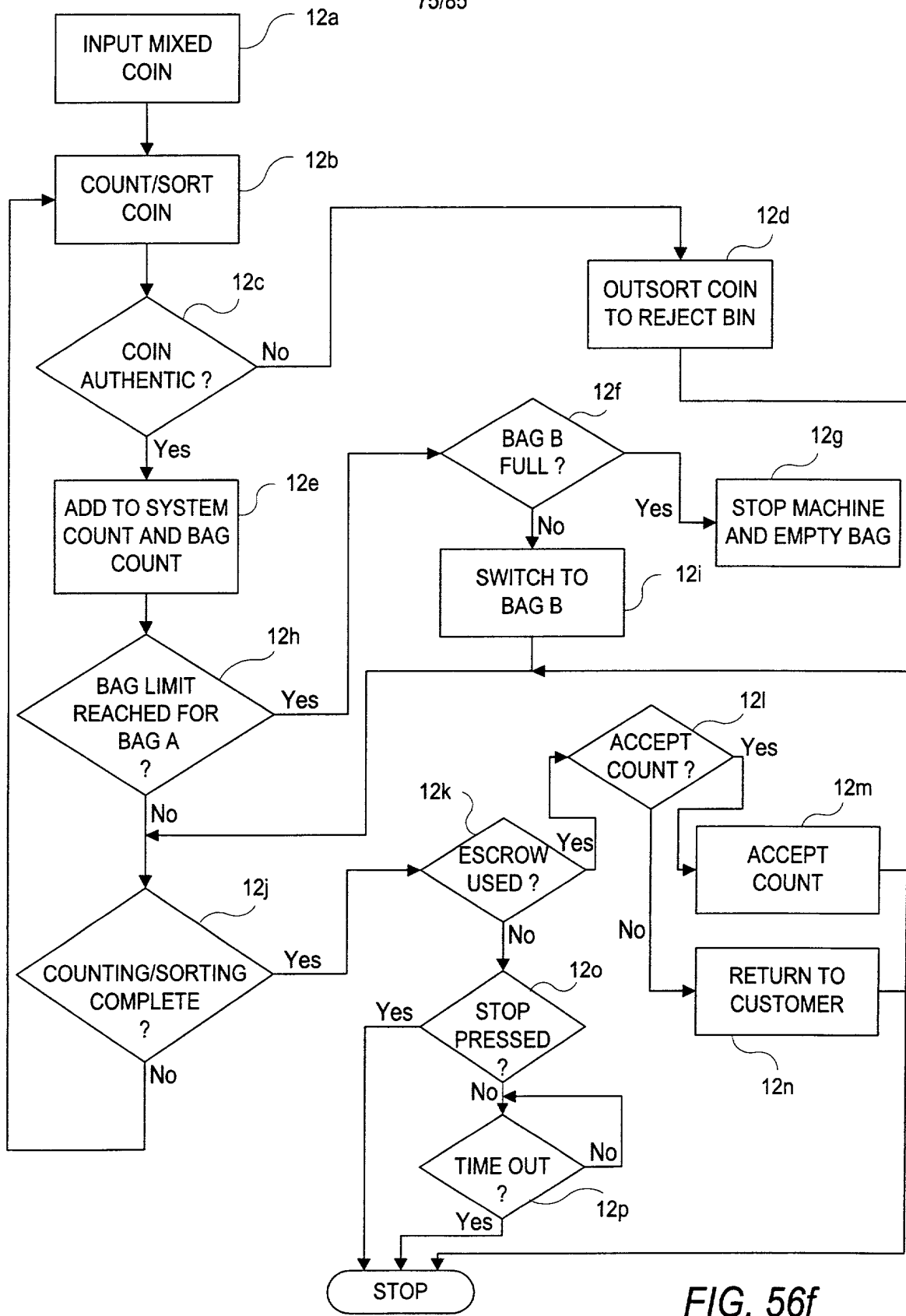


FIG. 56f

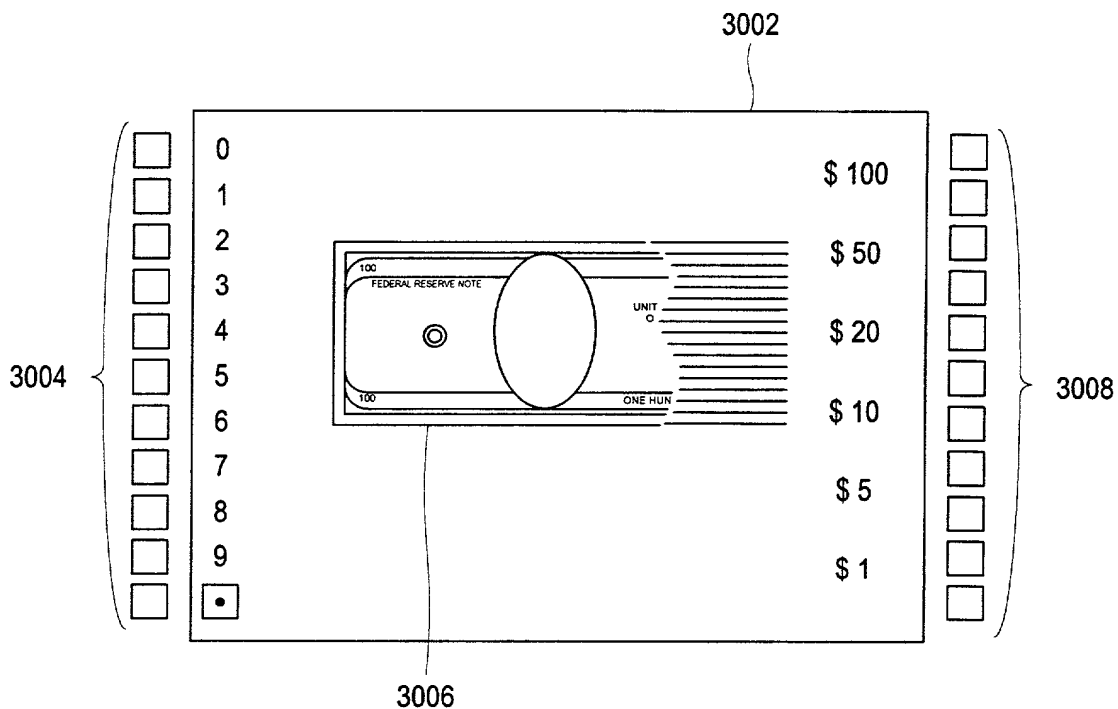


FIG. 57a

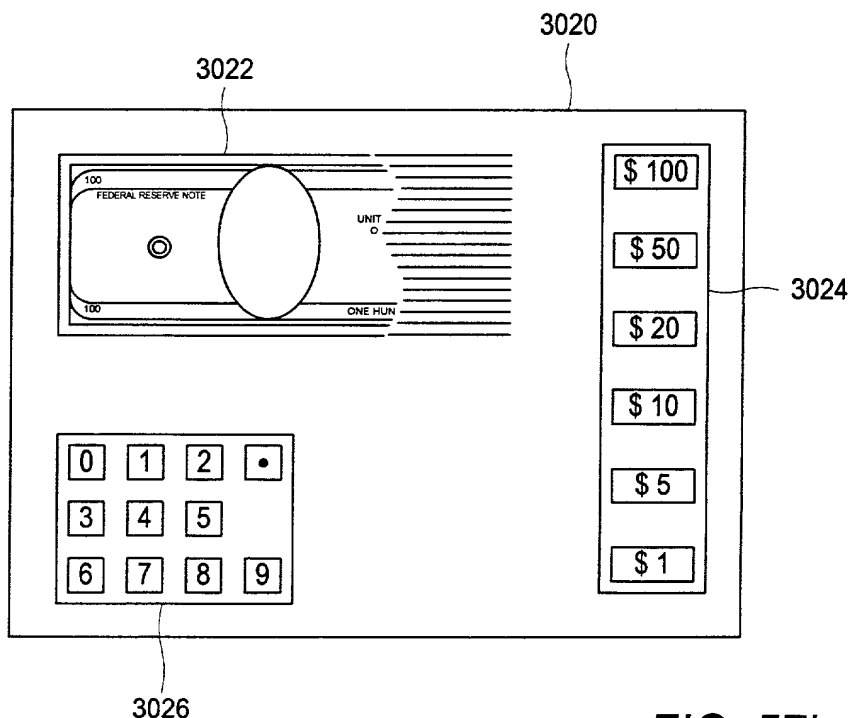


FIG. 57b

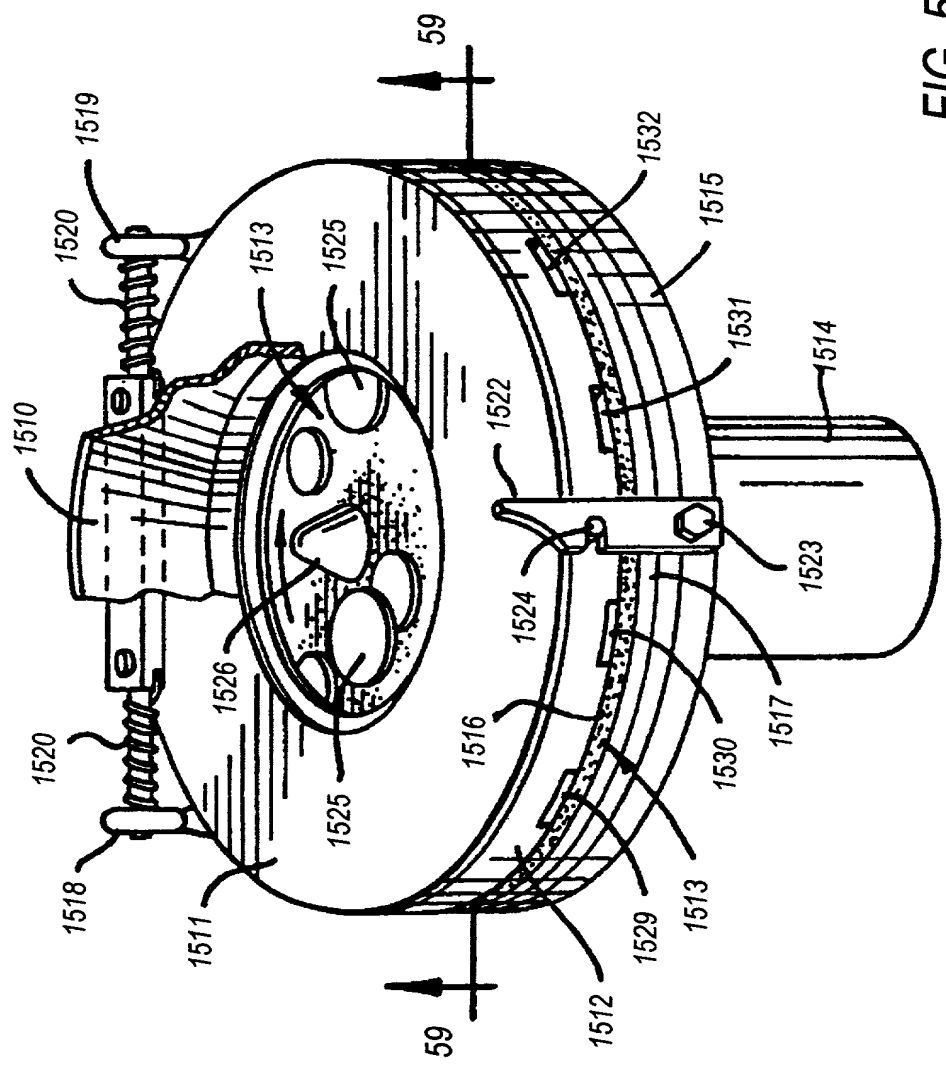


FIG. 58

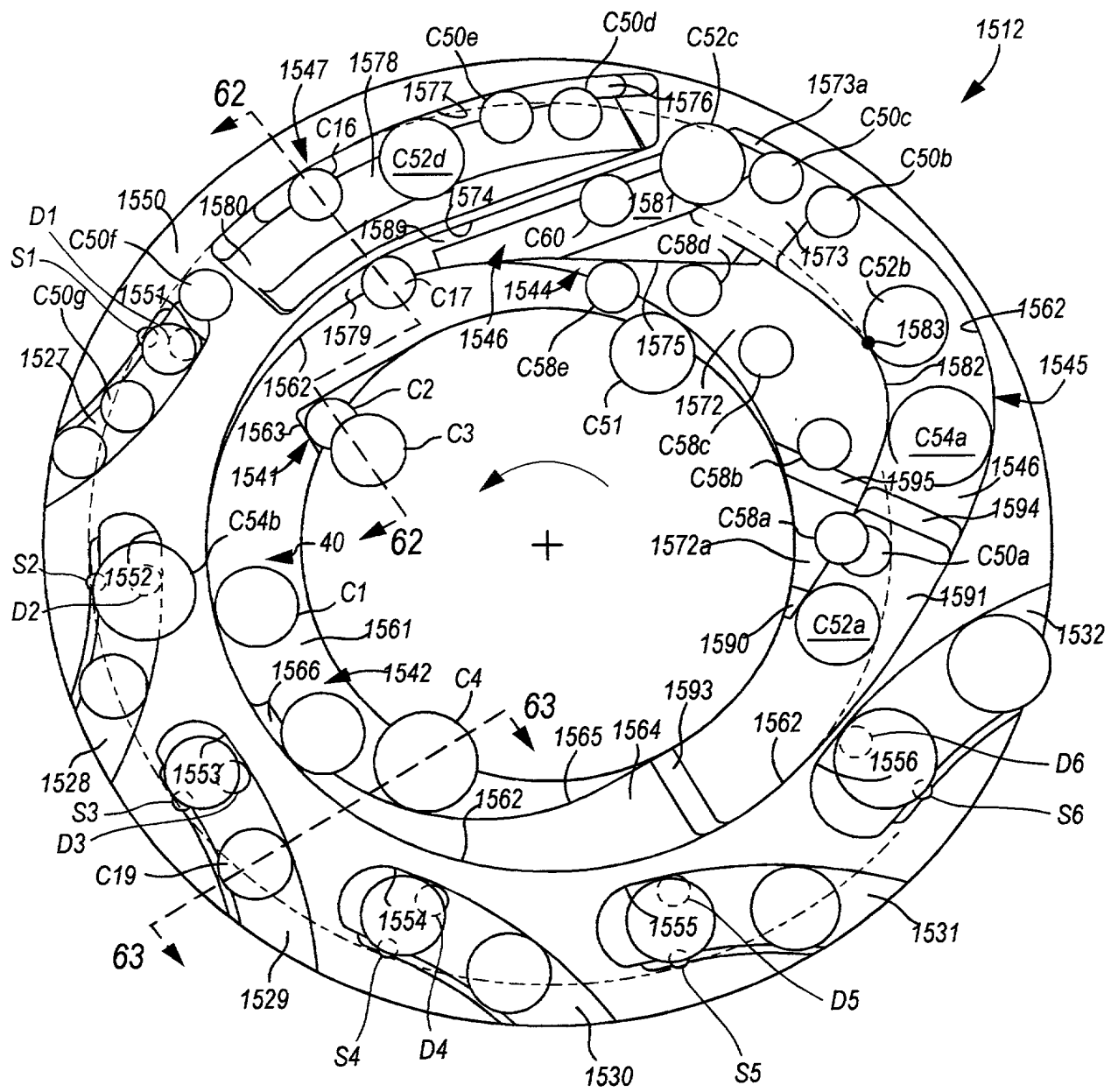


FIG. 59

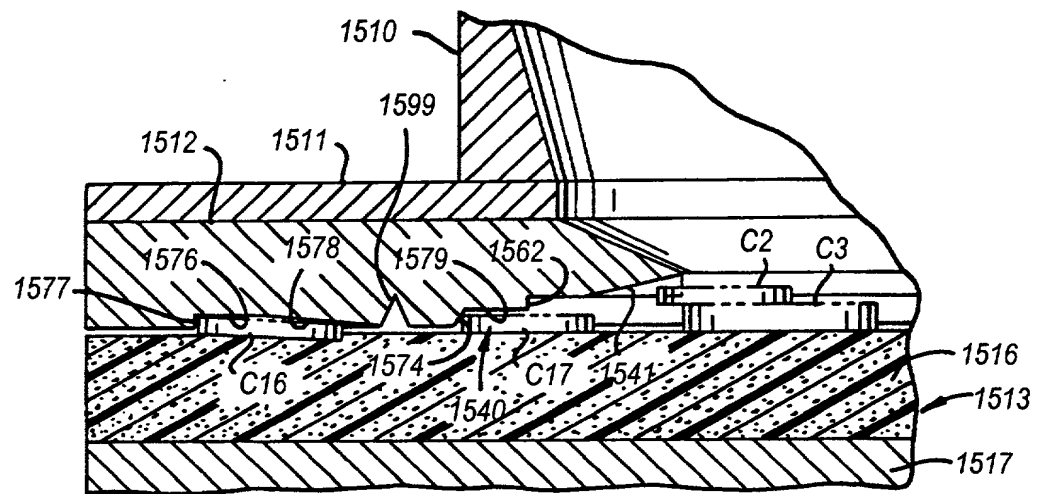


FIG. 60

10034356 022702

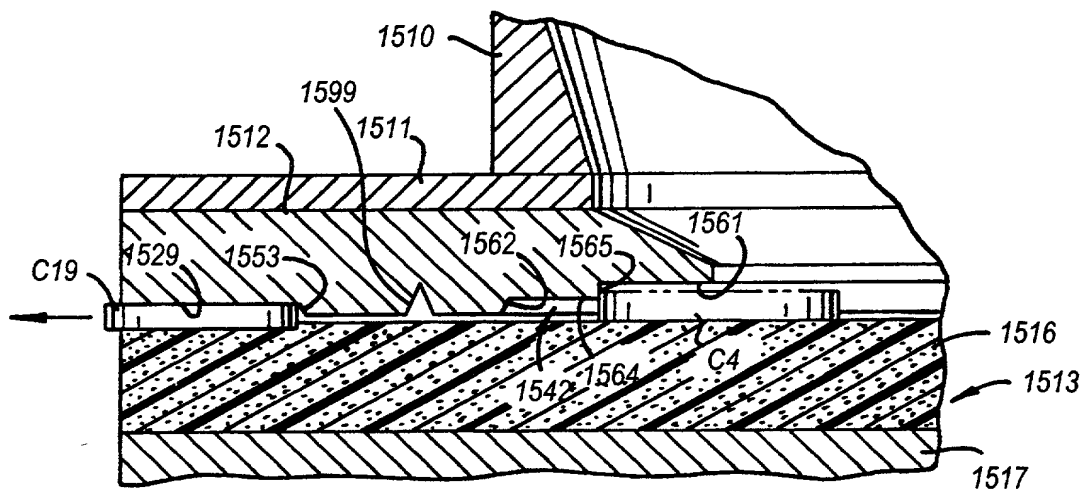
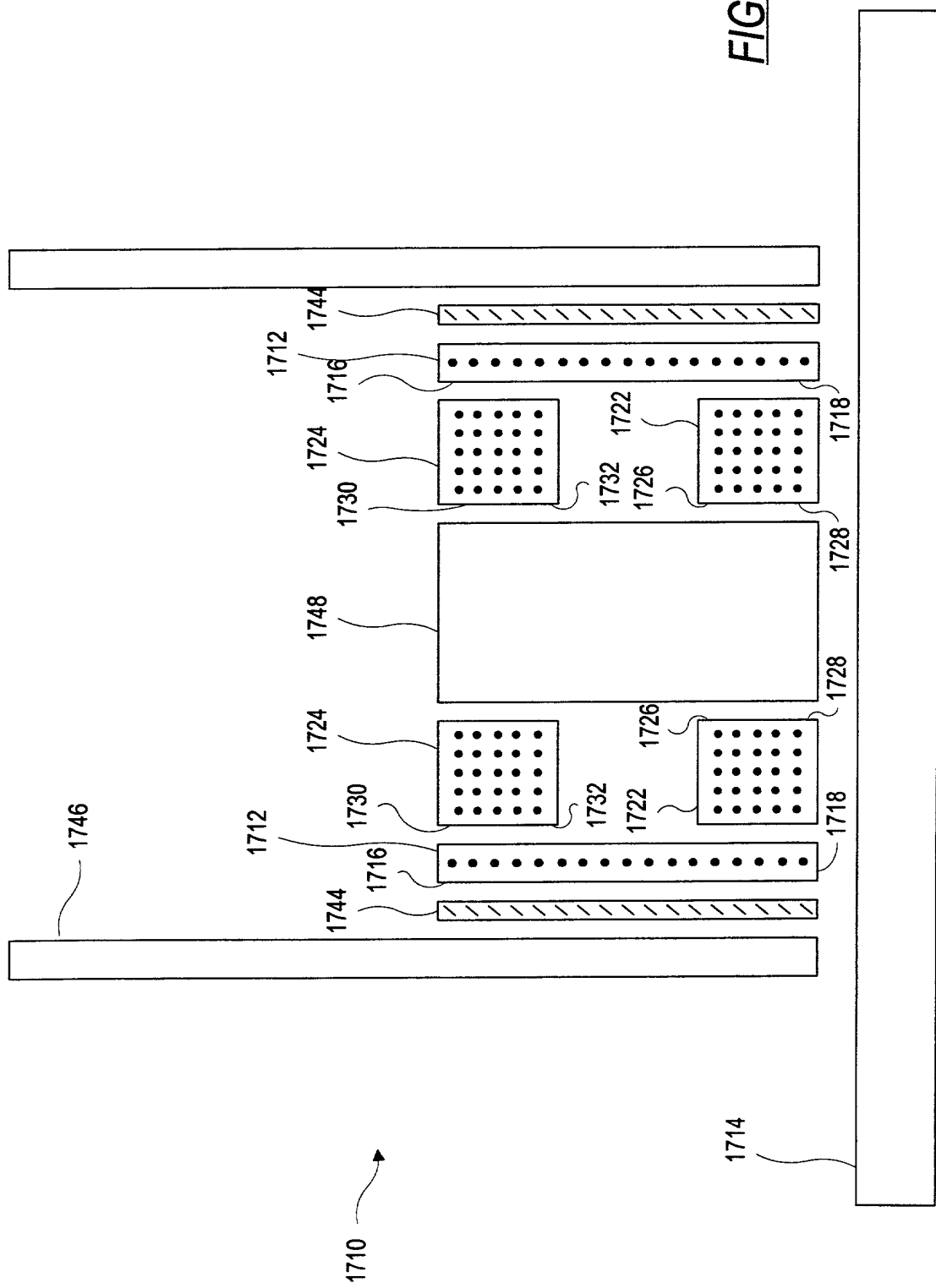


FIG. 61

FIG. 62



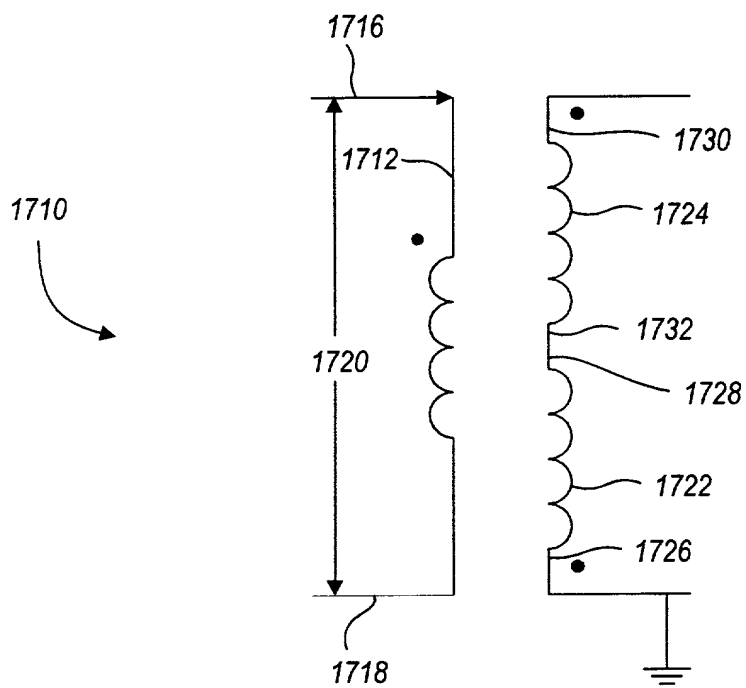


FIG. 63

4,006,435 - COILED COIL

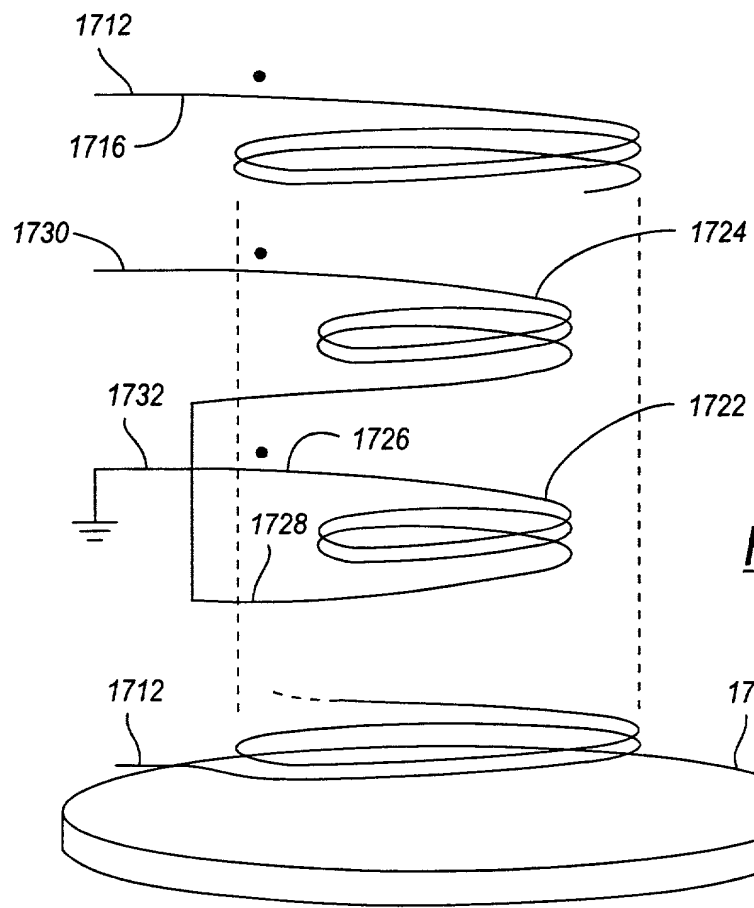


FIG. 64

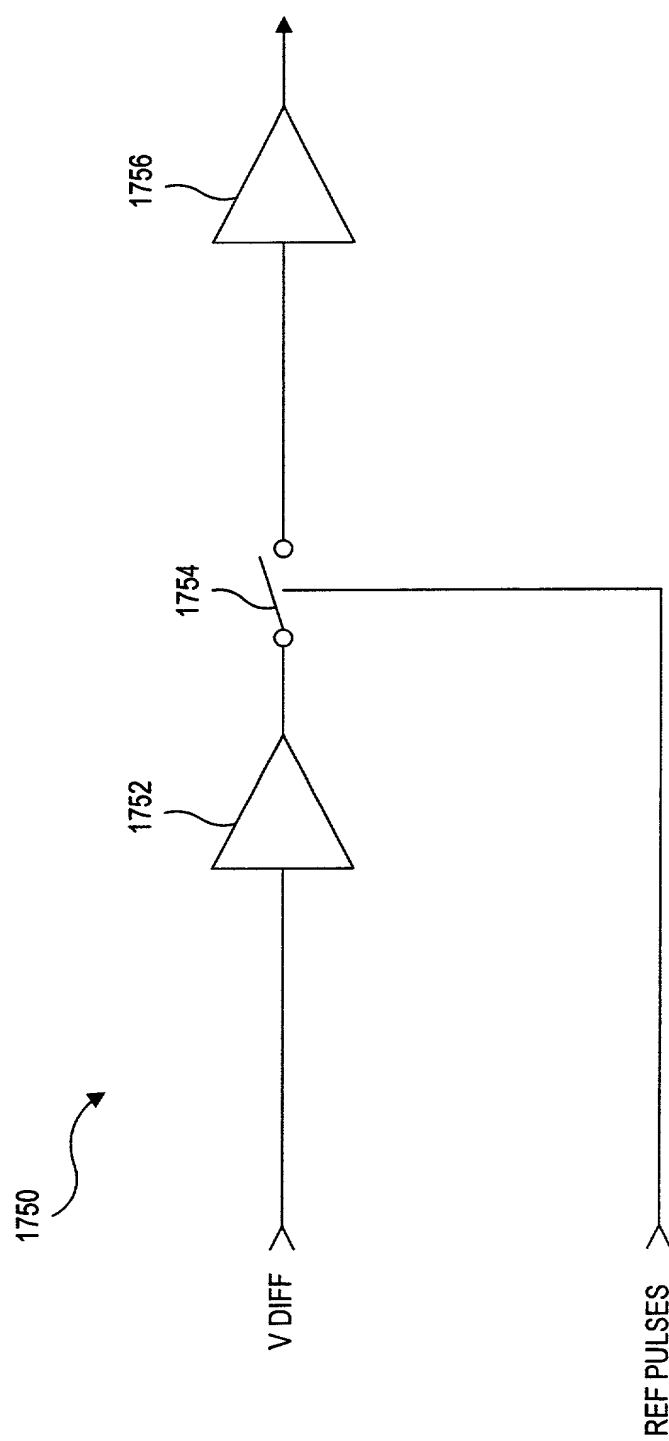


FIG. 65a

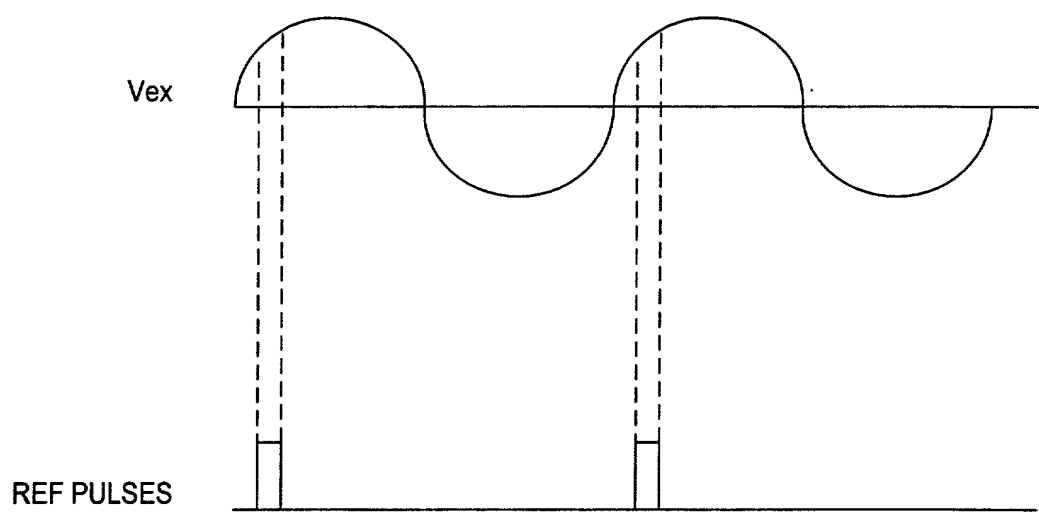


FIG. 65b

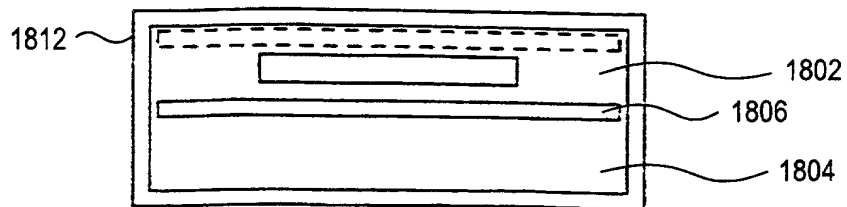
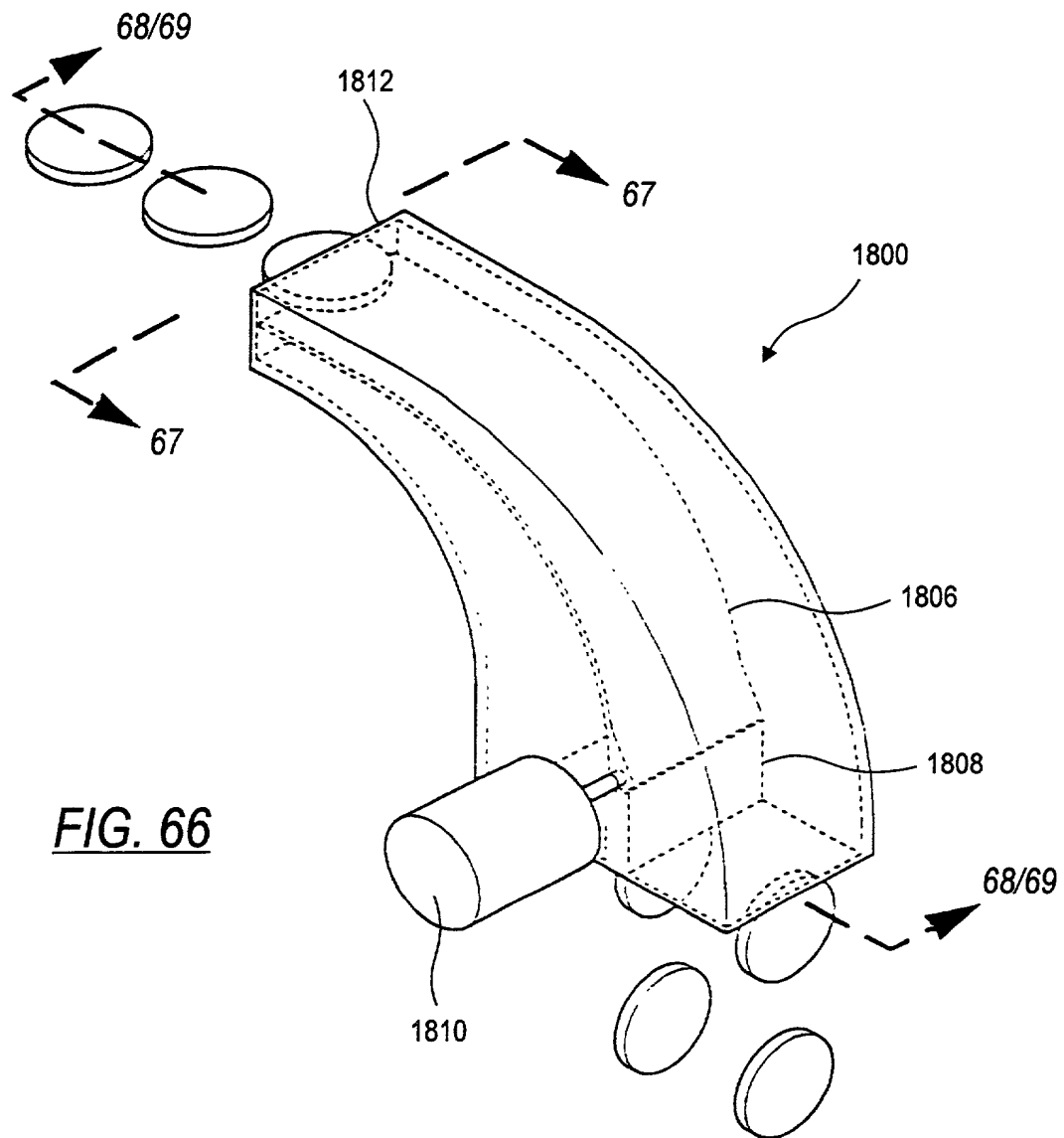


FIG. 67

